

Zeitschrift: Insecta Helvetica. Fauna
Herausgeber: Schweizerische Entomologische Gesellschaft
Band: 6a (1978)

Artikel: Hymenoptera Formicidae [Ergänzungen zu Band 6]
Autor: Kutter, H.
DOI: <https://doi.org/10.5169/seals-1006751>

Nutzungsbedingungen

Die ETH-Bibliothek ist die Anbieterin der digitalisierten Zeitschriften auf E-Periodica. Sie besitzt keine Urheberrechte an den Zeitschriften und ist nicht verantwortlich für deren Inhalte. Die Rechte liegen in der Regel bei den Herausgebern beziehungsweise den externen Rechteinhabern. Das Veröffentlichen von Bildern in Print- und Online-Publikationen sowie auf Social Media-Kanälen oder Webseiten ist nur mit vorheriger Genehmigung der Rechteinhaber erlaubt. [Mehr erfahren](#)

Conditions d'utilisation

L'ETH Library est le fournisseur des revues numérisées. Elle ne détient aucun droit d'auteur sur les revues et n'est pas responsable de leur contenu. En règle générale, les droits sont détenus par les éditeurs ou les détenteurs de droits externes. La reproduction d'images dans des publications imprimées ou en ligne ainsi que sur des canaux de médias sociaux ou des sites web n'est autorisée qu'avec l'accord préalable des détenteurs des droits. [En savoir plus](#)

Terms of use

The ETH Library is the provider of the digitised journals. It does not own any copyrights to the journals and is not responsible for their content. The rights usually lie with the publishers or the external rights holders. Publishing images in print and online publications, as well as on social media channels or websites, is only permitted with the prior consent of the rights holders. [Find out more](#)

Download PDF: 23.08.2025

ETH-Bibliothek Zürich, E-Periodica, <https://www.e-periodica.ch>

SEG 11407: 6/A ex. A

INSECTA HELVETICA

Fauna

Herausgegeben von der Schweizerischen Entomologischen Gesellschaft

Ergänzungsband

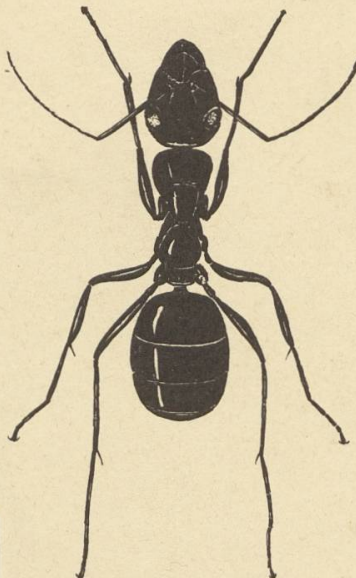
6a

HYMENOPTERA

FORMICIDAE

von

H. KUTTER



ETHICS ETH-BIB



00100003572413

1978

Selbstverlag des Verfassers
Druck: Fotorotar AG, Zürich

INSECTA HELVETICA

Fauna

Herausgegeben von der **Schweizerischen Entomologischen Gesellschaft**

Ergänzungsband

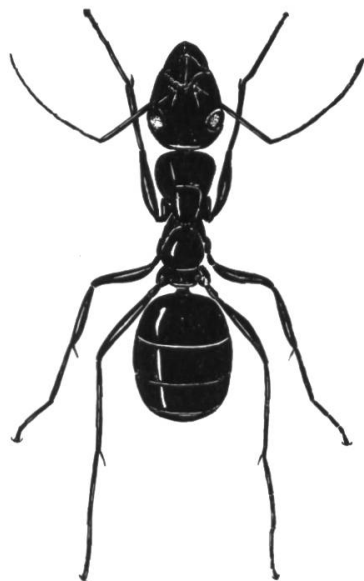
6a

HYMENOPTERA

FORMICIDAE

von

H. KUTTER



1978

Selbstverlag des Verfassers
Druck: Fotorotar AG, Zürich

Meinen Freunden und Fachkollegen gewidmet

Auflage 200 Ex.

Vorwort

Während der Ausarbeitung von Band 6 der INSECTA HELVETICA, herausgegeben von der **Schweizerischen Entomologischen Gesellschaft** (1977) über die Ameisen der Schweiz, gelangten etwa 500 Abbildungen nicht mehr zur Publikation. Der Verfasser ist beschwört worden, dieselben nicht mit den bereits veröffentlichten Zeichnungen zu vernichten.

Schliesslich habe ich mich dazu entschlossen, sie in Form eines Nachtrages zu Band 6 in eigener Regie herauszugeben in der Hoffnung, damit Freunden und Fachkollegen sowie weiteren Interessenten eine kleine Freude bereiten zu können. Mögen sie alle Verständnis dafür aufbringen, dass ich in meinem hohen Alter keine Zeichnungen mehr herzustellen vermag, welche höheren respektive künstlerischen Anforderungen genügen.

8132 Egg, 1978

H. Kutter

FIGURENVERZEICHNIS

| | | |
|---------|---------------------------------|--|
| Fig. 1 | <i>Ponera coarctata</i> | ♂ |
| Fig. 2 | <i>Ponera coarctata</i> | ♀ |
| Fig. 3 | <i>Ponera coarctata</i> | ♀ |
| Fig. 4 | <i>Ponera coarctata</i> | ♀ Kopf von vorn |
| Fig. 5 | <i>Ponera coarctata</i> | ♀ 2. Gastertergit (= 4. Abdominalsegment) mit Reibfläche des Stridulationsapparates. In Natur vom Hinterrand des 1. Tergiten überdeckt |
| Fig. 6 | <i>Ponera coarctata</i> | ♀ Reibfläche des Stridulationsapparates in der Mitte des Vorderrandes des 2. Tergiten |
| Fig. 7 | <i>Ponera coarctata</i> | ♀ Stielchen von der Seite |
| Fig. 8 | <i>Ponera coarctata</i> | ♂ Fühler |
| Fig. 9 | <i>Ponera coarctata</i> | ♀ Fühler |
| Fig. 10 | <i>Ponera coarctata</i> | ♂ Kopf von vorn |
| Fig. 11 | <i>Hypoponera eduardi</i> | ♂ Kopf von vorn |
| Fig. 12 | <i>Ponera coarctata</i> | ♂ Vorderflügel |
| Fig. 13 | <i>Hypoponera eduardi</i> | ♂ Vorderflügel |
| Fig. 14 | <i>Cryptopone ochraceum</i> | ♀ Tibie III mit 2 Sporen |
| Fig. 15 | <i>Hypoponera eduardi</i> | ♀ Kopf von vorn |
| Fig. 16 | <i>Hypoponera punctatissima</i> | ♀ Flügel |
| Fig. 17 | <i>Hypoponera punctatissima</i> | ♀ Stielchen von der Seite |
| Fig. 18 | <i>Manica rubida</i> | ♂ |
| Fig. 19 | <i>Manica rubida</i> | ♂ |
| Fig. 20 | <i>Manica rubida</i> | ♂ Flügel |
| Fig. 21 | <i>Manica rubida</i> | ♂ Mandibel |
| Fig. 22 | Profile der ♀♀ von | |
| | a) <i>Myrmica laevinodis</i> | ♀ |
| | b) <i>Myrmica ruginodis</i> | ♀ |
| | c) <i>Myrmica jacobsoni</i> | ♀ |
| | d) <i>Myrmica rugulosa</i> | ♀ |
| | e) <i>Myrmica sulcinodis</i> | ♀ |
| Fig. 23 | Epinotaldornen Aufsicht von | |
| | a) <i>Myrmica rugulosa</i> | ♀ |
| | b) <i>Myrmica laevinodis</i> | ♀ |
| | c) <i>Myrmica ruginodis</i> | ♀ |
| | d) <i>Myrmica scabrinodis</i> | ♀ |
| | e) <i>Myrmica lobicornis</i> | ♀ |
| | f) <i>Myrmica schencki</i> | ♀ |

- | | |
|---|-----------------------|
| g) <i>Myrmica bibikoffi</i> | ♀ |
| h) <i>Myrmica bibikoffi</i> | ♀ |
| Fig. 24 Sporne der Hinterbeine von | |
| a) <i>Myrmica laevinodis</i> | ♀ |
| b) <i>Myrmica sulcinodis</i> | ♀ |
| c) <i>Myrmica sabuleti</i> | ♀ |
| d) <i>Myrmica vandeli</i> | ♀ |
| e) <i>Myrmica laevinodis</i> | ♀ |
| f) <i>Myrmica scabrinodis</i> | ♀ |
| g) <i>Myrmica laevinodis</i> | ♂ |
| h) <i>Myrmica scabrinodis</i> | ♂ |
| Fig. 25 Stielchenglieder in Aufsicht der ♂♂ von | |
| a) <i>Myrmica sabuleti</i> | |
| b) <i>Myrmica slovaca</i> | |
| c) <i>Myrmica scabrinodis (pilosiscapus det. FINZI)</i> | |
| Fig. 26 Fühlerschaft der ♀♀ von | |
| a) <i>Myrmica laevinodis</i> | Disentis |
| b) <i>Myrmica ruginodis</i> | Alpe Cardada |
| c) <i>Myrmica rugulosa</i> | Pradella Schuls |
| d) <i>Myrmica sulcinodis</i> | Zermatt |
| e) <i>Myrmica jacobsoni</i> | Holotypus |
| f) <i>Myrmica rolandi</i> | Balearen |
| g) <i>Myrmica rugulosoides</i> | Illnau |
| h) <i>Myrmica scabrinodis</i> | Valbella Lenzerheide |
| i) <i>Myrmica slovaca</i> | Ukraine |
| k) <i>Myrmica specioides</i> | San Nazzaro |
| l) <i>Myrmica sabuleti</i> | |
| m) <i>Myrmica vandeli</i> | Creux-du-Van |
| Fig. 27 Fühlerschaft der ♀♀ von | |
| a) <i>Myrmica schencki</i> | Saas-Fee |
| b) <i>Myrmica lobicornis 1</i> | Saas-Fee |
| c) <i>Myrmica lobicornis 2</i> | Samnaun |
| d) <i>Myrmica lobicornis 3</i> | Stazerwald St. Moritz |
| e) <i>Myrmica scabrinodis (pilosiscapus det. FINZI)</i> | Arosa |
| f) <i>Myrmica bibikoffi</i> | Typus |
| g) <i>Myrmica (striata det. FINZI)</i> | Corteglia |
| h) <i>Myrmica lonae STAERCKE</i> | Den Dolder |
| Fig. 28 Fühlerschaft von ♀♀ von | |
| a) <i>Myrmica rugulosoides</i> | |
| b) <i>Myrmica specioides</i> | |
| c) <i>Myrmica scabrinodis</i> | |
| d) <i>Myrmica scabrinodis (pilosiscapus det. FINZI)</i> | |
| e) <i>Myrmica vandeli</i> | |
| d) <i>Myrmica sabuleti</i> | |

- Fig. 29 Fühlerschaft von ♀♀ von
- a) *Myrmica laevinodis* Disentis
 - b) *Myrmica ruginodis* Alpe Cardada Locarno
 - c) *Myrmica jacobsoni* Holotypus
 - d) *Myrmica rugulosa* Pradella b. Schuls
 - e) *Myrmica sulcinodis* Zermatt
 - f) *Myrmica scabrinodis* Valbella Lenzerheide
 - g) *Myrmica sabuleti* Pfynwald Wallis
 - h) *Myrmica lobicornis* Saas-Fee
- Fig. 30 Fühlerschaft von vorn, oben und hinten von
- a) *Myrmica sabuleti* Schuls
 - b) *Myrmica scabrinodis* Süs Unterengadin
 - c) *Myrmica rugulosoides* Roche
 - d) *Myrmica specioides* San Nazzaro
 - e) *Myrmica pradella rugulosa* Pradella Schuls
 - f) *Myrmica sulcinodis*
- Fig. 31 Fühlerschaft von ♀♀ von vorn, oben und hinten von
- a) *Myrmica schencki*
 - b) *Myrmica lobicornis*
 - c) *Myrmica lobicornis*
 - d) *Myrmica lobicornis*
- Fig. 32 Fühlerschaft von ♂♂ von
- a) *Myrmica specioides* San Nazzaro
 - b) *Myrmica rugulosa* Brissago
 - c) *Myrmica rugulosoides* Roche
 - d) *Myrmica schencki* Männedorf
 - e) *Myrmica scabrinodis* Männedorf
 - f) *Myrmica slovaca* Ukraine
 - g) *Myrmica jacobsoni* (mit starker Stirnrinne)
 - h) *Myrmica sabuleti* Männedorf (ohne Stirnrinne)
- Fig. 33 Fühlerschaft und erste Geisselglieder von ♂♂ von
- a) *Myrmica lobicornis*
 - b) *Myrmica bibikoffi*
 - c) *Myrmica sabuleti*
 - d) *Myrmica schencki*
- Fig. 34 Kopf von *Myrmica lonae* ♀
- Fig. 35 Fühlerschaft von *Myrmica lonae* AL AQUA ♀ Nufenen
- Fig. 36 *Myrmica rolandi* Balearen ♀
- Fig. 37 *Myrmica rolandi* Balearen ♀ Kopf von vorn
- Fig. 38 *Myrmica rolandi* Balearen ♀ Kopf von oben
- Fig. 39 *Stenamma petiolatum* ♂ San Nazzaro
- Fig. 40 *Aphaenogaster gibbosa* ♀ Peney bei Genf
- Fig. 41 *Cremastogaster sordidula* ♂ Thoraxprofil
- Fig. 42 *Cremastogaster sordidula* ♂ Genitalapparat von der Seite und von oben

- Fig. 43 *Cremastogaster sordidula* ♂ Kopf von vorn
 Fig. 44 *Cremastogaster sordidula* ♂ Fühler
 Fig. 45 *Cremastogaster sordidula* ♀ von der Seite
 Fig. 46 *Cremastogaster sordidula* ♀ Thorax von oben
 Fig. 47 *Monomorium pharaonis* ♀ Kopf von vorn
 Fig. 48 *Monomorium salomonis* ♀ von der Seite
 Fig. 49 *Monomorium salomonis* ♀ Stielchen von oben
 Fig. 50 *Monomorium salomonis* ♀ von der Seite
 Fig. 51 *Diplorhoptrum spec.* ♀ Pfynwald von der Seite
 Fig. 52 *Diplorhoptrum spec.* ♀ Pfynwald von oben
 Fig. 51~~a~~ *Diplorhoptrum spec.* ♂ San Nazzaro Kopf von vorn
 Fig. 52~~a~~ *Diplorhoptrum spec.* ♂ San Nazzaro Kopf v. d. Seite
 Fig. 53 *Diplorhoptrum spec.* ♀ San Nazzaro Kopf von vorn
 Fig. 54 *Diplorhoptrum* ♀ Männedorf Kopf von vorn
 Fig. 55 *Diplorhoptrum* ♀ Montagnola Thorax v. d. Seite
 Fig. 56 *Diplorhoptrum monticola* leg. BERNARD ♀ Kopf von vorn
 Fig. 57 *Diplorhoptrum spec.* ♀ San Nazzaro Vorderkopf
 Fig. 58 Profile des Epinotums und Stielchens von ♀♀ von
 a) *Leptothorax acervorum*
 b) *Leptothorax diversipilosus* aus den USA
 c) *Formicoxenus nitidulus*
 d) *Epimyrma stumperi*
 Fig. 59 Profile des Epinotums und Stielchens von ♀♀ von
 a) *Leptothorax acervorum*
 b) *Leptothorax diversipilosus* aus den USA
 c) *Formicoxenus nitidulus*
 d) *Doronomyrmex pacis*
 Fig. 60 Profile von Epinotum und Stielchen von ♂♂ von
 a) *Leptothorax acervorum* Laggintal Simplon
 b) *Leptothorax buschingeri* Laggintal Simplon
 c) *Leptothorax acervorum* Laggintal Simplon
 d) *Leptothorax buschingeri* Laggintal Simplon
 alle aus der gleichen Kolonie
 Fig. 61 *Leptothorax acervorum* ♀
 Fig. 62 *Leptothorax gredleri* ♀
 Fig. 63 *Leptothorax muscorum* ♀
 Fig. 64 *Leptothorax acervorum* ♀ Hinterbein
 Fig. 65 *Leptothorax gredleri* ♀ Hinterbein
 Fig. 66 *Leptothorax muscorum* ♀ Hinterbein
 Fig. 67 *Leptothorax gredleri* ♂ Vorderbein
 Fig. 68 *Leptothorax gredleri* ♂ Mittelbein
 Fig. 69 *Leptothorax gredleri* ♂ Hinterbein
 Fig. 70 Leptothorax a) Epinotum ♀ von *L. acervorum*

- | | | |
|------|--|--------------------------------|
| b) | Bein | ♀ von <i>L. acervorum</i> |
| c) | Epinotum | ♀ von <i>L. muscorum</i> |
| d) | Bein | ♀ von <i>L. muscorum</i> |
| e) | Epinotum | ♀ von <i>L. gredleri</i> |
| f) | Bein | ♀ von <i>L. gredleri</i> |
| Fig. | 71 <i>Leptothorax acervorum</i> | ♂ Mittelbein |
| Fig. | 72 <i>Leptothorax acervorum</i> | ♂ Vorderflügel |
| Fig. | 73 <i>Leptothorax gredleri</i> | ♀ Profil des Epinotums |
| Fig. | 74 <i>Leptothorax gredleri</i> | ♂ Profil des Epinotums |
| Fig. | 75 <i>Leptothorax muscorum</i> | ♀ Profil des Epinotums |
| Fig. | 76 <i>Leptothorax muscorum</i> | ♂ Profil des Epinotums |
| Fig. | 77 <i>Leptothorax acervorum</i> | ♀ Profil des Epinotums |
| Fig. | 78 <i>Leptothorax acervorum</i> | ♂ Profil des Epinotums |
| Fig. | 79 <i>Epimyrma stumperi</i> | ♀ Fühlerwurzel |
| Fig. | 80 <i>Epimyrma goesswaldi</i> | ♀ Fühlerwurzel |
| Fig. | 81 <i>Leptothorax tuberum</i> | ♀ Fühlerwurzel |
| Fig. | 82 <i>Formicoxenus nitidulus</i> | ♀ Fühlerwurzel |
| Fig. | 83 <i>Leptothorax acervorum</i> | ♀ Fühiergeissel |
| Fig. | 84 <i>Leptothorax muscorum</i> | ♀ Fühiergeissel |
| Fig. | 85 <i>Leptothorax gredleri</i> | ♀ Fühiergeissel |
| Fig. | 86 <i>Leptothorax flavigaster</i> | ♀ Fühiergeissel |
| Fig. | 87 <i>Leptothorax</i> a) <i>Leptothorax acervorum</i> | ♀♀ Fühiergeisseln von |
| | b) <i>Leptothorax muscorum</i> | |
| | c) <i>Leptothorax flavigaster</i> | |
| Fig. | 88 <i>Leptothorax goesswaldi</i> | ♂ |
| Fig. | 89 <i>Leptothorax acervorum</i> | ♂ Eggerhorn |
| Fig. | 90 <i>Leptothorax acervorum</i> | ♂ Saas-Fee |
| Fig. | 91 <i>Leptothorax acervorum</i> | ♂ Disentis, Stielchen von oben |
| Fig. | 92 <i>Leptothorax acervorum</i> | ♂ Sagitta |
| Fig. | 93 <i>Leptothorax acervorum</i> | ♀ |
| Fig. | 94 <i>Leptothorax acervorum</i> | ♀ Profil des Stielchens |
| Fig. | 95 <i>Leptothorax muscorum</i> | ♀ Profil des Epinotums |
| Fig. | 96 <i>Leptothorax muscorum</i> | ♂ Profil des Epinotums |
| Fig. | 97 <i>Leptothorax muscorum</i> | ♀ Profil des Petiolus |
| Fig. | 98 <i>Leptothorax muscorum</i> | ♀ Thorax von oben |
| Fig. | 99 <i>Leptothorax muscorum</i> | ♀ Würzburg von der Seite |
| Fig. | 100 <i>Leptothorax muscorum</i> | ♂ Vorderbein |
| Fig. | 101 <i>Leptothorax muscorum</i> | ♀ Würzburg, Kopf von vorn |
| Fig. | 102 <i>Leptothorax muscorum</i> | ♂ Kopf von vorn |
| Fig. | 103 <i>Leptothorax muscorum</i> | ♀ Profil des Stielchens |
| Fig. | 104 <i>Leptothorax goesswaldi</i> | ♂ Bellwald, von der Seite |
| Fig. | 105 <i>Leptothorax goesswaldi</i> | ♂ Kopf von vorn |
| Fig. | 106 <i>Leptothorax goesswaldi</i> | ♂ Subgenitalplatte |
| Fig. | 107 <i>Leptothorax goesswaldi</i> | ♂ Genitalapparat |
- Pradella
Würzburg

- Fig. 108 *Leptothorax goesswaldi*
 Fig. 109 *Leptothorax goesswaldi*
 Fig. 110 *Leptothorax gredleri*
 Fig. 111 *Leptothorax muscorum*
 Fig. 112 *Leptothorax gredleri*
 Fig. 113 *Leptothorax gredleri*
 Fig. 114 *Leptothorax gredleri*
 Fig. 115 *Leptothorax gredleri*
 Fig. 116 *Leptothorax gredleri*
 Fig. 117 *Leptothorax buschingeri*
 Fig. 118 *Leptothorax buschingeri*
 Fig. 119 *Leptothorax buschingeri*
 Fig. 120 *Leptothorax buschingeri*
 Fig. 121 *Leptothorax kutteri*
 Fig. 122 *Leptothorax kutteri*

 Fig. 123 *Leptothorax kutteri*
 Fig. 124 *Leptothorax kutteri*
 Fig. 125 *Leptothorax flavigaster*
 Fig. 126 *Leptothorax flavigaster*
 Fig. 127 *Leptothorax flavigaster*
 Fig. 128 *Leptothorax flavigaster*
 Fig. 129 *Leptothorax flavigaster*
 Fig. 130 *Leptothorax flavigaster*
 Fig. 131 *Leptothorax flavigaster*
 Fig. 132 *Leptothorax flavigaster*
 Fig. 133 *Leptothorax flavigaster*
 Fig. 134 *Leptothorax affinis*
 Fig. 135 *Leptothorax affinis*
 Fig. 136 *Leptothorax affinis*
 Fig. 137 *Leptothorax affinis*
 Fig. 138 *Leptothorax nadigi*
 Fig. 139 *Leptothorax nadigi*
 Fig. 140 *Leptothorax corticalis*
 Fig. 141 *Leptothorax corticalis*
 Fig. 142 *Leptothorax interruptus*
 Fig. 143 *Leptothorax interruptus*
 Fig. 144 *Leptothorax interruptus*
 Fig. 145 *Leptothorax interruptus*
 Fig. 146 *Leptothorax interruptus*
 Fig. 147 *Leptothorax interruptus*
 Fig. 148 *Leptothorax luteus*
 Fig. 149 *Leptothorax luteus*

 Fig. 150 *Leptothorax luteus*

- ♀ Saas-Fee
 ♀ Saas-Fee, Stielchenprofil
 ♀ Würzburg, Profil
 ♀ Würzburg, Profil
 ♀ Profil des Epinotums
 ♂ Profil des Stielchens
 ♂ Profil des Epinotums
 ♀ Kopf von vorn
 ♂ Kopf von vorn
 ♂ Profil d. Stielchens Holotypus
 ♂ Paratypus I
 ♂ Paratypus II
 ♂ Profil
 ♂ Profil von Epinotum und Stielchen
 ♂ Geschlechtsapparat
 ♂ Vorderflügel
 ♀ San Nazzaro TI
 ♂
 ♂ Kopf von vorn
 ♂ Fühler
 ♂ Flügelpaar
 ♀ Profil des Stielchens

 ♀ Fühler
 ♀ Vorderflügel
 ♀
 ♀
 ♀ Kopf von vorn
 ♀ Epinotaldorn
 ♀ Chur
 ♂
 ♀
 ♀ Thoraxprofil, Zürichberg
 ♀ Thoraxprofil, Pfynwald
 ♀ Thoraxprofil, Chasseral
 ♀ Thoraxprofil, Pfynwald
 ♀ Thoraxprofil, Würzburg
 ♂ Thoraxprofil
 ♀ Profil
 ♀ Epinotum und Stielchen im Profil
 ♀ Kopf von vorn

| | | |
|----------|----------------------------------|-------------------------------------|
| Fig. 151 | <i>Leptothorax luteus</i> | ♀ Fühler |
| Fig. 152 | <i>Leptothorax luteus</i> | ♀ Epinotaldornen von oben |
| Fig. 153 | <i>Leptothorax nylanderi</i> | ♀ Bözingen, Thoraxprofil |
| Fig. 154 | <i>Leptothorax parvulus</i> | ♀ Pfynwald, Thoraxprofil |
| Fig. 155 | <i>Leptothorax nylanderi</i> | ♀ Thoraxprofil |
| Fig. 156 | <i>Leptothorax parvulus</i> | ♀ Pfynwald |
| Fig. 157 | <i>Leptothorax nylanderi</i> | ♀ Bözingen, Kopf von vorn |
| Fig. 158 | <i>Leptothorax parvulus</i> | ♀ Pfynwald, Thoraxprofil |
| Fig. 159 | <i>Leptothorax parvulus</i> | ♀ Saas-Fee, Thoraxprofil |
| Fig. 160 | <i>Leptothorax parvulus</i> | ♀ Pfynwald, Kopf von vorn |
| Fig. 161 | <i>Leptothorax racovitzai</i> | ♀ Kopf von vorn |
| Fig. 162 | <i>Leptothorax racovitzai</i> | ♀ Thorax im Profil |
| Fig. 163 | <i>Leptothorax racovitzai</i> | ♀ Epinotaldornen von oben |
| Fig. 164 | <i>Leptothorax racovitzai</i> | ♂ Soussillon VS, Thorax im Profil |
| Fig. 165 | <i>Leptothorax racovitzai</i> | ♂ Kopf von vorn |
| Fig. 166 | <i>Leptothorax racovitzai</i> | ♂ Fühler |
| Fig. 167 | <i>Leptothorax unifasciatus</i> | ♂ Mesocco, Profil |
| Fig. 168 | <i>Leptothorax unifasciatus</i> | ♀ Alpe Cardada, von oben |
| Fig. 169 | <i>Leptothorax unifasciatus</i> | ♀ Alpe Cardada, Stielchen im Profil |
| Fig. 170 | <i>Leptothorax unifasciatus</i> | ♀ Thorax im Profil |
| Fig. 171 | <i>Leptothorax unifasciatus</i> | ♂ Vorderflügel |
| Fig. 172 | <i>Leptothorax unifasciatus</i> | ♂ Fühler |
| Fig. 173 | <i>Leptothorax tuberum</i> | ♂ Thorax im Profil |
| Fig. 174 | <i>Leptothorax tuberum</i> | ♂ Kopf von vorn, Zermatt |
| Fig. 175 | <i>Leptothorax tuberum</i> | ♀ im Profil, Pfynwald |
| Fig. 176 | <i>Leptothorax tuberum</i> | ♀ im Profil, Saas-Fee |
| Fig. 177 | <i>Leptothorax tuberum</i> | ♀ Kopf von vorn, Pfynwald |
| Fig. 178 | <i>Leptothorax corticalis</i> | ♂ Stielchen im Profil |
| Fig. 179 | <i>Leptothorax nylanderi</i> | ♂ Stielchen im Profil |
| Fig. 180 | <i>Leptothorax parvulus</i> | ♂ Stielchen im Profil |
| Fig. 181 | <i>Leptothorax unifasciatus</i> | ♂ Stielchen im Profil |
| Fig. 182 | <i>Leptothorax tuberum</i> | ♂ Stielchen im Profil |
| Fig. 183 | <i>Leptothorax nigriceps</i> | ♂ Stielchen im Profil |
| Fig. 184 | <i>Leptothorax interruptus</i> | ♂ Stielchen im Profil |
| Fig. 185 | <i>Chalepoxenus siciliensis</i> | ♀ von oben |
| Fig. 186 | <i>Chalepoxenus muellerianus</i> | ♀ im Profil |
| Fig. 187 | <i>Chalepoxenus muellerianus</i> | ♀ im Profil |
| Fig. 188 | <i>Chalepoxenus siciliensis</i> | ♂ Stielchen von oben |
| Fig. 189 | <i>Chalepoxenus muellerianus</i> | ♂ Stielchen von oben |
| Fig. 190 | <i>Chalepoxenus insubricus</i> | ♀ Thoraxprofil |
| Fig. 191 | <i>Chalepoxenus muellerianus</i> | ♀ Thoraxprofil |
| Fig. 192 | <i>Chalepoxenus gribodoi</i> | ♀ Thoraxprofil |
| Fig. 193 | <i>Chalepoxenus sciliensis</i> | ♀ Thoraxprofil |

| | | |
|----------|--|--|
| Fig. 194 | <i>Chalepoxenus kutteri</i> | ♀ Thoraxprofil |
| Fig. 195 | <i>Chalepoxenus insubricus</i> | ♀ Thoraxprofil |
| Fig. 196 | <i>Chalepoxenus muellerianus</i> | ♀ Thoraxprofil |
| Fig. 197 | <i>Chalepoxenus insubricus</i> | ♀ Thoraxprofil |
| Fig. 198 | <i>Chalepoxenus siciliensis</i> | ♀ Thoraxprofil |
| Fig. 199 | <i>Chalepoxenus kutteri</i> | ♀ Thoraxprofil |
| Fig. 200 | <i>Chalepoxenus kutteri</i> | ♂ Thoraxprofil |
| Fig. 201 | <i>Chalepoxenus kutteri</i> | ♂ Thoraxprofil |
| Fig. 202 | <i>Chalepoxenus muellerianus</i> | ♂ Thoraxprofil |
| Fig. 203 | <i>Chalepoxenus insubricus</i> | ♂ Thoraxprofil |
| Fig. 204 | <i>Epimyrma stumperi</i> | ♀ Profil und Obersicht |
| Fig. 205 | <i>Epimyrma stumperi</i> | ♂ Profil und Obersicht |
| Fig. 206 | <i>Epimyrma stumperi</i> | ♀ Profil |
| Fig. 207 | <i>Doronomyrmex pacis</i> | ♀ Kopf von vorn |
| Fig. 208 | <i>Doronomyrmex pacis</i> | ♀ Epinotum und Stielchen von oben |
| Fig. 209 | <i>Doronomyrmex pacis</i> | ♂ Kopf von vorn |
| Fig. 210 | <i>Doronomyrmex pacis</i> | ♂ Epinotum und Stielchen von oben |
| Fig. 211 | <i>Doronomyrmex pacis</i> | ♀ Profil |
| Fig. 212 | <i>Doronomyrmex pacis</i> | ♂ Profil |
| Fig. 213 | <i>Leptothorax kutteri</i> | ♀ Profil |
| Fig. 214 | <i>Leptothorax kutteri</i> | ♂ Profil |
| Fig. 215 | <i>Leptothorax kutteri</i> | ♀ Kopf von vorn |
| Fig. 216 | <i>Leptothorax kutteri</i> | ♀ Stielchen von oben |
| Fig. 217 | <i>Doronom. pacis</i> ♂ x <i>Lept. kutteri</i> | ♀ Profil ♂ Flügel |
| Fig. 218 | idem | Kopf von vorn |
| Fig. 219 | idem | Stielchen von oben |
| Fig. 220 | idem | ♀ Kopf von vorn, Fully |
| Fig. 221 | <i>Strongylognathus huberi</i> | ♀ Kopf von vorn, Binn |
| Fig. 222 | <i>Strongylognathus alpinus</i> | ♀ Kopf von vorn, Roveredo |
| Fig. 223 | <i>Strongylognathus alboini</i> | ♂ Kopf von d. Seite u. von vorn |
| Fig. 224 | 2 x <i>Strongylognathus testaceus</i> | ♂ Kopf von d. Seite u. von vorn |
| Fig. 225 | 2 x <i>Strongylognathus alpinus</i> | ♂ Kopf von d. Seite u. von vorn |
| Fig. 226 | 2 x <i>Strongylognathus alboini</i> | ♂ Kopf von vorn |
| Fig. 227 | <i>Epitritus argiolus</i> | ♂ Kopf von vorn |
| Fig. 228 | <i>Tapinoma erraticum</i> | ♀ Kopf von vorn |
| Fig. 229 | <i>Tapinoma erraticum</i> | ♀ Thoraxprofil |
| Fig. 230 | <i>Tapinoma erraticum</i> | ♀ |
| Fig. 231 | <i>Tapinoma ambiguum</i> ? | ♀ |
| Fig. 232 | <i>Tapinoma erraticum</i> | ♀ Genf, Profil |
| Fig. 233 | <i>Tapinoma erraticum</i> | ♀ Genf, Kopf von vorn |
| Fig. 234 | <i>Tapinoma</i> sp ? | ♀ St. Luc, weiss (leg. BUSCHINGER) Kopf von vorn |

- | | | |
|----------|--|--|
| Fig. 235 | <i>Tapinoma</i> sp ? | ♀ St. Luc, im Profil |
| Fig. 236 | <i>Tapinoma</i> sp ? | ♀ St. Luc, im Profil |
| Fig. 237 | <i>Formicinae</i> (<i>Lasius umbratus</i>) | ♂ Clypeus vor den Fühlerwurzeln |
| Fig. 238 | <i>Dolichoderinae</i> (<i>Tapinoma erraticum</i>) | ♂ Clypeus zwischen den Fühlerwurzeln |
| Fig. 239 | <i>Plagiolepis vindobonensis</i> | ♀ Fühlerformeln von a-f (6 Tieren), Bözingerberg |
| Fig. 240 | <i>Plagiolepis vindobonensis</i> | ♀ Thorax im Profil und von oben Bellinzona |
| Fig. 241 | <i>Plagiolepis vindobonensis</i> a) vom ♀ | Fühler (Mosel leg. v. BOVEN) |
| | b) vom ♂ | Fühler (Mosel leg. v. BOVEN) |
| Fig. 242 | <i>Plagiolepis pygmaea</i> | ♀ Fühler, Monte Bré |
| Fig. 243 | <i>Plagiolepis pygmaea</i> | ♀ Thorax im Profil und von oben, Brissago |
| Fig. 244 | <i>Plagiolepis pygmaea</i> | ♀ Fühlerformeln von 6 Tieren (a-f) |
| Fig. 245 | Fühler von ♀♀ von a) <i>Lasius fuliginosus</i> b) <i>Lasius flavus</i> c) <i>Formica fusca</i> d) <i>Formica polyctena</i> | |
| Fig. 246 | <i>Lasius umbratus</i> | ♂ Schuppe von hinten, Zermatt |
| Fig. 247 | <i>Lasius umbratus</i> | ♂ Schuppe von der Seite |
| Fig. 248 | <i>Lasius mixtus</i> | ♂ Schuppe von vorn, Männedorf |
| Fig. 249 | <i>Lasius mixtus</i> | ♂ Schuppe von der Seite |
| Fig. 250 | <i>Lasius rabaudi</i> | ♂ Schuppe von hinten, Tschamutt GR |
| Fig. 251 | <i>Lasius rabaudi</i> | ♂ Schuppe von der Seite Tschamutt GR |
| Fig. 252 | <i>Lasius flavus</i> | ♂ Schuppe von hinten |
| Fig. 253 | <i>Lasius brunneus</i> | ♂ Epinotum und Schuppe von der Seite |
| Fig. 254 | <i>Lasius umbratus</i> | ♀ Schuppe von der Seite |
| Fig. 255 | <i>Lasius umbratus</i> | ♀ Schuppe von hinten |
| Fig. 256 | <i>Lasius rabaudi</i> | ♀ Schuppe von der Seite |
| Fig. 257 | <i>Lasius rabaudi</i> | ♀ Schuppe von vorn (?) |
| Fig. 258 | <i>Lasius mixtus</i> | ♀ Schuppe von vorn, Flawil |
| Fig. 259 | <i>Lasius affinis</i> | ♀ Schuppe von vorn, Triest (leg. FINZI) |
| Fig. 260 | <i>Lasius affinis</i> | ♀ Schuppe von der Seite, Triest (leg. FINZI) |
| Fig. 261 | <i>Lasius brunneus</i> | ♀ Schuppe von hinten, Moncherant |

| | | |
|----------|---------------------------------|-----------------------------|
| Fig. 262 | <i>Lasius carniolicus</i> | ♀ Kopf von vorn, Pfynwald |
| Fig. 263 | <i>Lasius carniolicus</i> | ♀ Bein |
| Fig. 264 | <i>Lasius carniolicus</i> | ♂ Kopf und Thorax im Profil |
| Fig. 265 | <i>Lasius reginae</i> | ♀ Bein |
| Fig. 266 | <i>Lasius reginae</i> | ♀ Kopf von vorn |
| Fig. 267 | <i>Lasius bicornis</i> | ♂ Kopf von vorn, Reinach |
| Fig. 268 | <i>Lasius bicornis</i> | (♀?) Schuppe |
| Fig. 269 | <i>Lasius bicornis</i> | ♂ Mandibeln |
| Fig. 270 | <i>Lasius bicornis</i> | ♂ Schuppe von vorn |
| Fig. 271 | <i>Lasius bicornis</i> | ♂ Schuppe von der Seite |
| Fig. 272 | <i>Lasius bicornis</i> | ♂ Lacinia |
| Fig. 273 | <i>Lasius bicornis</i> | ♂ Stipes |
| Fig. 274 | <i>Lasius bicornis</i> | ♂ Sagitta |
| Fig. 275 | <i>Lasius fuliginosus</i> | ♀ Thoraxprofil |
| Fig. 276 | <i>Lasius carniolicus</i> | ♀ Thoraxprofil |
| Fig. 277 | <i>Lasius umbratus</i> | ♀ Thoraxprofil |
| Fig. 278 | <i>Lasius flavus</i> | ♀ Thoraxprofil |
| Fig. 279 | <i>Lasius niger</i> | ♀ Thoraxprofil |
| Fig. 280 | <i>Lasius fuliginosus</i> | ♂ Mandibel |
| Fig. 281 | <i>Lasius emarginatus</i> | ♂ Mandibel |
| Fig. 282 | <i>Lasius niger</i> | ♂ Mandibel |
| Fig. 283 | <i>Lasius brunneus</i> | ♂ Mandibel |
| Fig. 284 | <i>Lasius flavus</i> | ♂ Mandibel |
| Fig. 285 | <i>Lasius mixtus</i> | ♂ Mandibel |
| Fig. 286 | <i>Camponotus ligniperda</i> | ♂ Profil |
| Fig. 287 | <i>Camponotus ligniperda</i> | ♀ Profil |
| Fig. 288 | <i>Camponotus ligniperda</i> | ♀ Profil |
| Fig. 289 | <i>Camponotus ligniperda</i> | ♀ gross |
| Fig. 290 | <i>Camponotus ligniperda</i> | ♀ mittelgross |
| Fig. 291 | <i>Camponotus ligniperda</i> | ♀ klein |
| Fig. 292 | <i>Camponotus universitatis</i> | ♀ Kopf von vorn |
| Fig. 293 | <i>Camponotus universitatis</i> | ♀ Mittelbein |
| Fig. 294 | <i>Camponotus aethiops</i> | ♀ Kopf von vorn |
| Fig. 295 | <i>Camponotus aethiops</i> | ♀ Mittelbein |
| Fig. 296 | <i>Camponotus aethiops</i> | ♀ von der Seite |
| Fig. 297 | <i>Camponotus aethiops</i> | ♂ von der Seite |
| Fig. 298 | <i>Camponotus piceus</i> | ♀ Kopf und Thorax von vorn |
| Fig. 299 | <i>Camponotus dalmaticus</i> | ♀ Thorax von der Seite |
| Fig. 300 | <i>Camponotus dalmaticus</i> | ♂ Kopf von vorn |
| Fig. 301 | <i>Camponotus dalmaticus</i> | ♀ Kopf von vorn |
| Fig. 302 | <i>Camponotus dalmaticus</i> | ♀ von der Seite |
| Fig. 303 | <i>Camponotus dalmaticus</i> | ♂ von der Seite |
| Fig. 304 | <i>Camponotus dalmaticus</i> | ♀ von der Seite |
| Fig. 305 | <i>Formica fusca</i> | ♀ Kiefertaster |
| Fig. 306 | <i>Formica fusca</i> | ♀ Lippentaster |

| | |
|--|----------------------------|
| Fig. 307 <i>Formica fusca</i> | ♀ Mandibeln |
| Fig. 308 <i>Formica fusca</i> | ♀ major, Kopf von vorn |
| Fig. 309 <i>Formica fusca</i> | ♀ minor, Kopf von vorn |
| Fig. 310 <i>Formica gagates</i> | ♂ Thorax von oben |
| Fig. 311 <i>Formica gagates</i> | ♀ Kopf von vorn |
| Fig. 312 <i>Formica gagates</i> | ♀ Hinterbein |
| Fig. 313 <i>Formica gagates</i> | ♀ Stirnfeld |
| Fig. 314 <i>Formica gagates</i> | ♀ Thoraxprofil, Tessin |
| Fig. 315 <i>Formica fusca</i> | ♀ Thoraxprofil, Engadin |
| Fig. 316 <i>Formica picea</i> | ♀ Thoraxprofil, Rotkreuz |
| Fig. 317 <i>Formica picea</i> | ♂ Thorax von oben |
| Fig. 318 <i>Formica picea</i> | ♀ Kopf von vorn |
| Fig. 319 <i>Formica picea</i> | ♀ Kiefertaster |
| Fig. 320 <i>Formica picea</i> | ♀ Stirnfeld |
| Fig. 321 <i>Formica cinerea</i> | ♀ Seitenansicht |
| Fig. 322 <i>Formica cinerea</i> | ♀ Kopf von vorn |
| Fig. 323 <i>Formica cinerea</i> | ♂ Kopf von der Seite |
| Fig. 324 <i>Formica cinerea</i> | ♂ Hinterbein |
| Fig. 325 <i>Formica cinerea</i> | ♂ Schuppe |
| Fig. 326 <i>Formica selysi</i> | ♀ Seitenansicht |
| Fig. 327 <i>Formica selysi</i> | ♀ Hinterbein |
| Fig. 328 <i>Formica lefrançoisii</i> | ♀ Seitenansicht |
| Fig. 329 <i>Formica lefrançoisii</i> | ♀ Schuppe von vorn |
| Fig. 330 <i>Formica lefrançoisii</i> | ♂ Kopf von vorn |
| Fig. 331 <i>Formica lefrançoisii</i> | ♂ Schuppe, Uzwil |
| Fig. 332 <i>Formica lefrançoisii</i> | ♀ Thoraxprofil, Il Fuorn |
| Fig. 333 <i>Formica lefrançoisii</i> | ♀ Thoraxprofil, Grono |
| Fig. 334 <i>Formica lefrançoisii</i> | ♀ Thoraxprofil, Schmerikon |
| Fig. 335 <i>Formica cinereo-rufibarbis</i> | Seitenansicht |
| Fig. 336 <i>Formica uralensis</i> | ♀ Seitenansicht |
| Fig. 337 <i>Formica uralensis</i> | ♀ Kopf von vorn |
| Fig. 338 <i>Formica uralensis</i> | ♀ Thorax von oben |
| Fig. 339 <i>Formica uralensis</i> | ♀ 6. Geisselglied |
| Fig. 340 <i>Formica uralensis</i> | ♀ Fühlergeissel |
| Fig. 341 <i>Formica uralensis</i> | ♀ 2. Geisselglied |
| Fig. 342 <i>Formica uralensis</i> | ♀ Seitenansicht |
| Fig. 343 <i>Formica uralensis</i> | ♀ Kopf von vorn |
| Fig. 344 <i>Formica uralensis</i> | ♀ von oben |
| Fig. 345 <i>Formica uralensis</i> | ♀ Hinterbein |
| Fig. 346 <i>Formica uralensis</i> | ♀ Fühlergeisselanfang |

Fig. 347–356 Behaarung und Skulptur auf 2. Tergit von ♀♀ von *Formica*

Fig. 357 *Coptoformica bruni*

Fig. 358 *Coptoformica foreli*

♀ Seitenansicht, Monnaz
(leg. FOREL)

♀ Cotypus, Vaux

Fig. 359 Kiefertaster von ♀♀ von *Coptoformica*

- a) *exsecta*
- b) *forsslundi*
- c) *naefi*
- d) *foreli* (?)
- e) *pressilabris*
- f) *foreli*
- g) *bruni*
- h) *foreli*

Fig. 360 Kiefertaster von 2 ♀♀ aus der gleichen Kolonie von *C. pressilabris*, Zermatt 1919:

- a) und b) 1. Tier, c) 2. Tier

Fig. 361 *Coptoformica pressilabris*

♀ Schuppenoberrand, Binn
♀ Schuppenoberrand, Binn
♀ Schuppenoberrand, Binn
♀ Schuppenoberrand, Zinal
♀ Schuppenoberrand, Sihlsee
♀ Schuppenoberrand, Schweden
♀ Schuppenoberrand, Schweden
♀ Schuppenoberrand, Sihlsee
♀ Schuppenoberrand
♀ Schuppenoberrand,
Stavelchod Park

Fig. 362 *Coptoformica pressilabris*

♀ Schuppenoberrand, Binn
♀ Schuppenoberrand, Binn
♀ Schuppenoberrand, Binn
♀ Schuppenoberrand, Zinal
♀ Schuppenoberrand, Sihlsee
♀ Schuppenoberrand, Schweden
♀ Schuppenoberrand, Schweden
♀ Schuppenoberrand, Sihlsee
♀ Schuppenoberrand
♀ Schuppenoberrand,
Stavelchod Park

Fig. 363 *Coptoformica pressilabris*

♀ Schuppenoberrand, Binn
♀ Schuppenoberrand, Binn
♀ Schuppenoberrand, Binn
♀ Schuppenoberrand, Zinal
♀ Schuppenoberrand, Sihlsee
♀ Schuppenoberrand, Schweden
♀ Schuppenoberrand, Schweden
♀ Schuppenoberrand, Sihlsee
♀ Schuppenoberrand
♀ Schuppenoberrand,
Stavelchod Park

Fig. 364 *Coptoformica pressilabris*

♀ Schuppenoberrand, Binn
♀ Schuppenoberrand, Binn
♀ Schuppenoberrand, Binn
♀ Schuppenoberrand, Zinal
♀ Schuppenoberrand, Sihlsee
♀ Schuppenoberrand, Schweden
♀ Schuppenoberrand, Schweden
♀ Schuppenoberrand, Sihlsee
♀ Schuppenoberrand
♀ Schuppenoberrand,
Stavelchod Park

Fig. 365 *Coptoformica forsslundi*

♀ Schuppenoberrand, Binn
♀ Schuppenoberrand, Binn
♀ Schuppenoberrand, Binn
♀ Schuppenoberrand, Zinal
♀ Schuppenoberrand, Sihlsee
♀ Schuppenoberrand, Schweden
♀ Schuppenoberrand, Schweden
♀ Schuppenoberrand, Sihlsee
♀ Schuppenoberrand
♀ Schuppenoberrand,
Stavelchod Park

Fig. 366 *Coptoformica forsslundi*

♀ Schuppenoberrand, Binn
♀ Schuppenoberrand, Binn
♀ Schuppenoberrand, Binn
♀ Schuppenoberrand, Zinal
♀ Schuppenoberrand, Sihlsee
♀ Schuppenoberrand, Schweden
♀ Schuppenoberrand, Schweden
♀ Schuppenoberrand, Sihlsee
♀ Schuppenoberrand
♀ Schuppenoberrand,
Stavelchod Park

Fig. 367 *Coptoformica forsslundi*

♀ Schuppenoberrand, Binn
♀ Schuppenoberrand, Binn
♀ Schuppenoberrand, Binn
♀ Schuppenoberrand, Zinal
♀ Schuppenoberrand, Sihlsee
♀ Schuppenoberrand, Schweden
♀ Schuppenoberrand, Schweden
♀ Schuppenoberrand, Sihlsee
♀ Schuppenoberrand
♀ Schuppenoberrand,
Stavelchod Park

Fig. 368 *Coptoformica forsslundi*

♀ Schuppenoberrand, Binn
♀ Schuppenoberrand, Binn
♀ Schuppenoberrand, Binn
♀ Schuppenoberrand, Zinal
♀ Schuppenoberrand, Sihlsee
♀ Schuppenoberrand, Schweden
♀ Schuppenoberrand, Schweden
♀ Schuppenoberrand, Sihlsee
♀ Schuppenoberrand
♀ Schuppenoberrand,
Stavelchod Park

Fig. 369 *Coptoformica exsecta*

♀ Schuppenoberrand, Binn
♀ Schuppenoberrand, Binn
♀ Schuppenoberrand, Binn
♀ Schuppenoberrand, Zinal
♀ Schuppenoberrand, Sihlsee
♀ Schuppenoberrand, Schweden
♀ Schuppenoberrand, Schweden
♀ Schuppenoberrand, Sihlsee
♀ Schuppenoberrand
♀ Schuppenoberrand,
Stavelchod Park

Fig. 370 *Coptoformica exsecta*

Fig. 371 *Coptoformica exsecta*

♀ Schuppenoberrand, Binn
♀ Schuppenoberrand, Binn
♀ Schuppenoberrand, Binn
♀ Schuppenoberrand, Zinal
♀ Schuppenoberrand, Sihlsee
♀ Schuppenoberrand, Schweden
♀ Schuppenoberrand, Schweden
♀ Schuppenoberrand, Sihlsee
♀ Schuppenoberrand
♀ Schuppenoberrand,
Stavelchod Park

Fig. 372 a) *Coptoformica naefi*

♀ Schuppenoberrand, Pradella

b) *Coptoformica naefi*
c) *Coptoformica naefi*
d) *Coptoformica naefi*

♀ Schuppenoberrand, Pradella

Fig. 373 a) *Coptoformica bruni*

♀ Schuppenoberrand ?

Fig. 374 b) *Coptoformica bruni*

♀ Schuppenoberrand

c) *Coptoformica bruni*

♀ Schuppenoberrand

d) *Coptoformica bruni*

♀ Schuppenoberrand

Fig. 374 a) *Coptoformica goesswaldi*

♀ Schuppenoberrand, Soglio

b) *Coptoformica goesswaldi*

♀ Schuppenoberrand, Soglio

c) *Coptoformica goesswaldi*

♀ Schuppenoberrand, Soglio

d) *Coptoformica goesswaldi*

♀ Schuppenoberrand, Soglio

Fig. 375 a) *Coptoformica exsecta*

♀ Schuppenoberrand, Lukmanierpass 8mal

b) *Coptoformica exsecta*

♀ Schuppenoberrand, Lukmanierpass 8mal

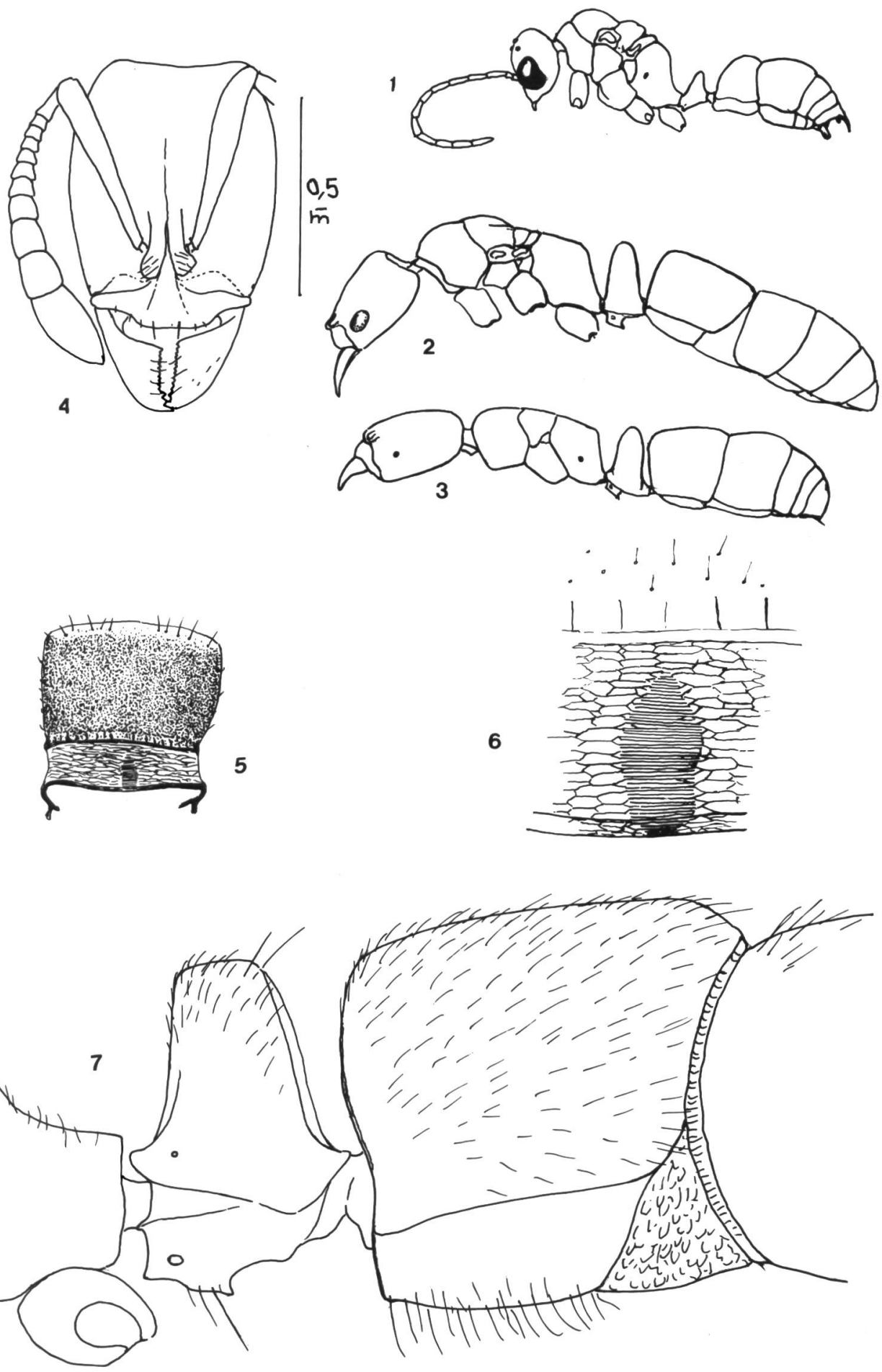
c) *Coptoformica exsecta*

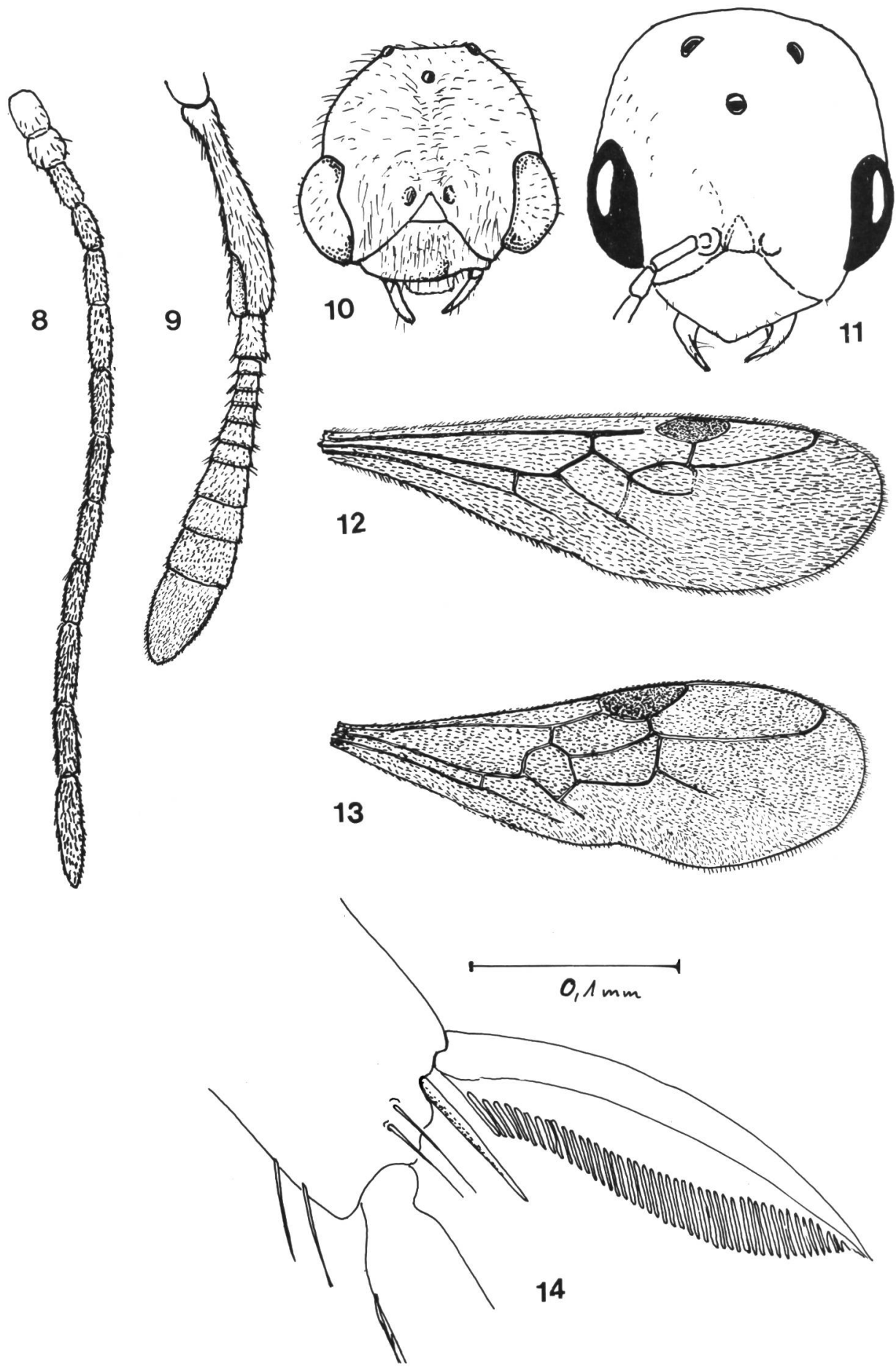
♀ Schuppenoberrand, Lukmanierpass 7mal

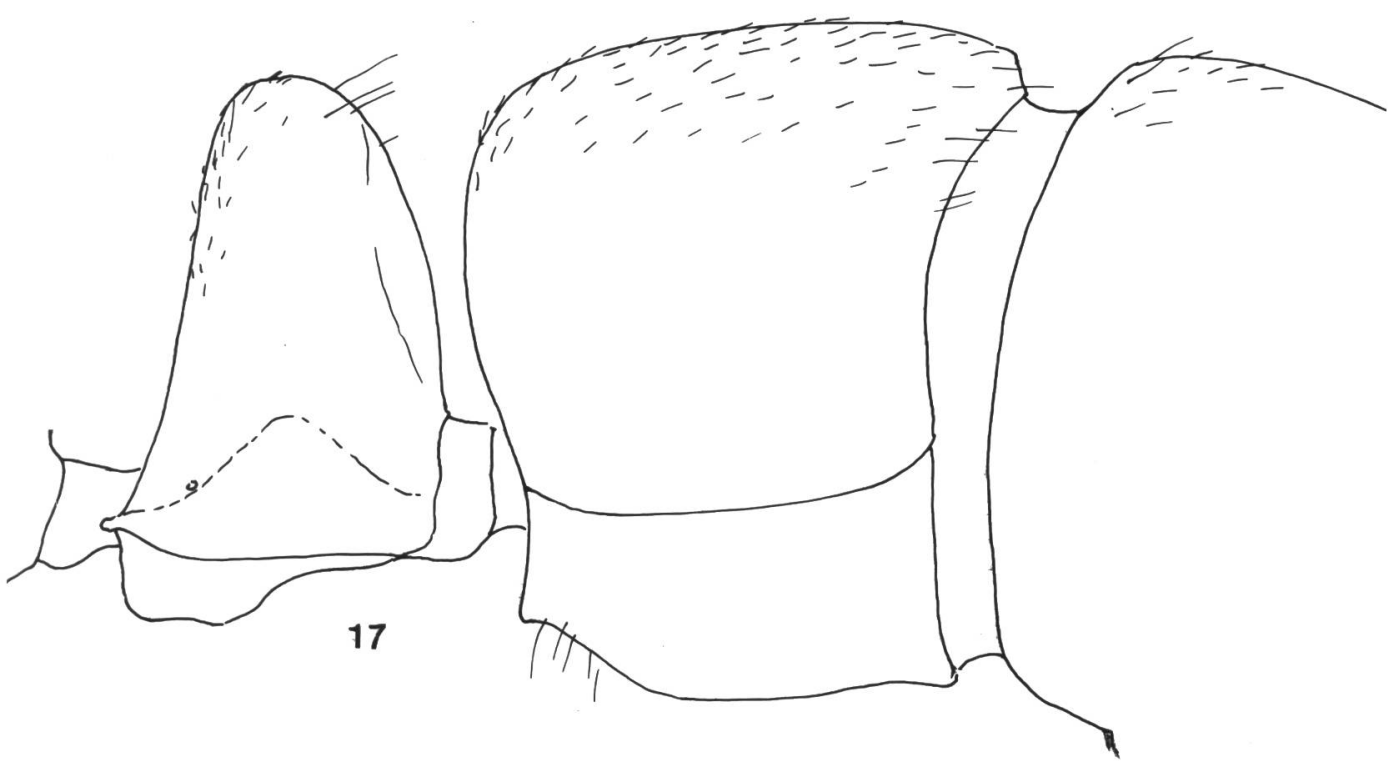
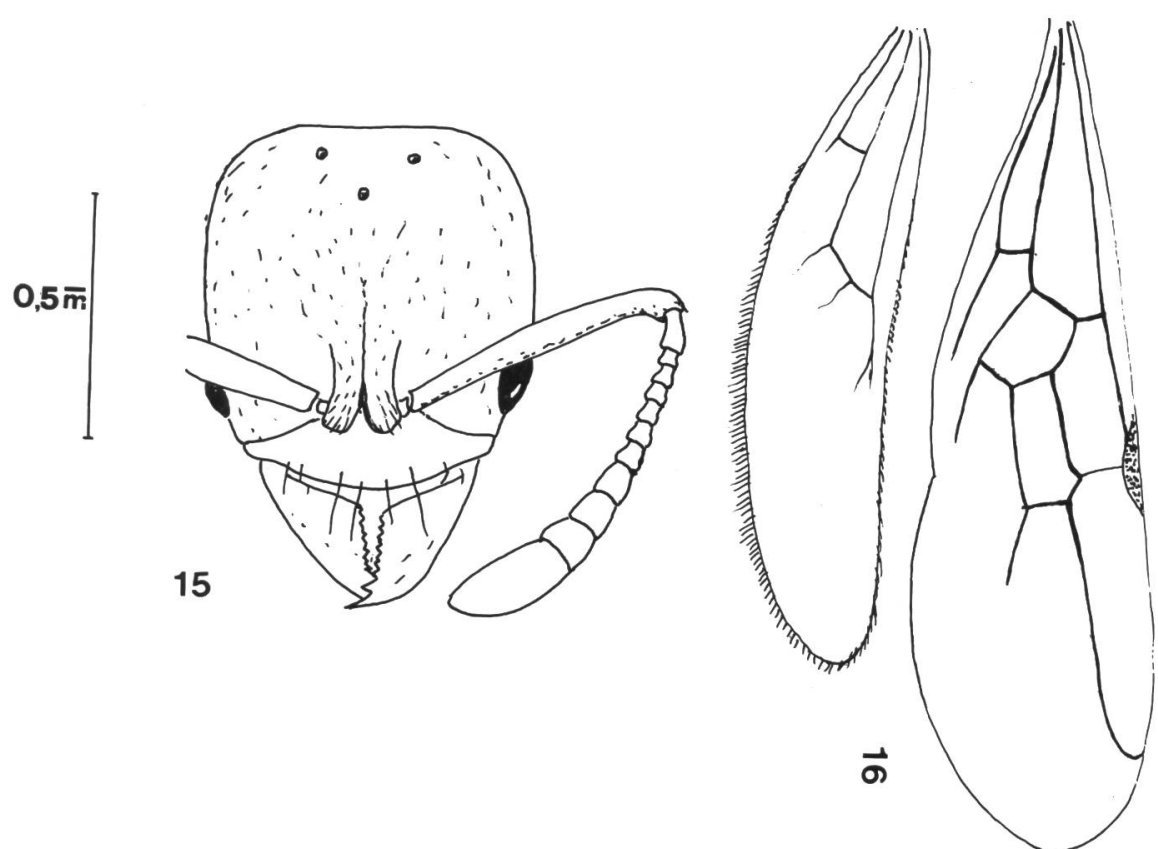
d) *Coptoformica exsecta*

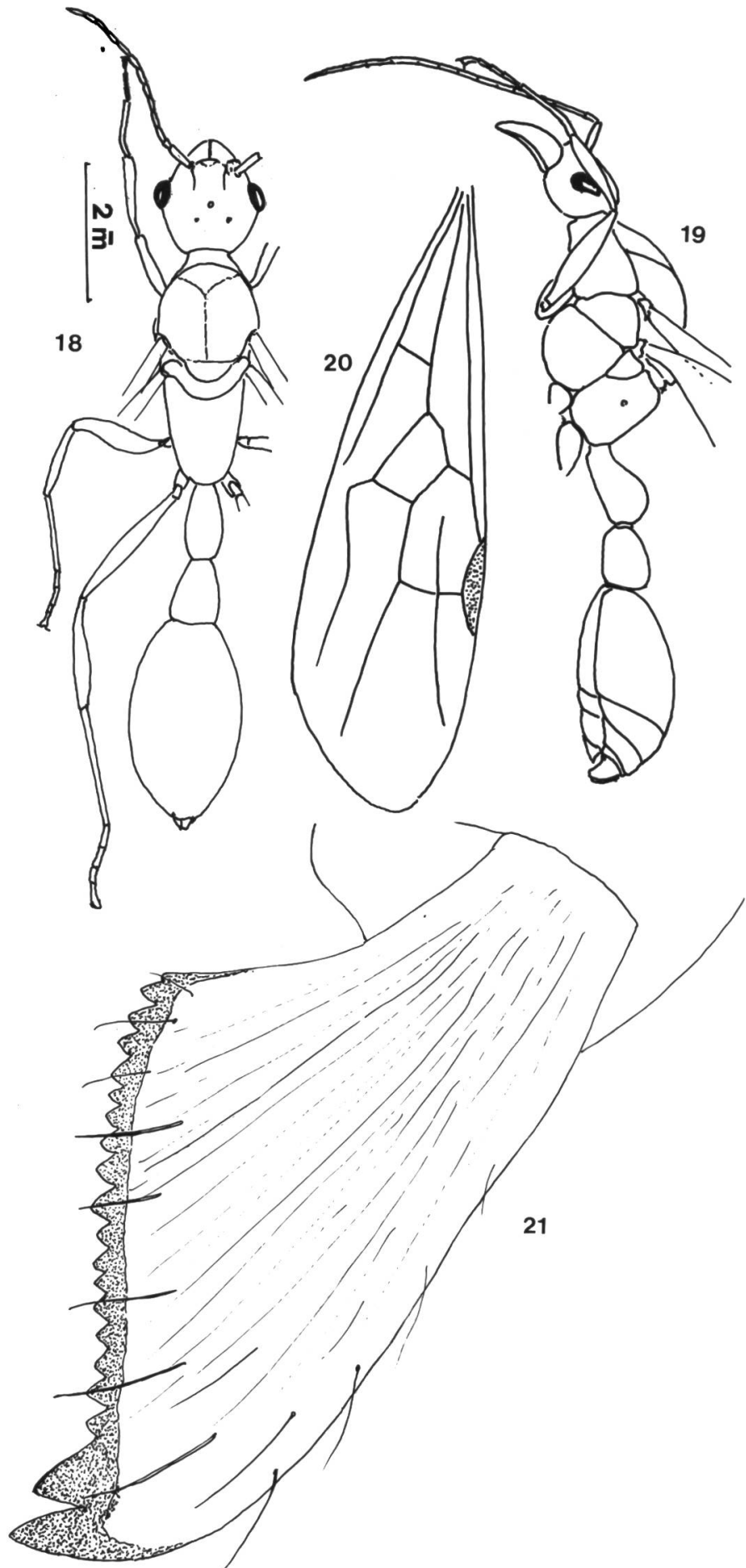
♀ Schuppenoberrand, Lukmanierpass 7mal

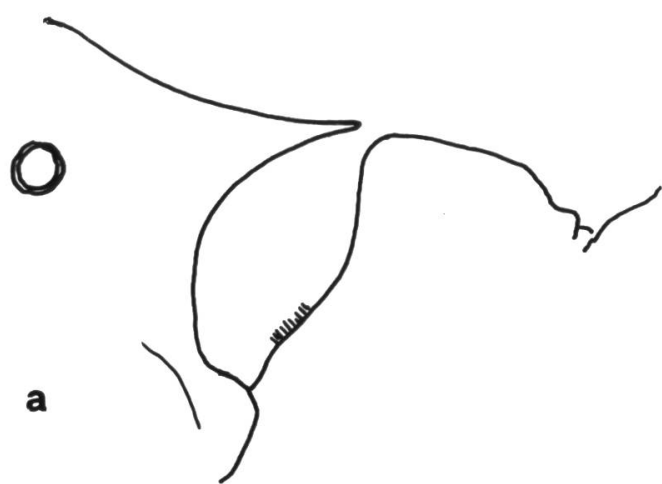
| | | |
|---|-------------------------------------|-------|
| e) <i>Coptoformica exsecta</i> | ♀ Schuppenoberrand Lukmanierpass | 21mal |
| f) <i>Coptoformica exsecta</i> | ♀ Schuppenoberrand Lukmanierpass | 21mal |
| Fig. 376 <i>Coptoformica bruni</i> | ♀ Kopf von vorn | |
| Fig. 377 <i>Coptoformica bruni</i> | ♀ Kopf von der Seite | |
| Fig. 378 <i>Coptoformica goesswaldi</i> | ♀ Kopf von vorn | |
| Fig. 379 <i>Coptoformica foreli</i> Cotypus | ♀ Kopf von vorn | |
| Fig. 380 <i>Coptoformica goesswaldi</i> | ♀ Kopf von vorn | |
| Fig. 381 <i>Coptoformica naefi</i> | ♀ Kopf von vorn | |
| Fig. 382 <i>Coptoformica pressilabris</i> | ♀ Kopf von vorn | |
| Fig. 383 <i>Coptoformica bruni</i> | ♀ Kopf von vorn | |
| Fig. 384 <i>Coptoformica exsecta</i> | ♂ Kopf von vorn, Il Fuorn | |
| Fig. 385 <i>Coptoformica pressilabris</i> | ♂ Kopf von vorn, Saas-Fee | |
| Fig. 386 <i>Coptoformica forsslundi</i> | ♂ Kopf von vorn | |
| Fig. 387 <i>Coptoformica naefi</i> | ♂ Kopf von vorn, Pradella | |
| Fig. 388 <i>Coptoformica bruni</i> | ♂ Kopf von vorn, Findelen | |
| Fig. 389 <i>Coptoformica goesswaldi</i> | ♂ Kopf von vorn, Soglio | |
| Fig. 390 <i>Coptoformica exsecta</i> | ♂ Kopf von der Seite, Il Fuorn | |
| Fig. 391 <i>Coptoformica goesswaldi</i> | ♂ Kopf von der Seite, Soglio | |
| Fig. 392 <i>Coptoformica bruni</i> | ♂ Kopf von der Seite, Evolène | |
| Fig. 393 <i>Coptoformica forsslundi</i> | ♂ Kopf von der Seite, Sihlsee | |
| Fig. 394 <i>Coptoformica pressilabris</i> | ♂ Kopf von der Seite, Saas-Fee | |
| Fig. 395 <i>Coptoformica naefi</i> | ♂ Kopf von der Seite, Pradella | |
| Fig. 396 <i>Coptoformica naefi</i> | ♂ Subgenitalplatte | |
| Fig. 397 <i>Coptoformica naefi</i> | ♂ Penicillum | |
| Fig. 398 <i>Coptoformica naefi</i> | ♂ Genitalapparat, Stipes, etc. | |
| Fig. 399 <i>Coptoformica naefi</i> | ♂ Genitalapparat, Sagitta | |
| Fig. 400 <i>Coptoformica goesswaldi</i> | ♂ Genitalapparat, Sagitta, Soglio | |
| Fig. 401 <i>Coptoformica goesswaldi</i> | ♂ Subgenitalplatte, Soglio | |
| Fig. 402 <i>Coptoformica goesswaldi</i> | ♂ Penicillum | |
| Fig. 403 <i>Coptoformica goesswaldi</i> | ♂ Genitalapparat, Stipes, etc. | |

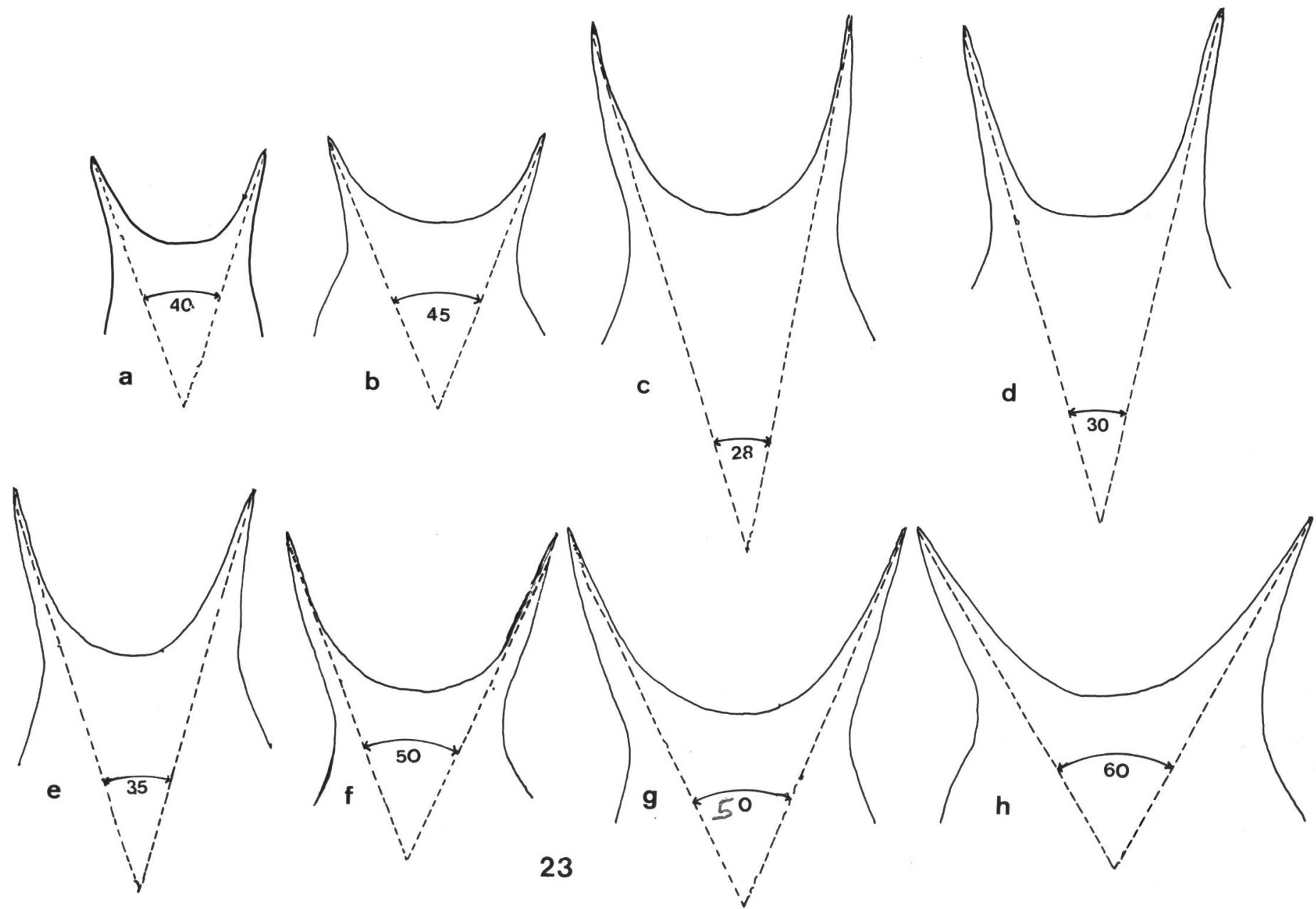


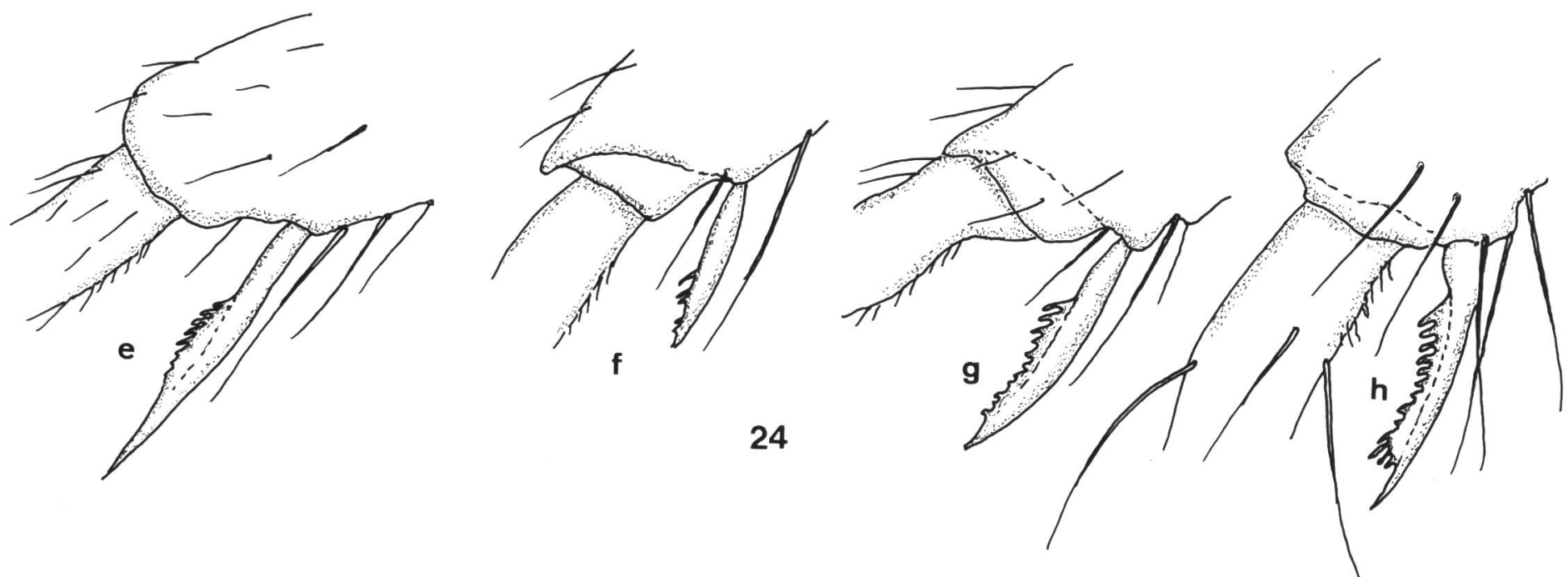
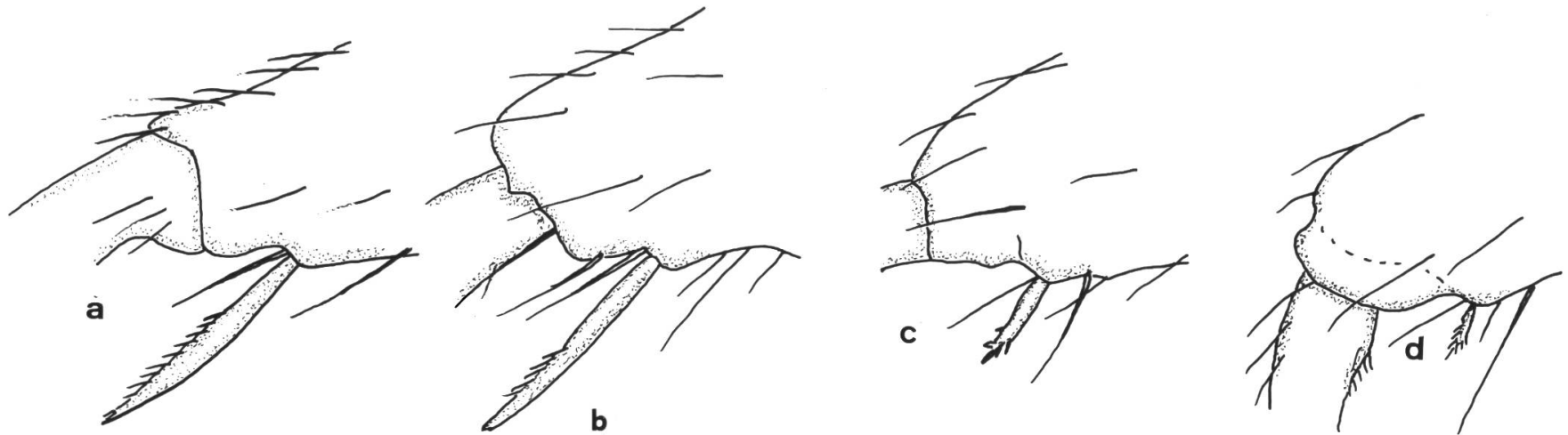


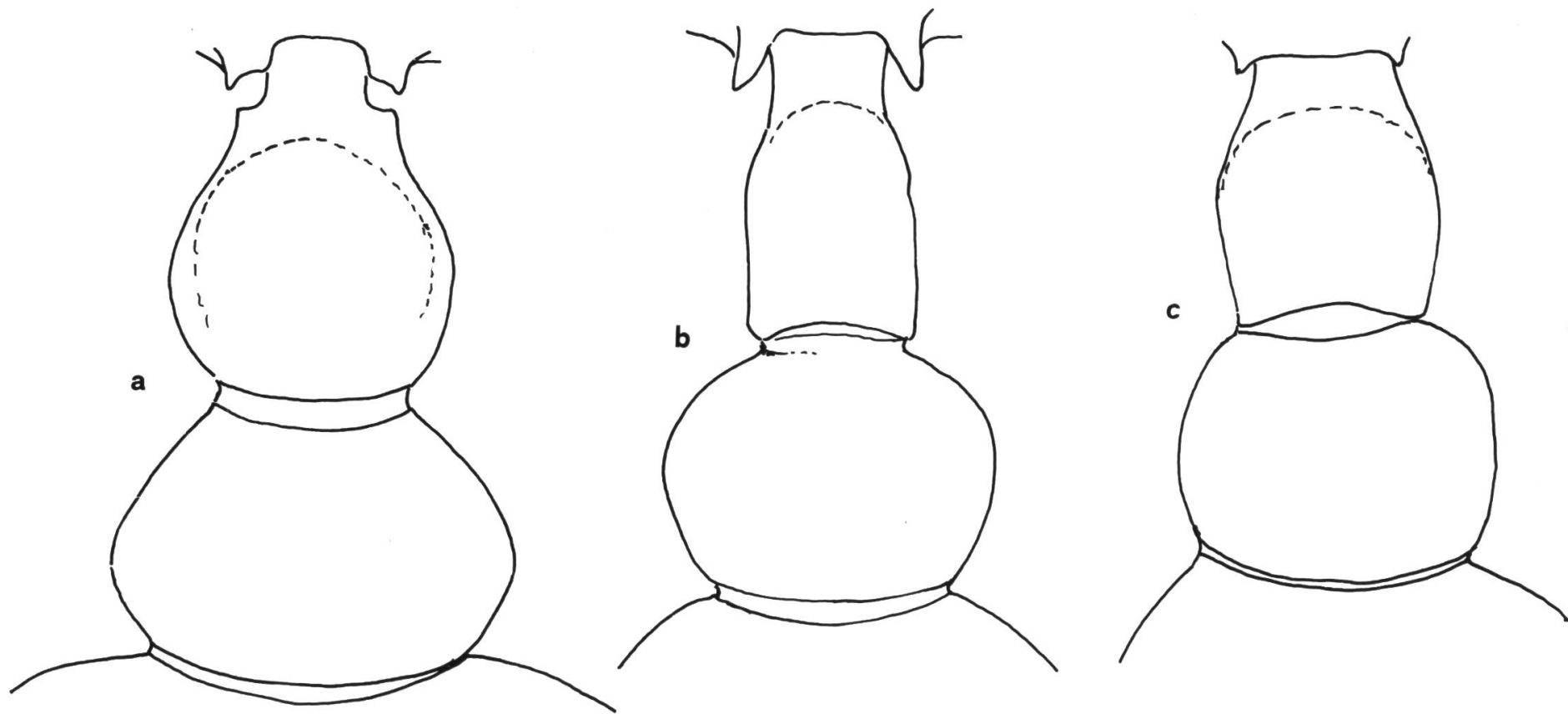


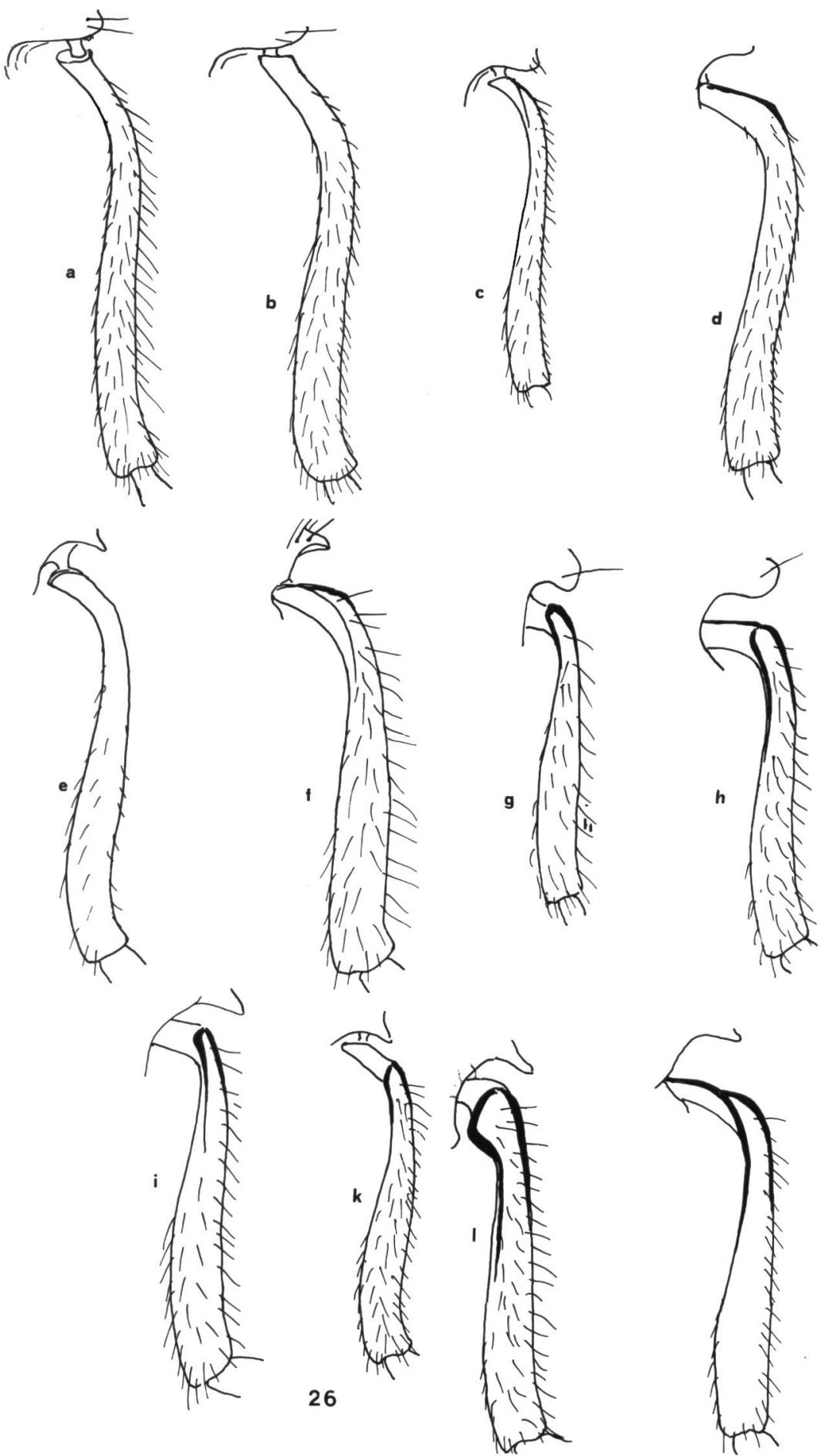


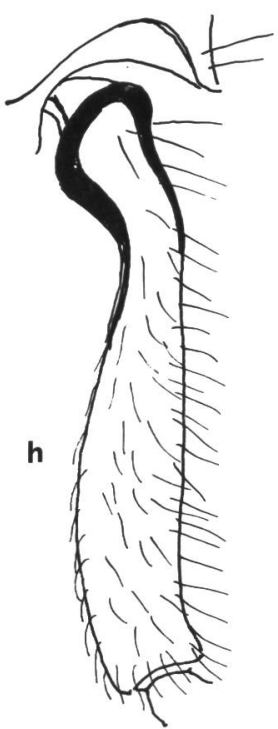
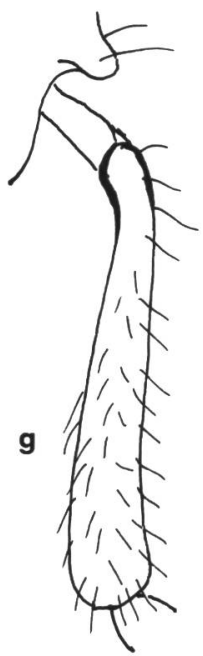
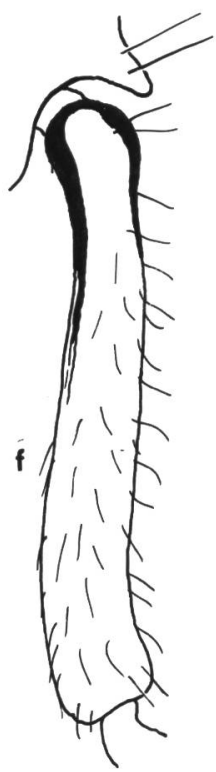
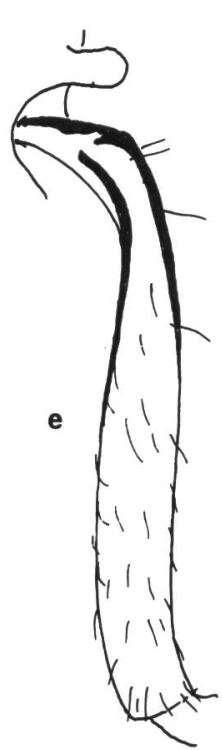
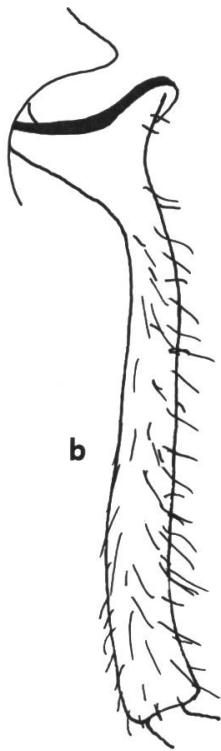
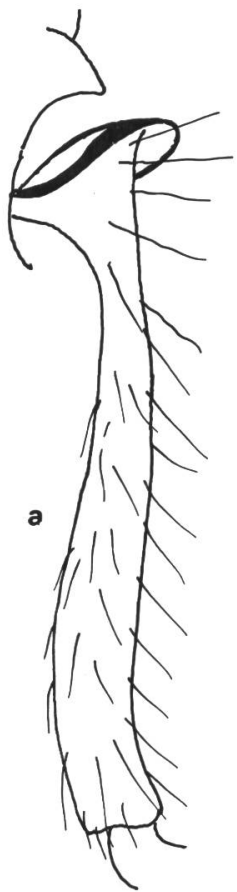


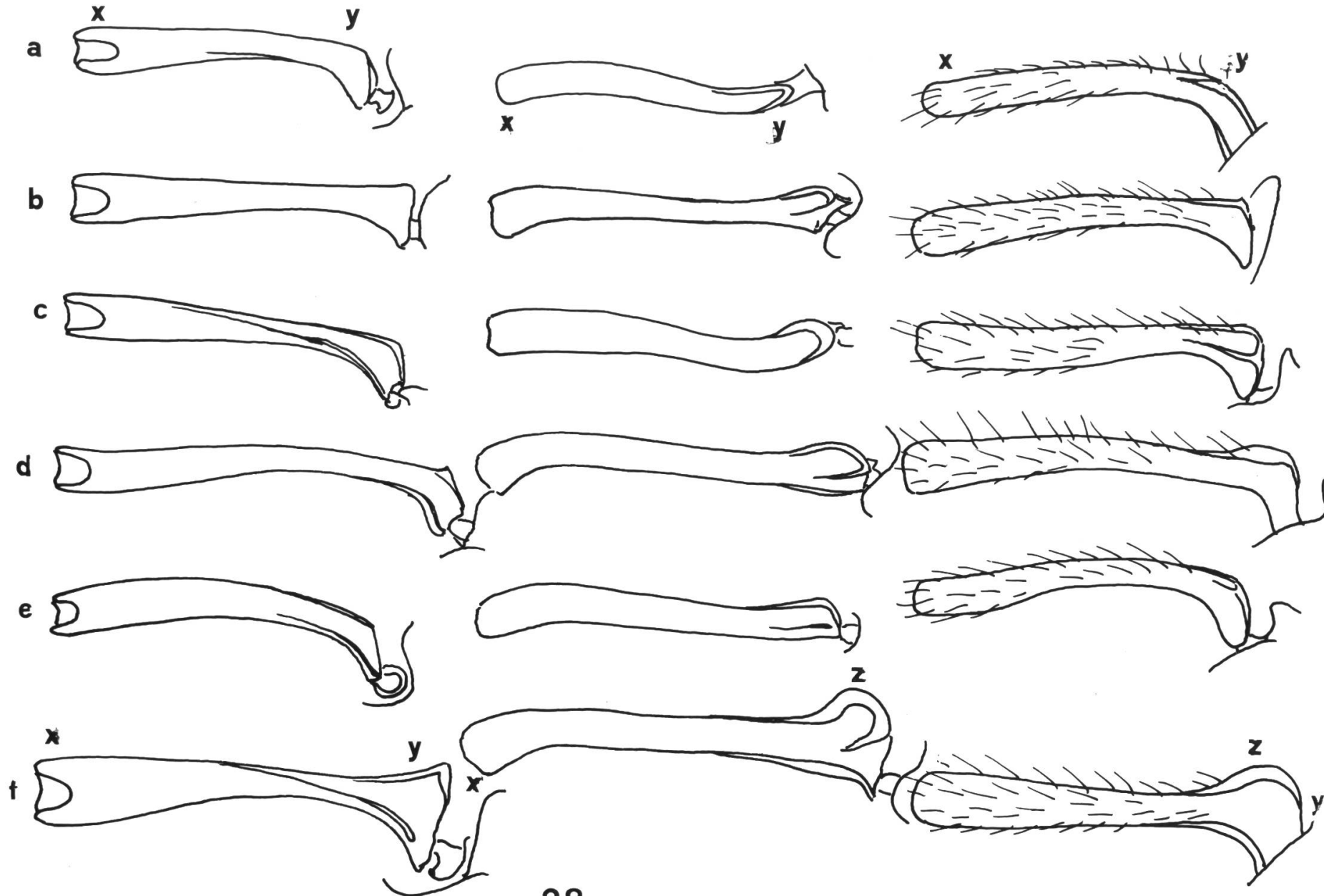


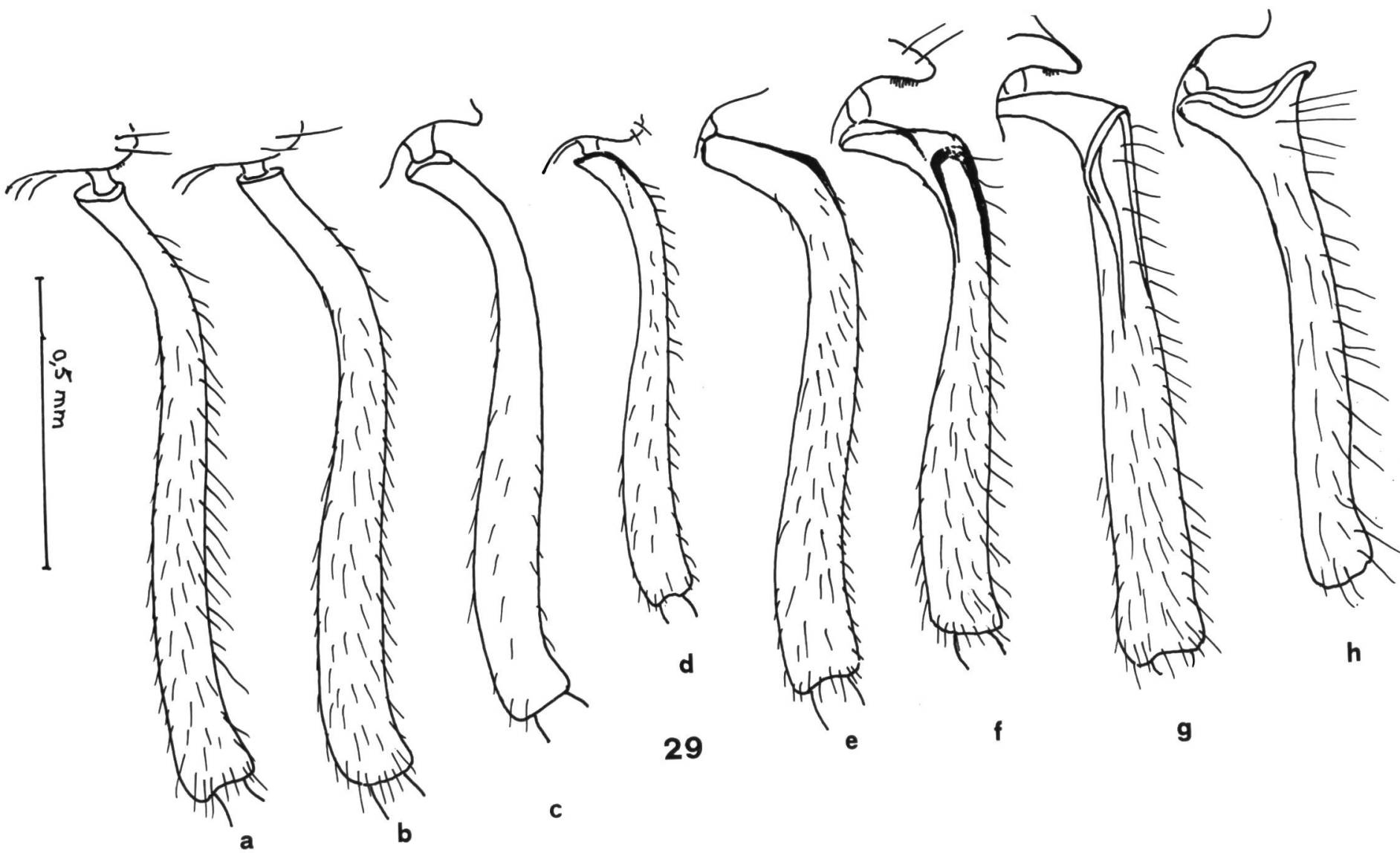


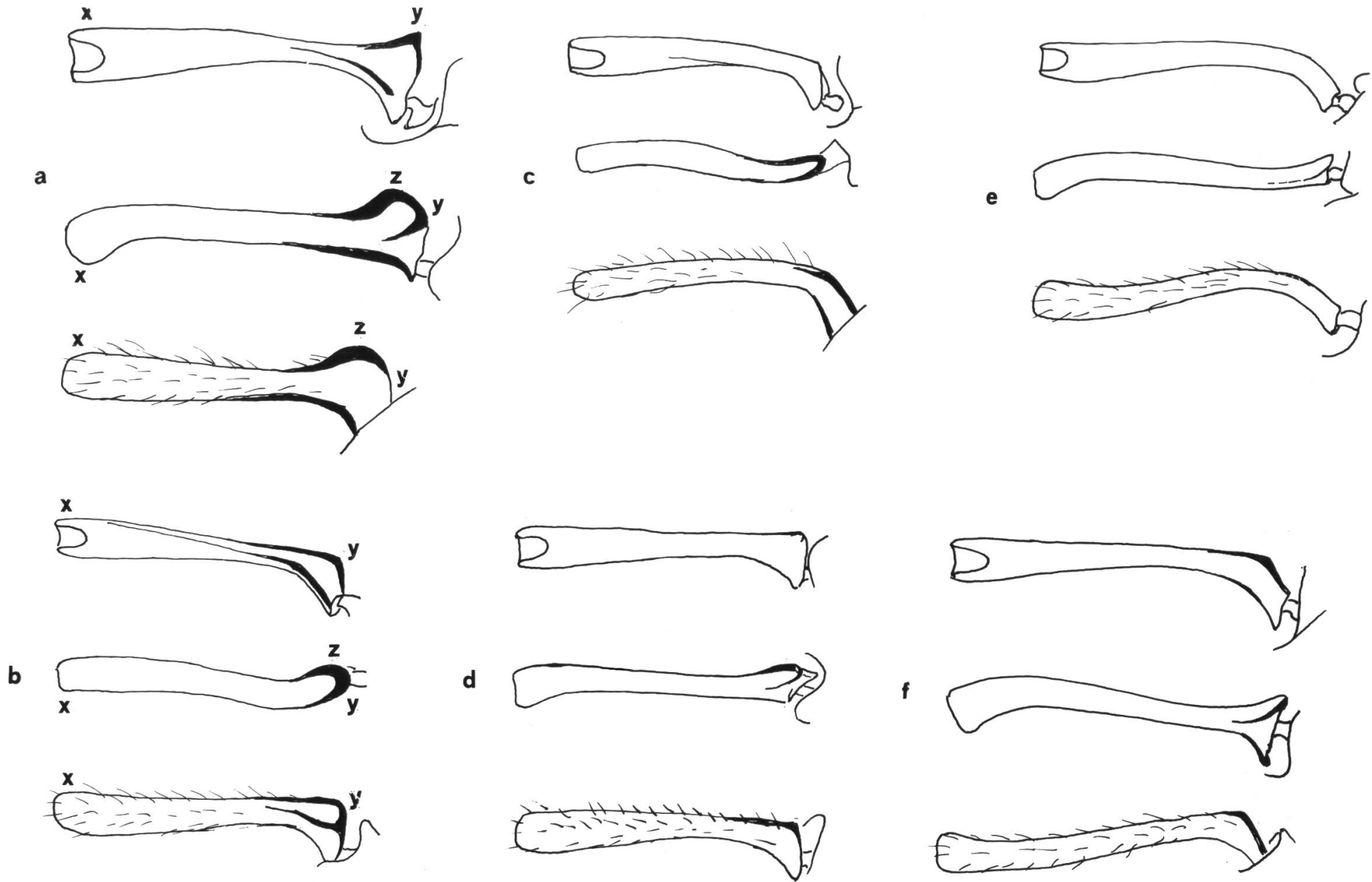


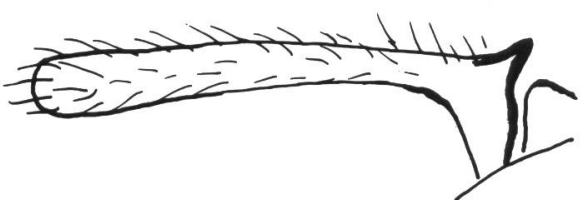
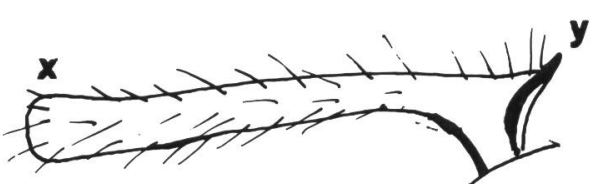
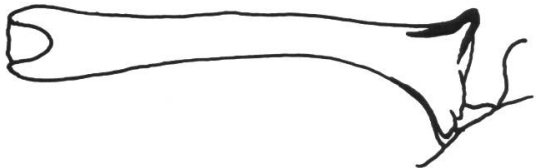
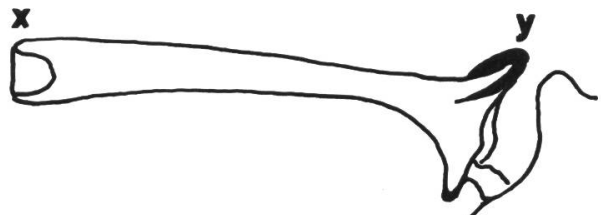
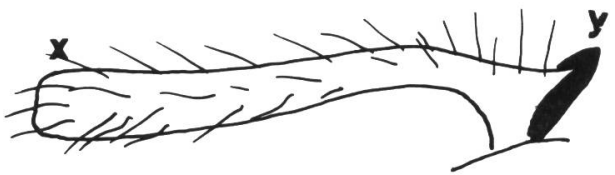
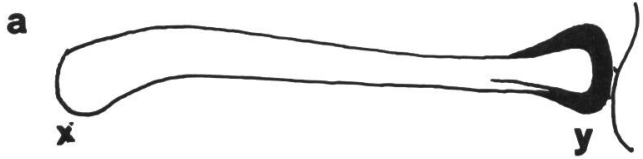
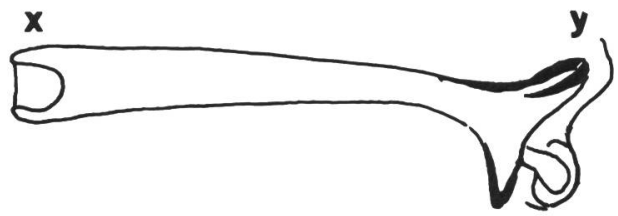


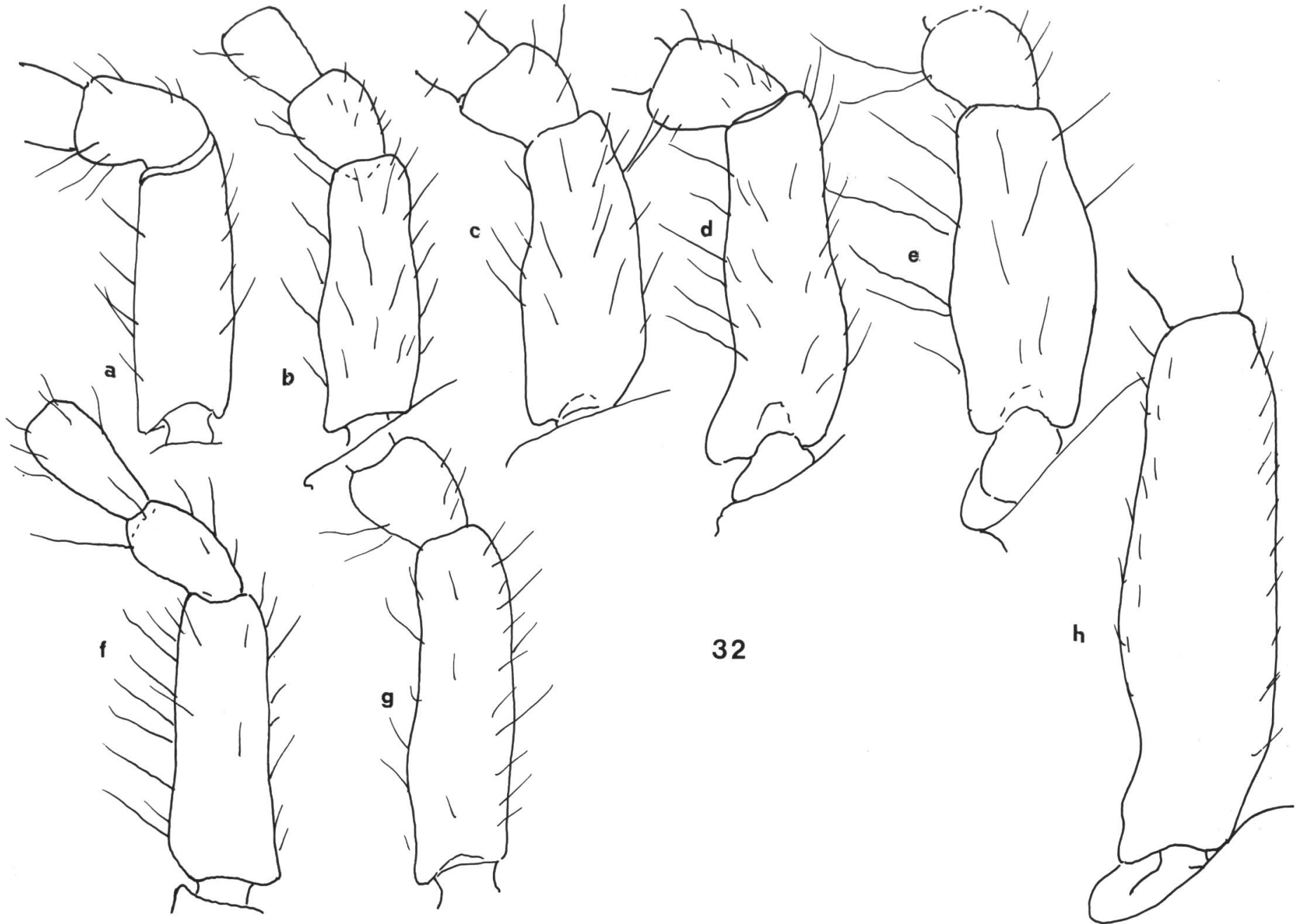




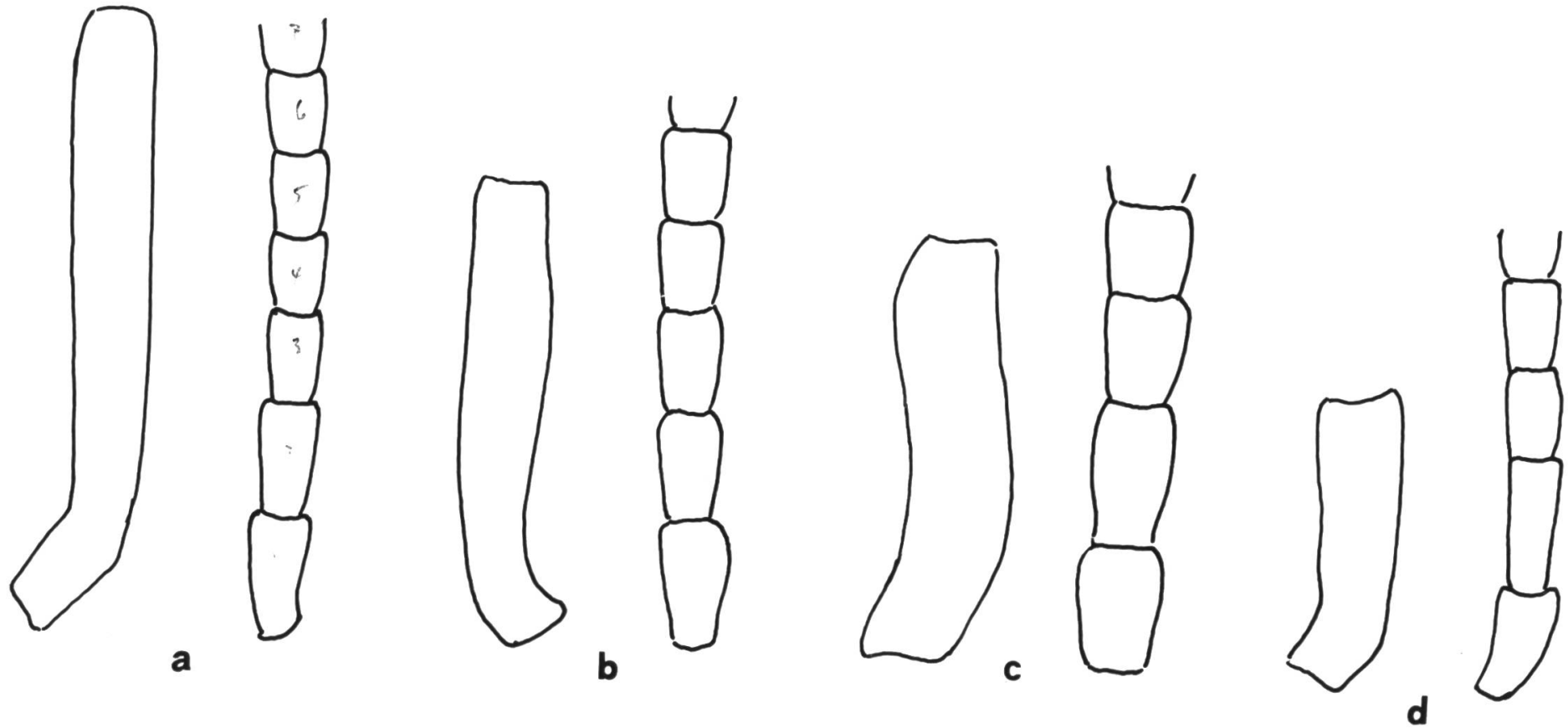


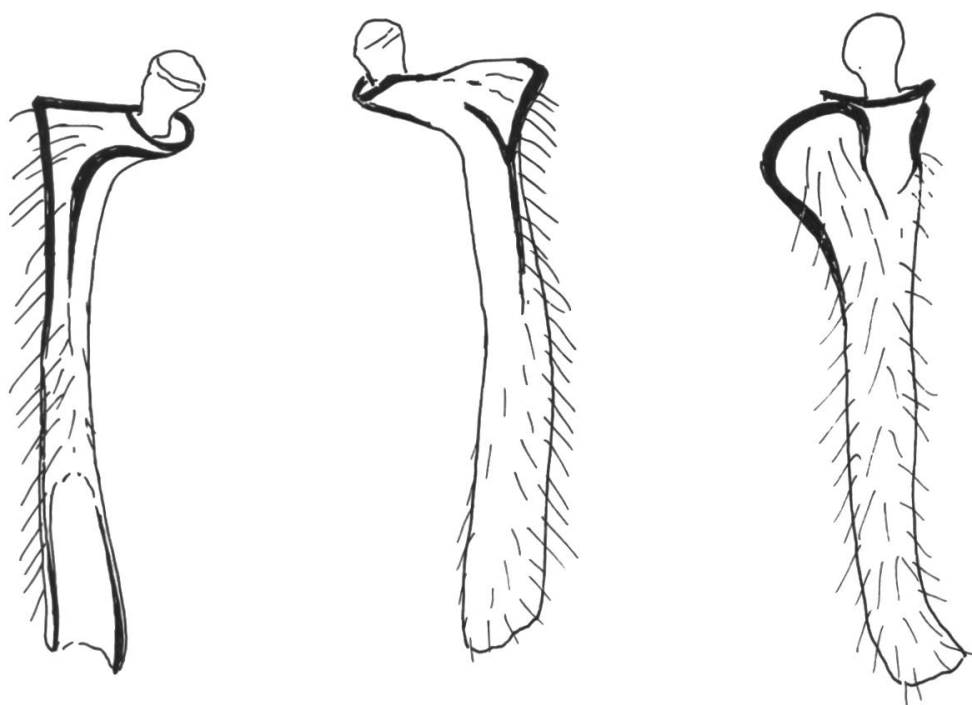




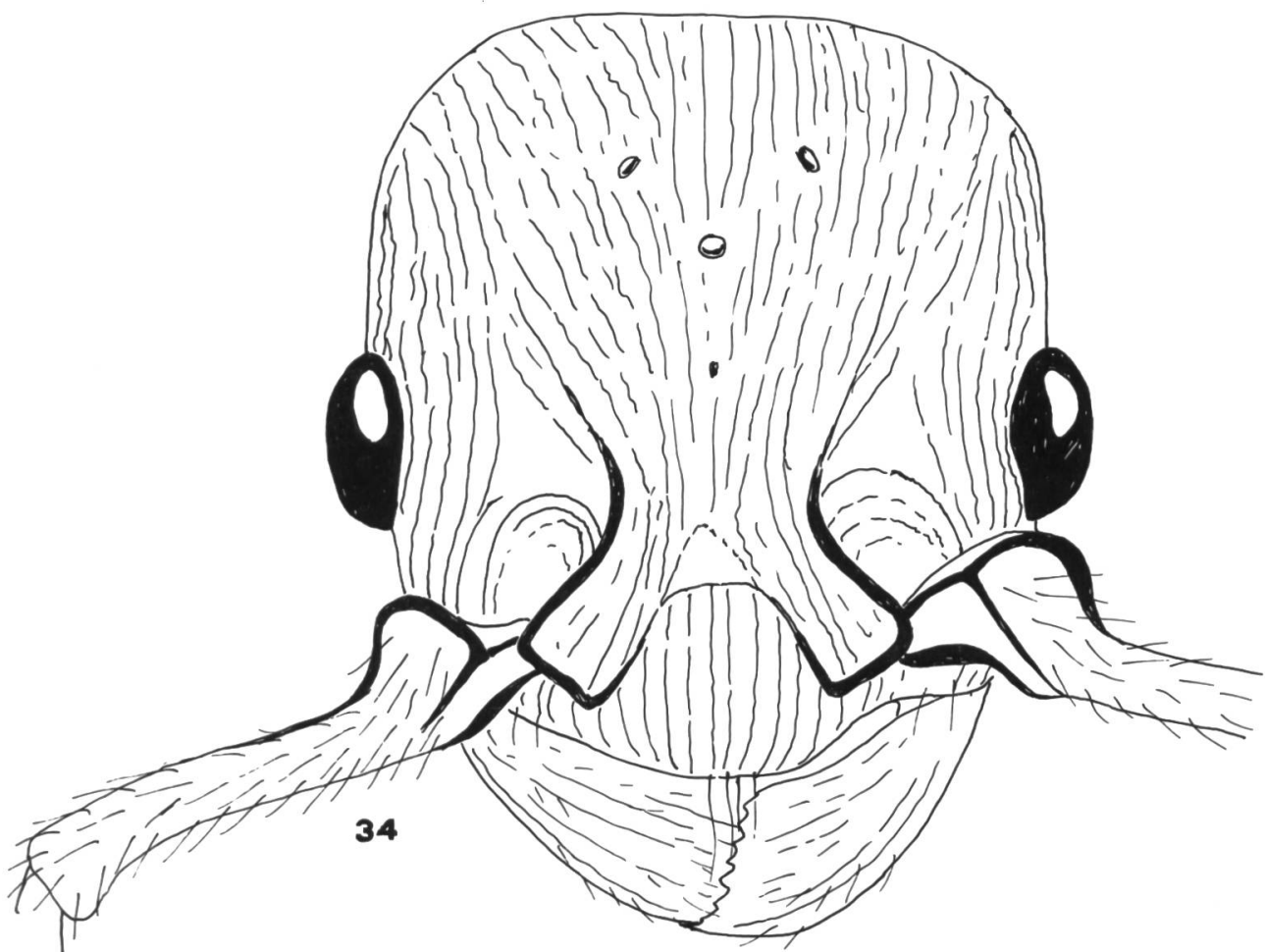


32

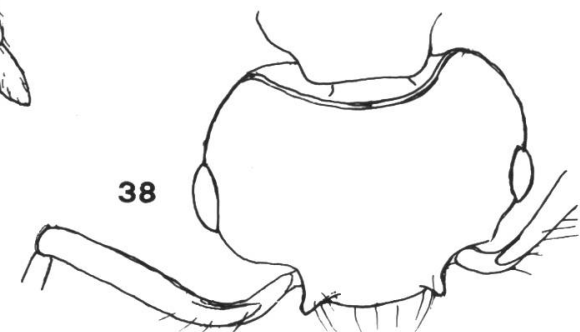
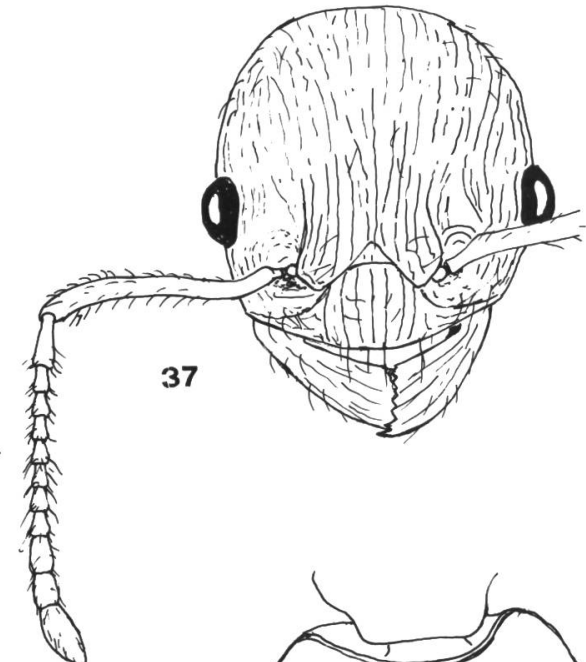
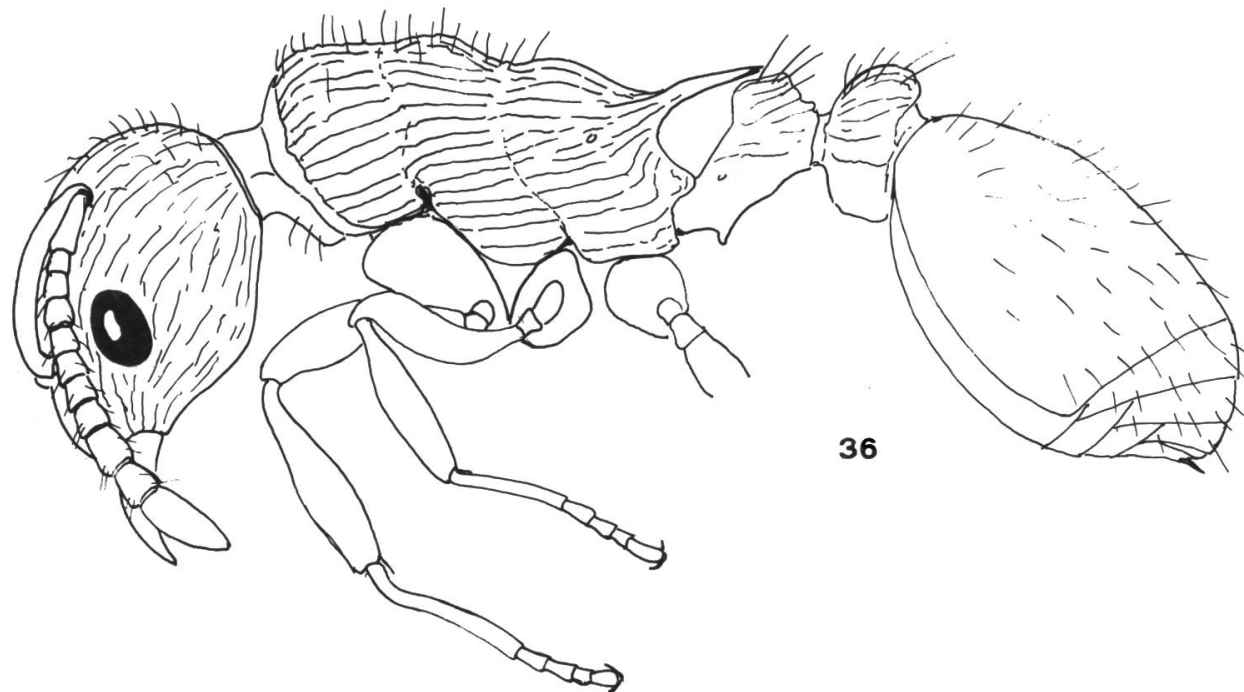


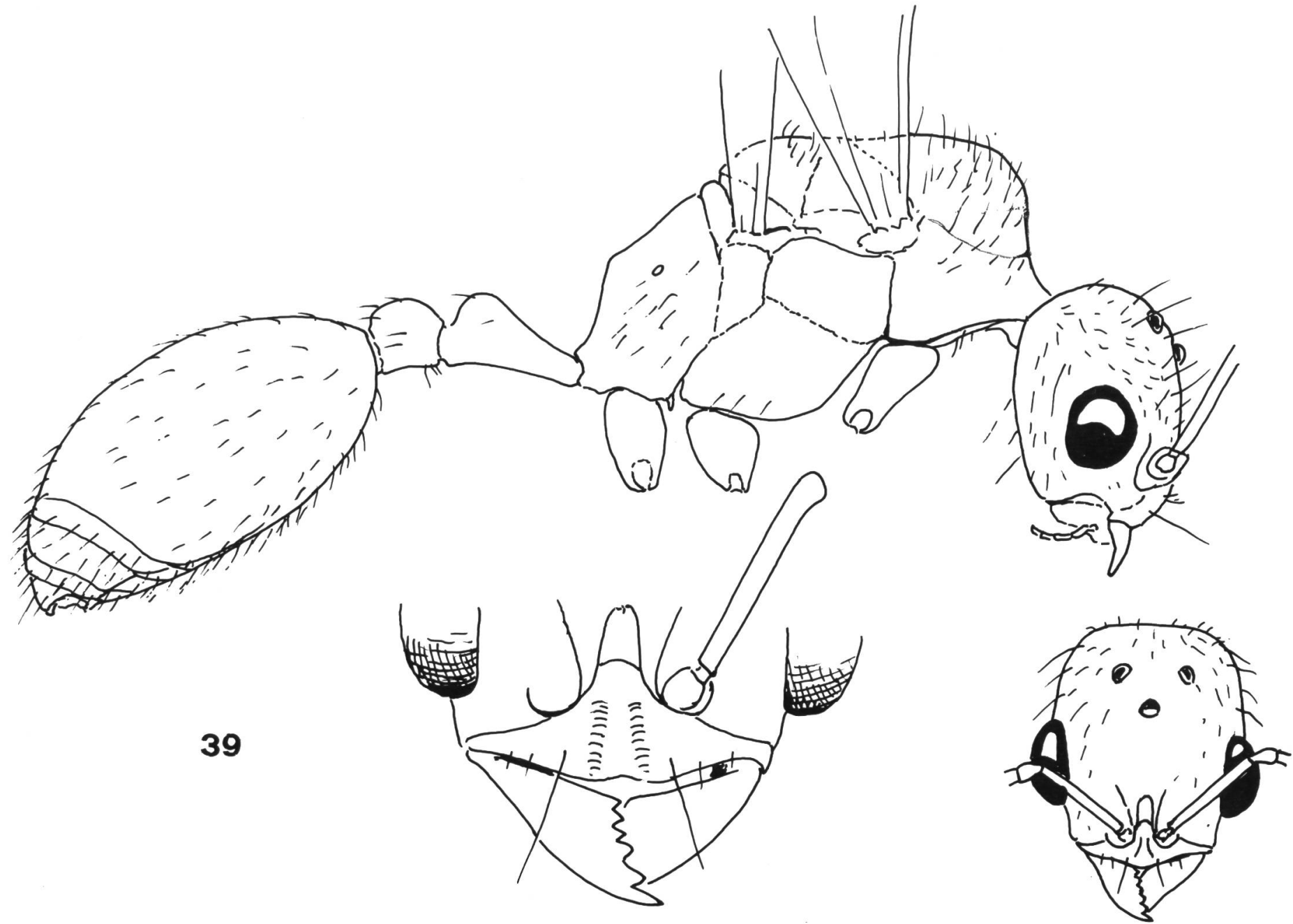


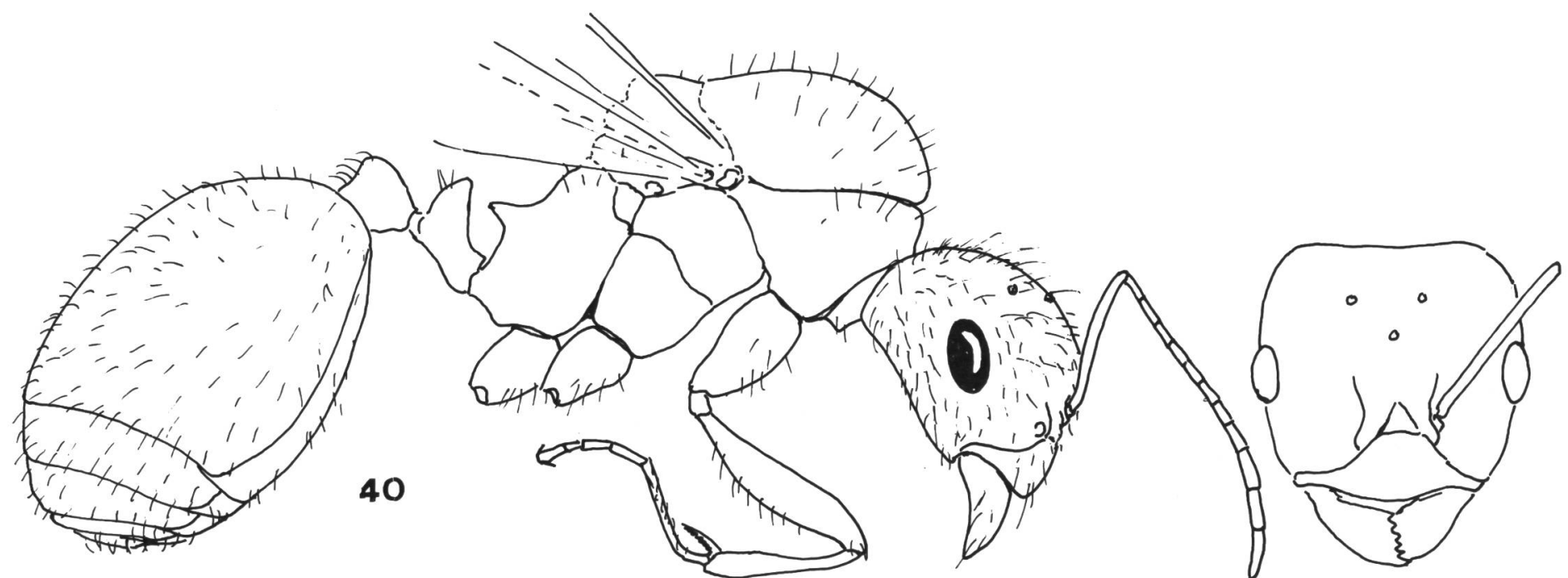
35



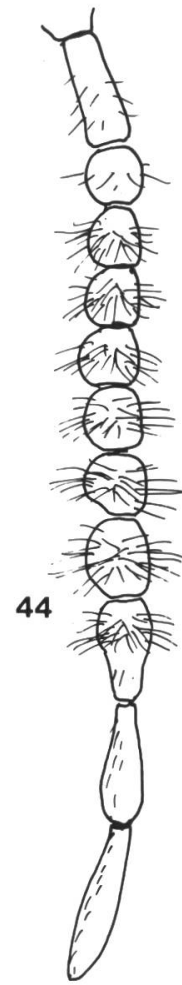
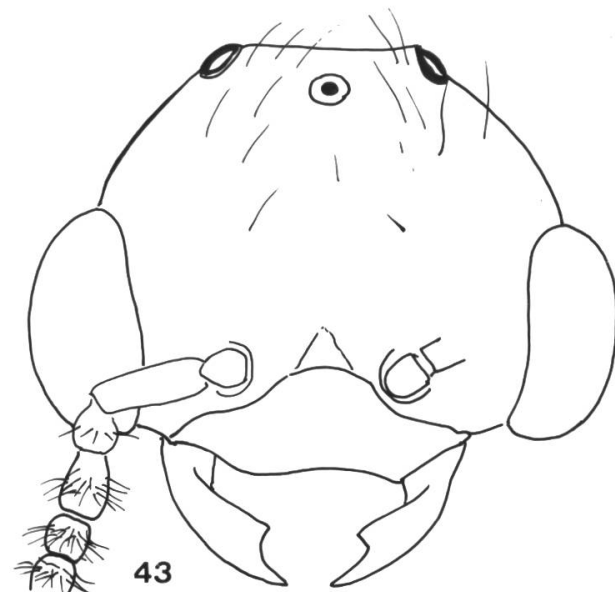
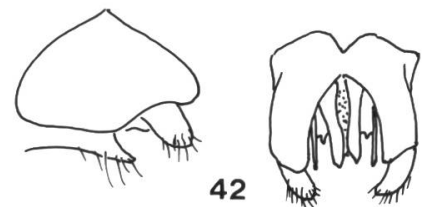
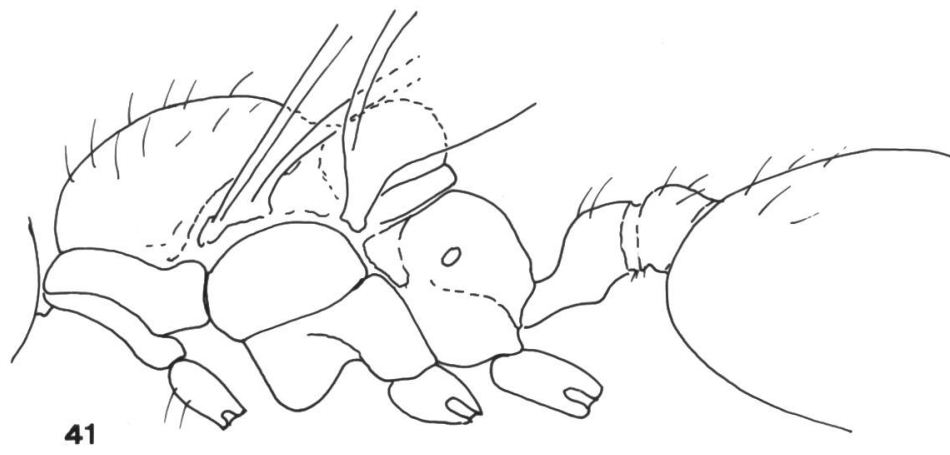
34

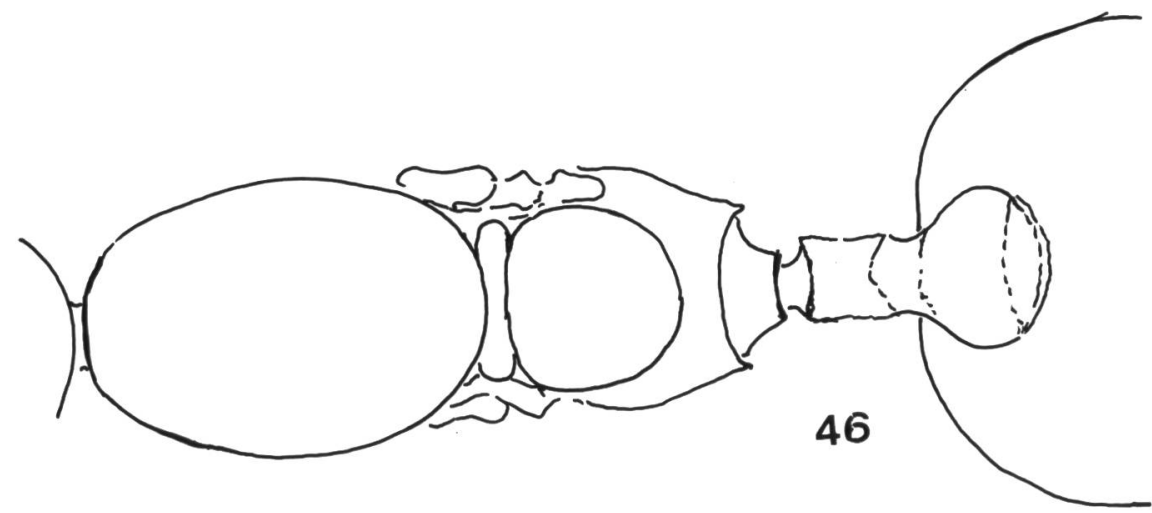
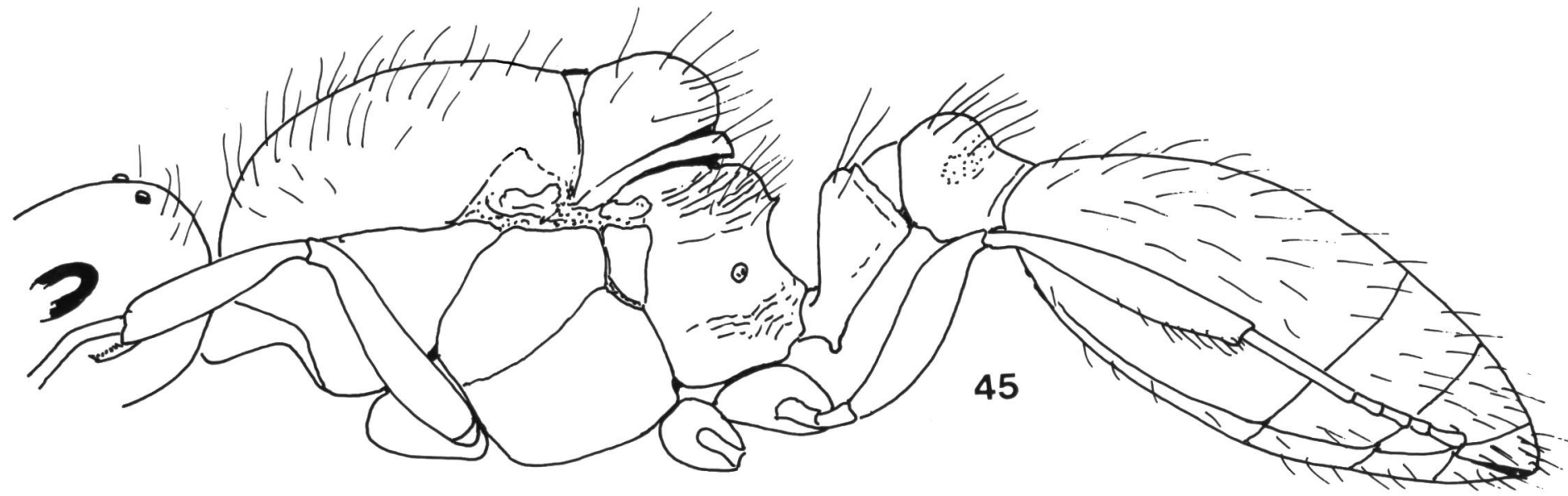


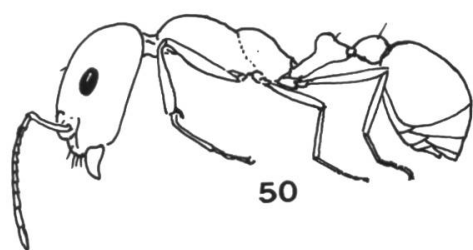
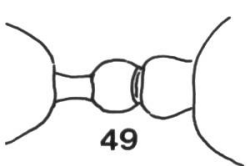
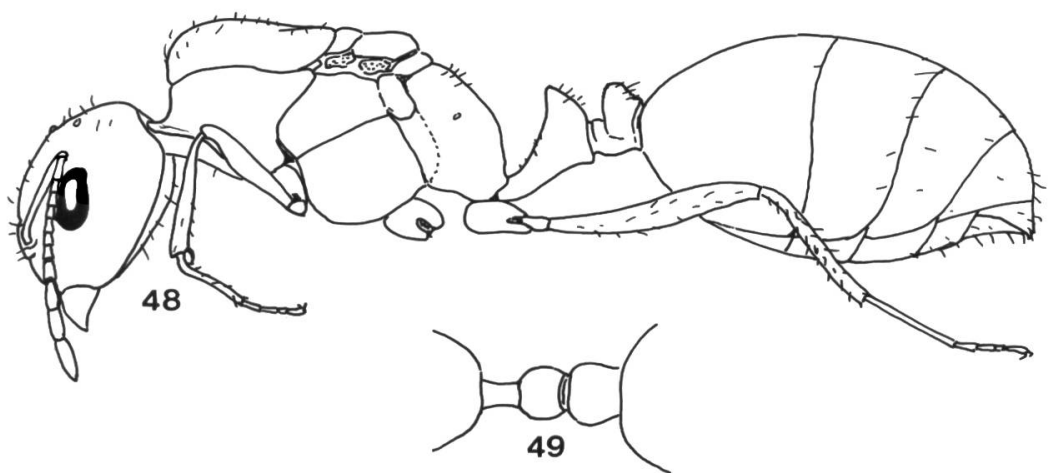
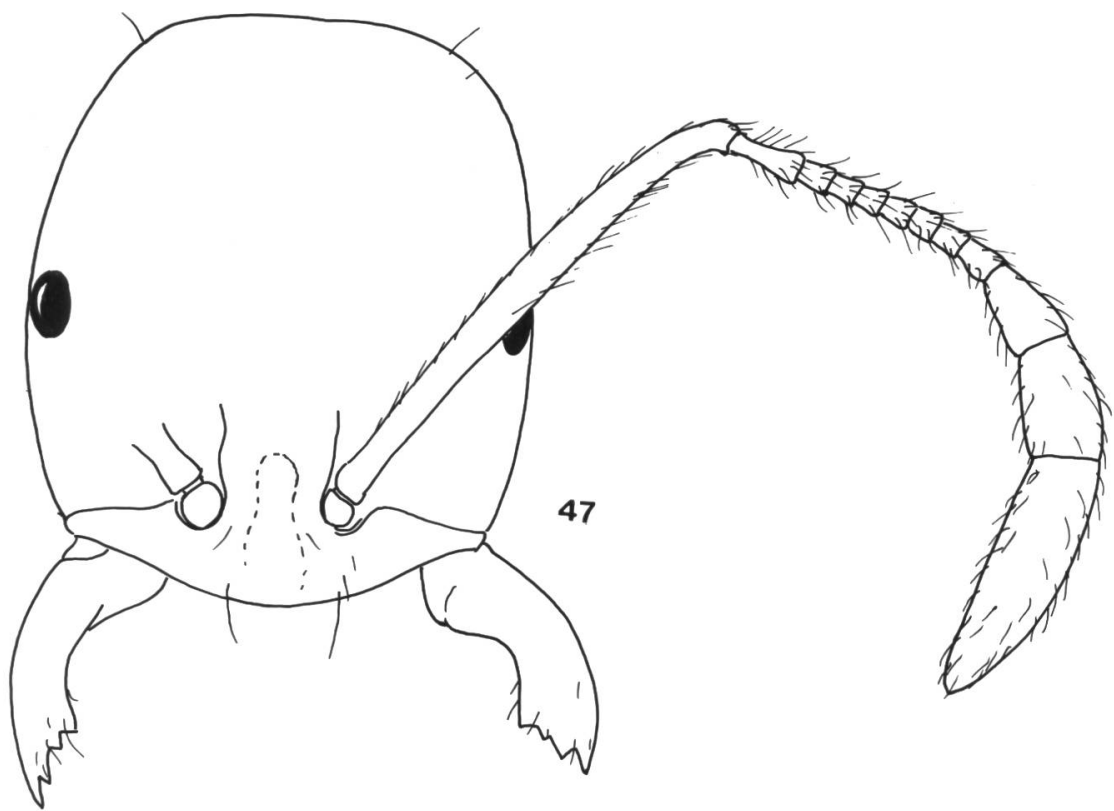


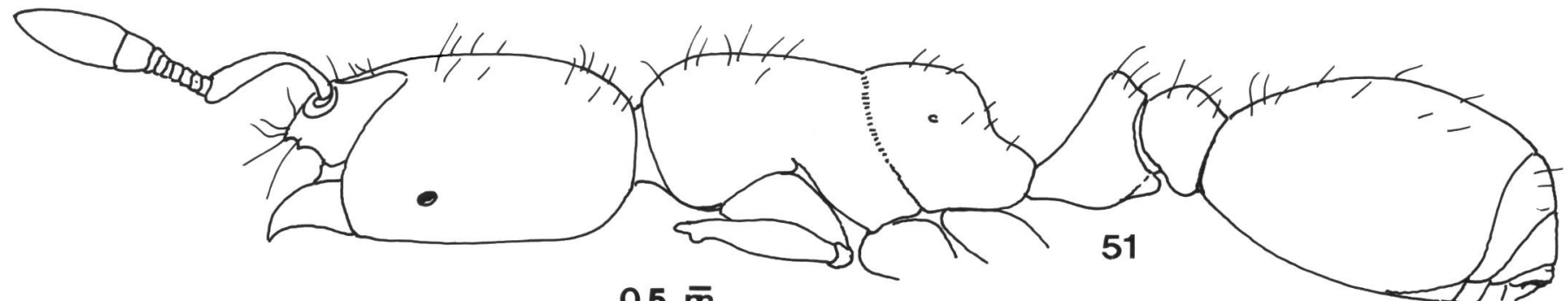


40



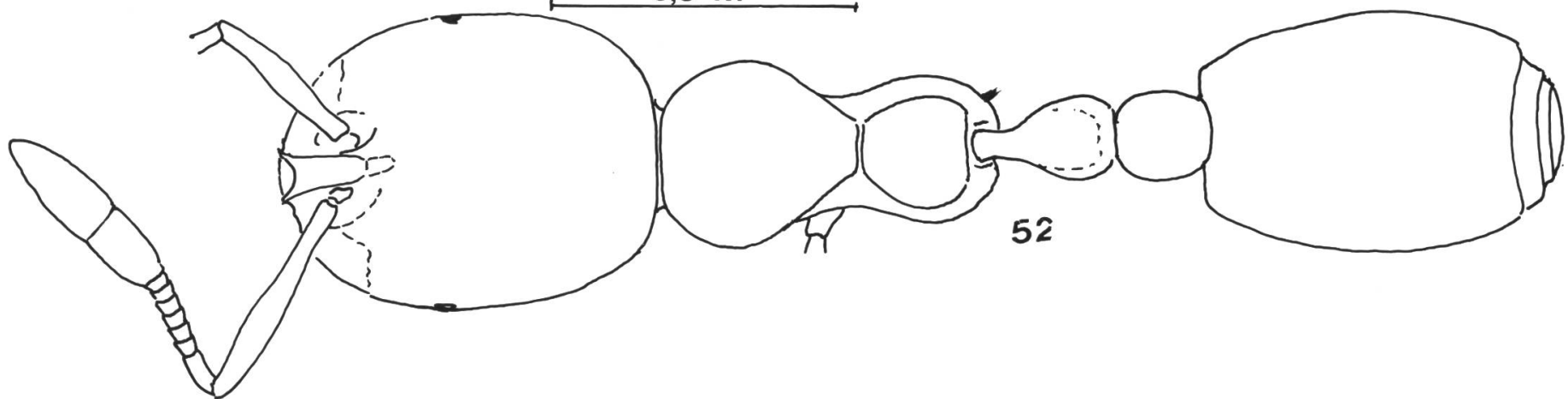




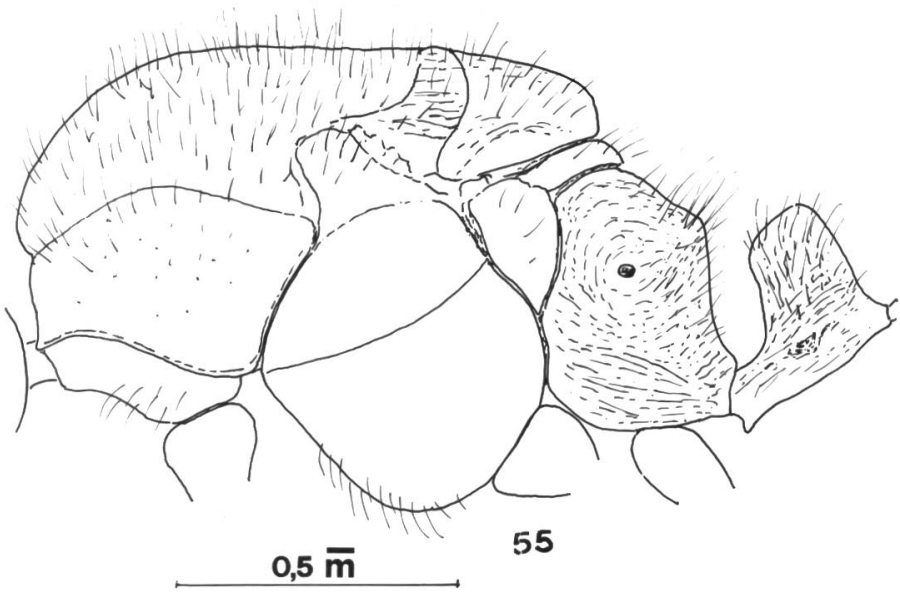
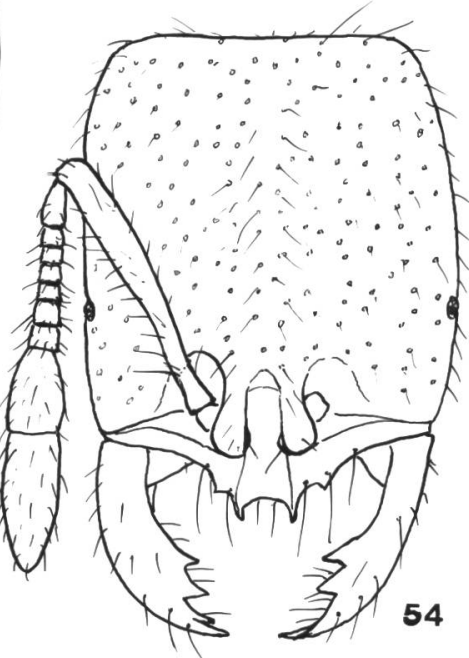
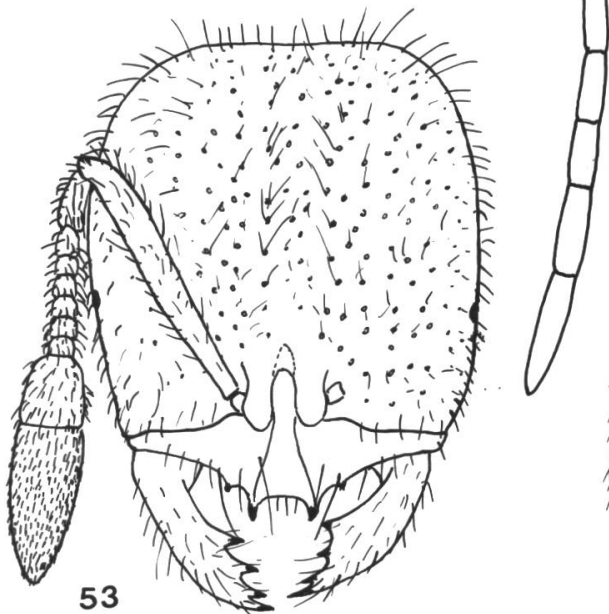
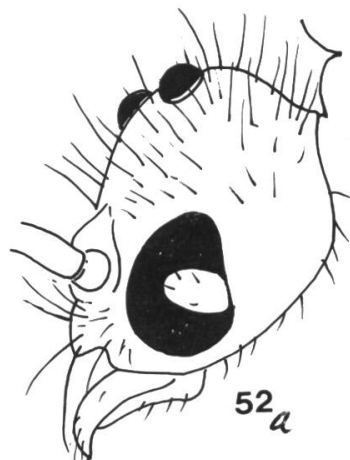
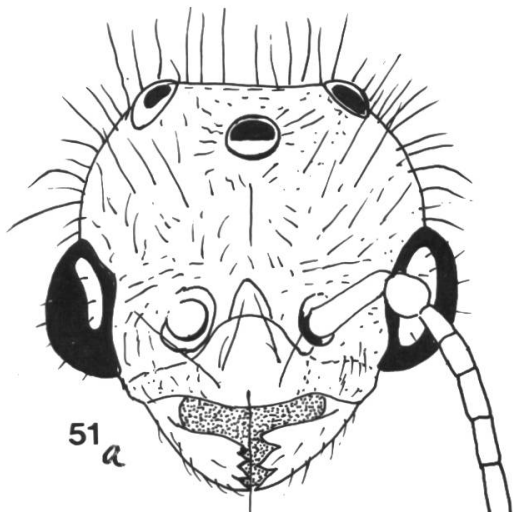


51

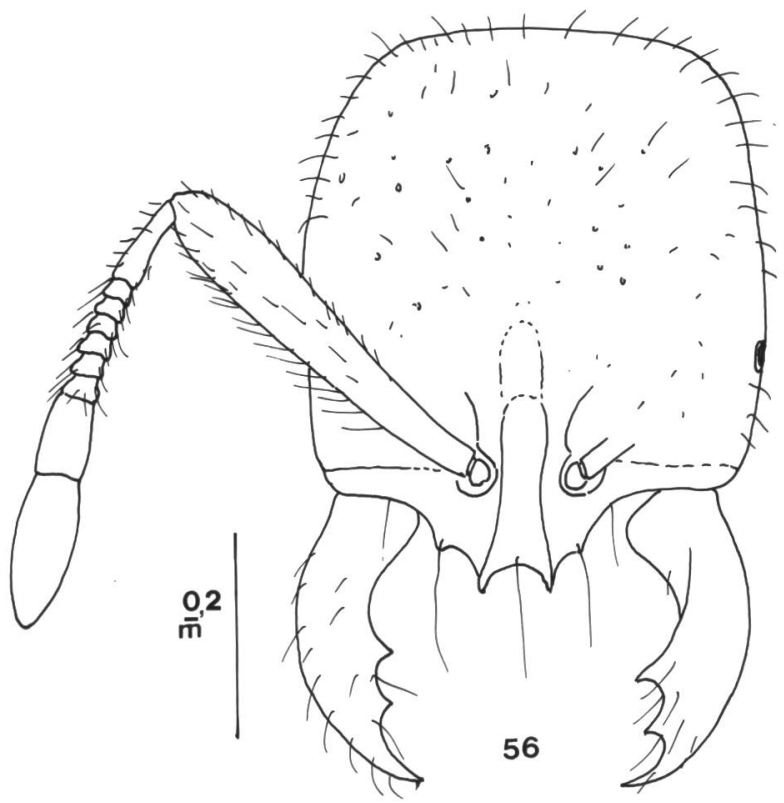
0,5 m



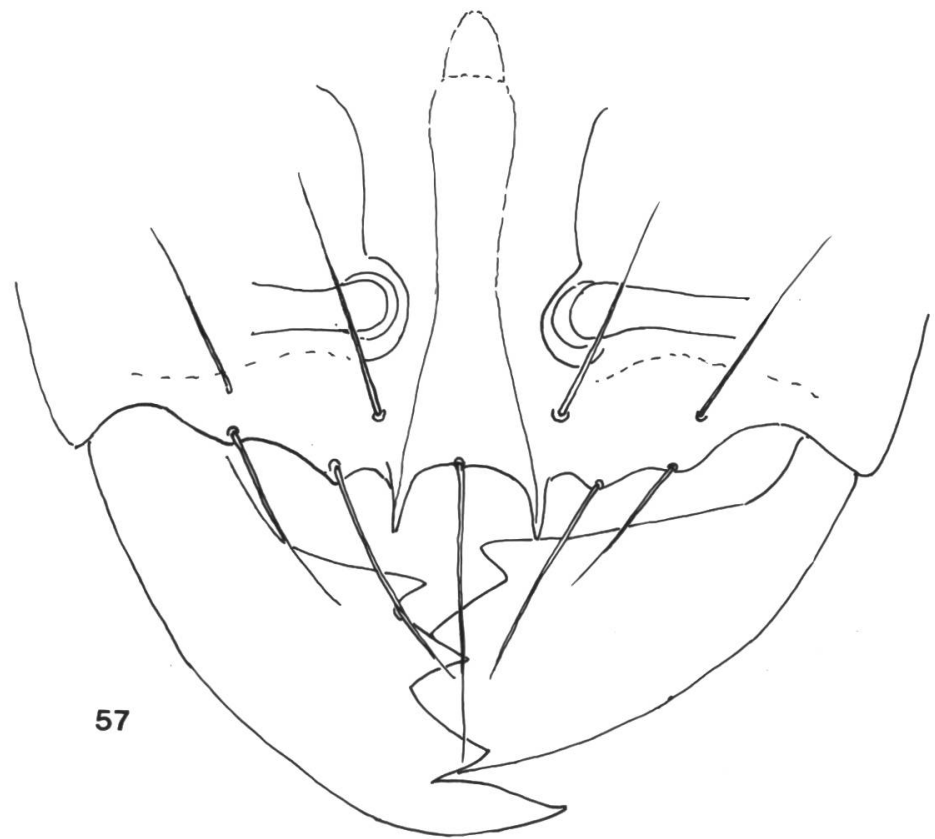
52



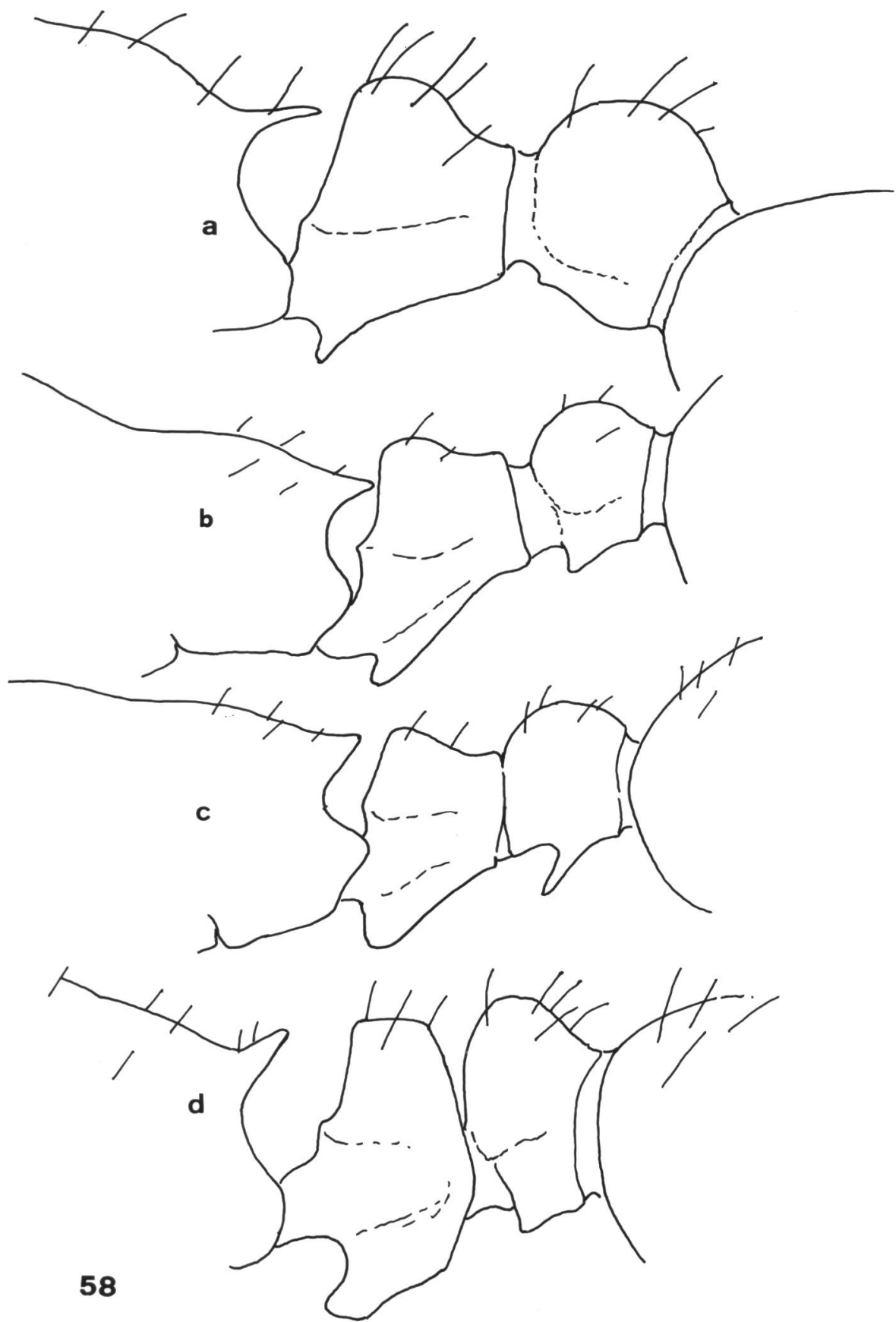
0,5 \overline{m}



56



57



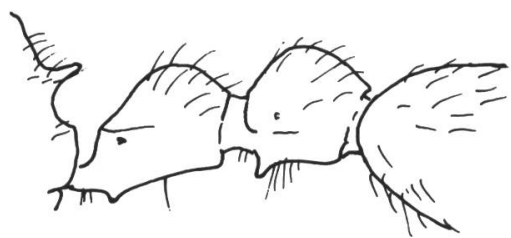
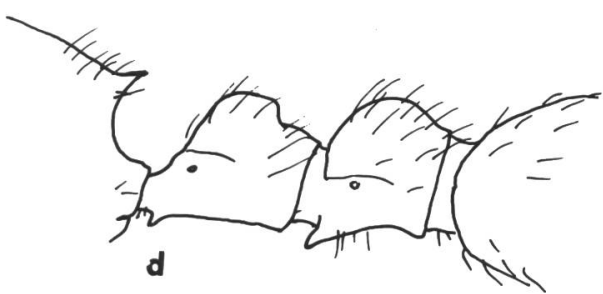
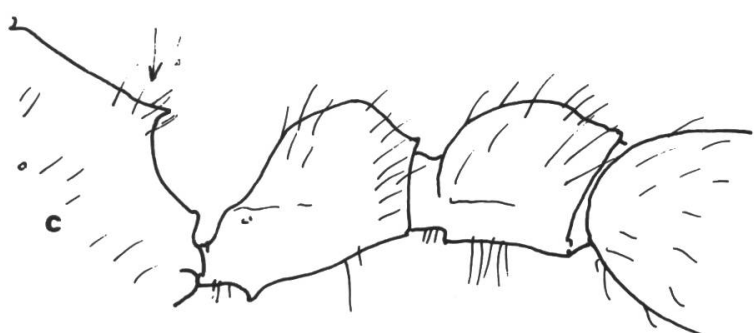
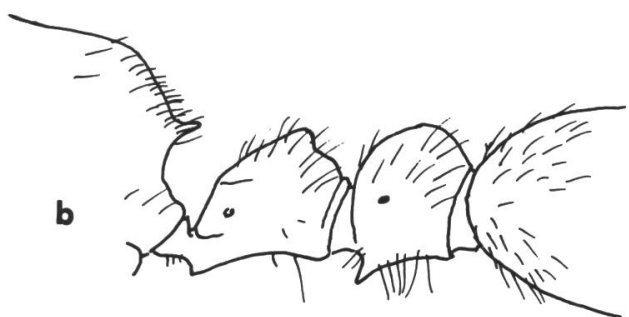
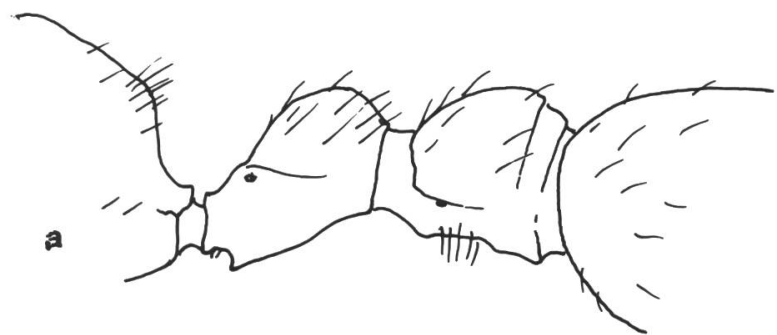
58

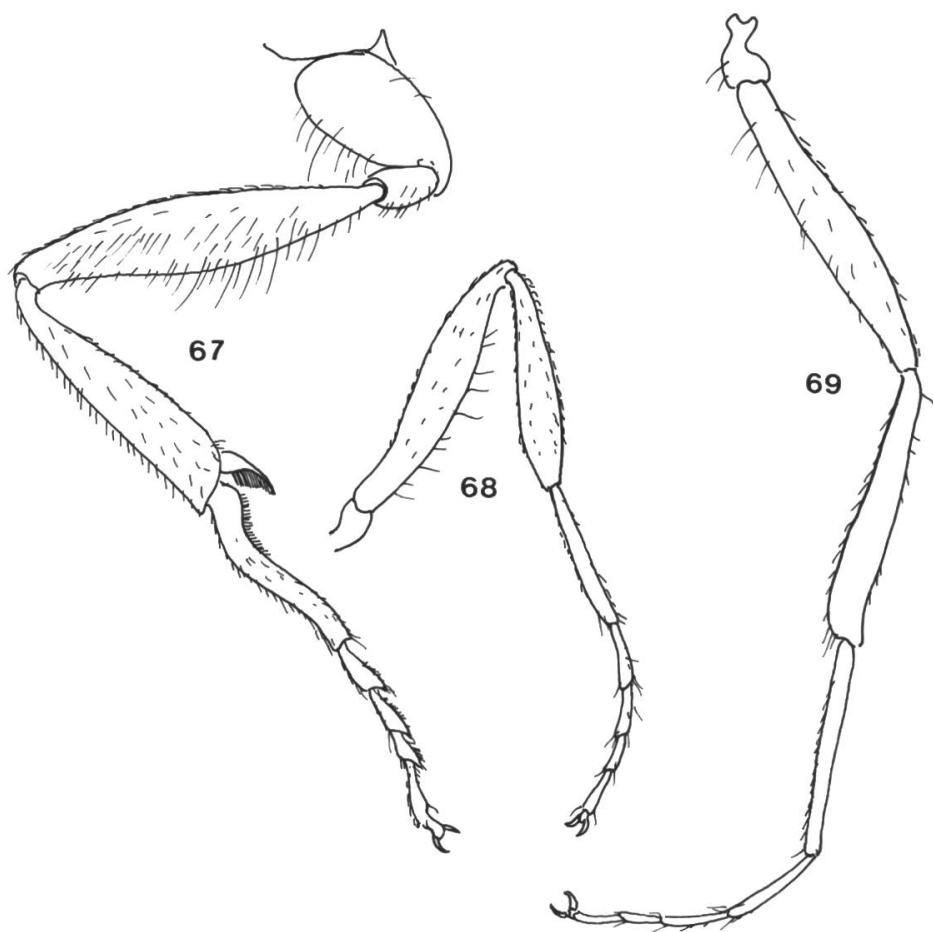
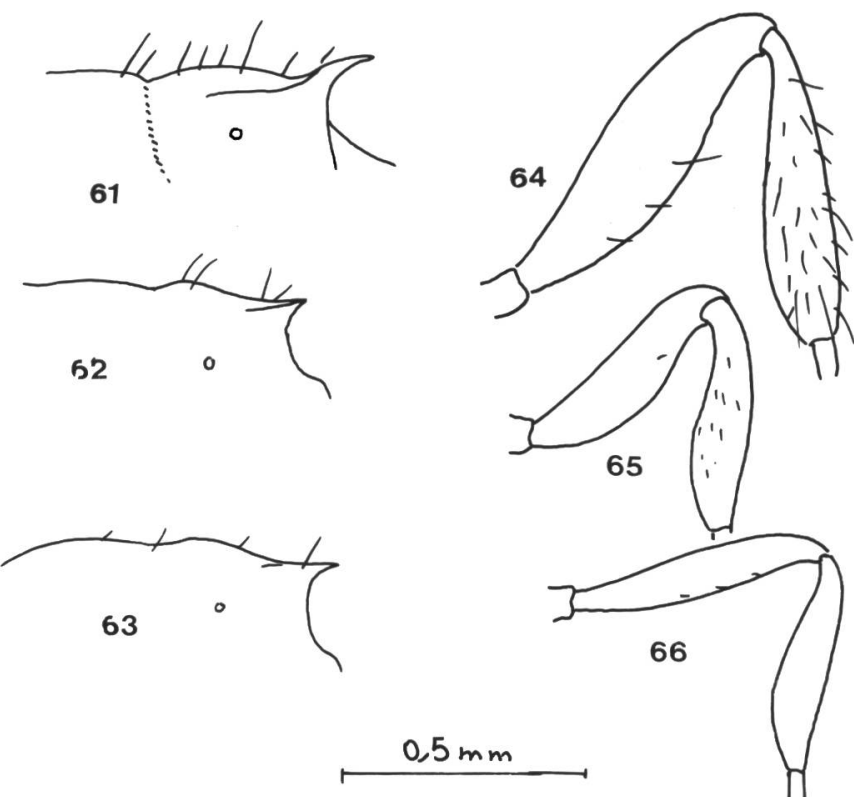
0,5 \bar{m}

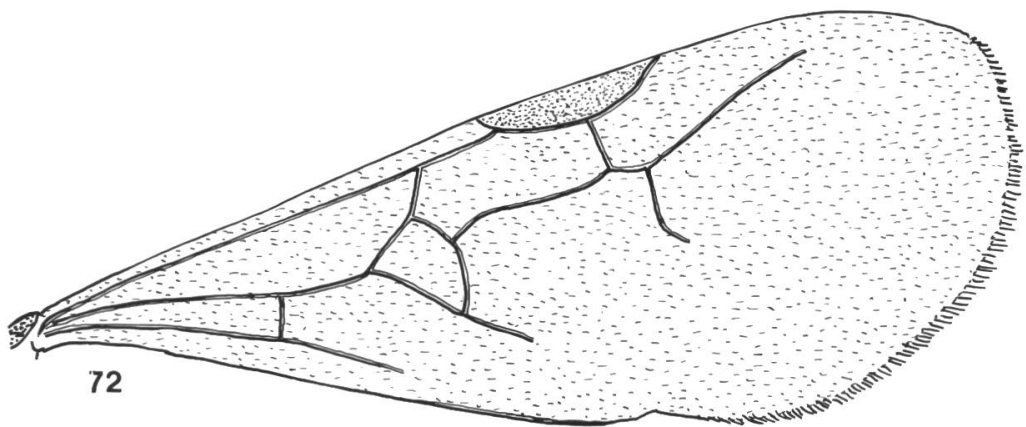
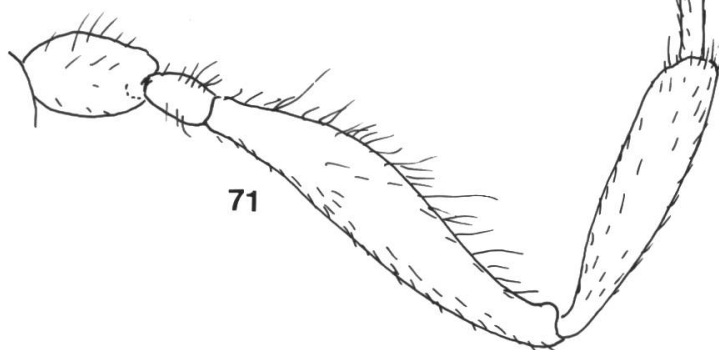
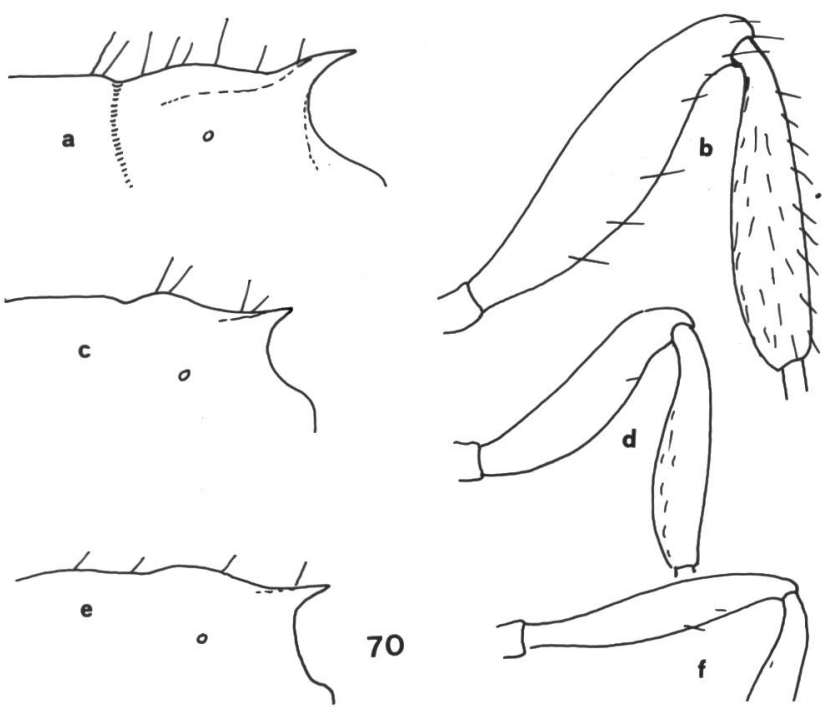


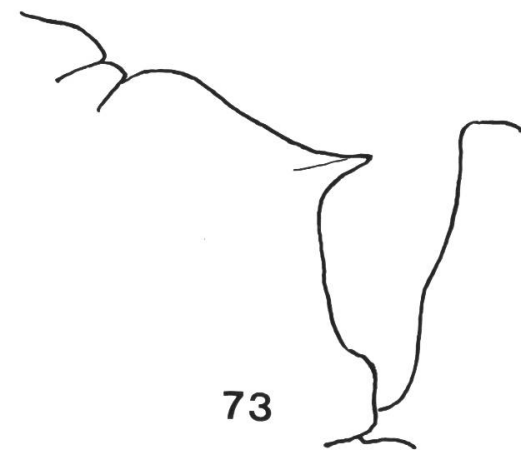
59

0,5 m

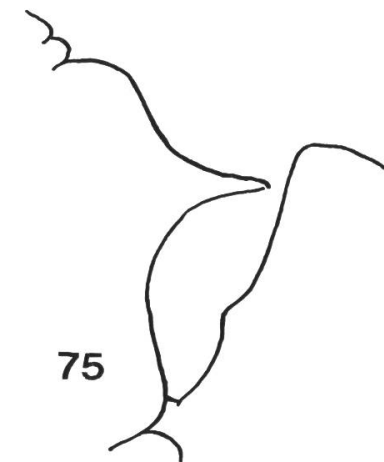




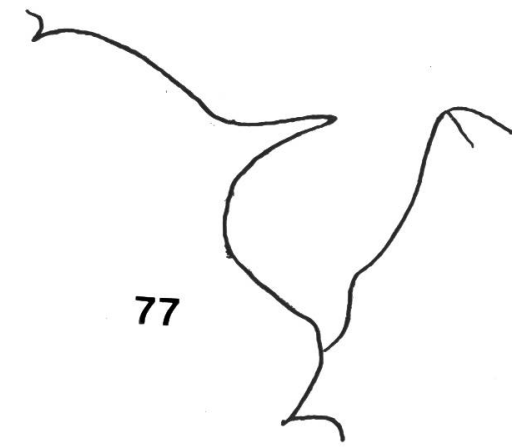




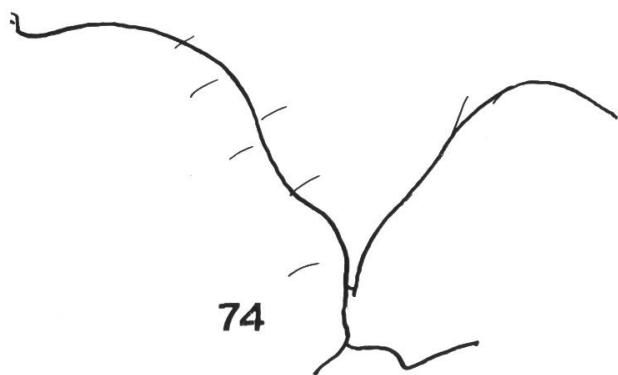
73



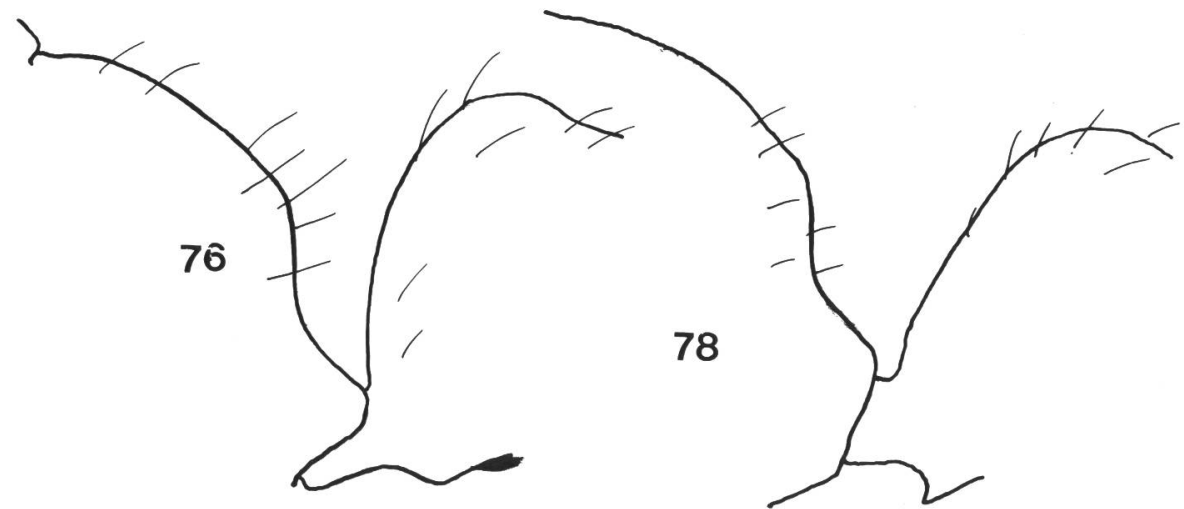
75



77



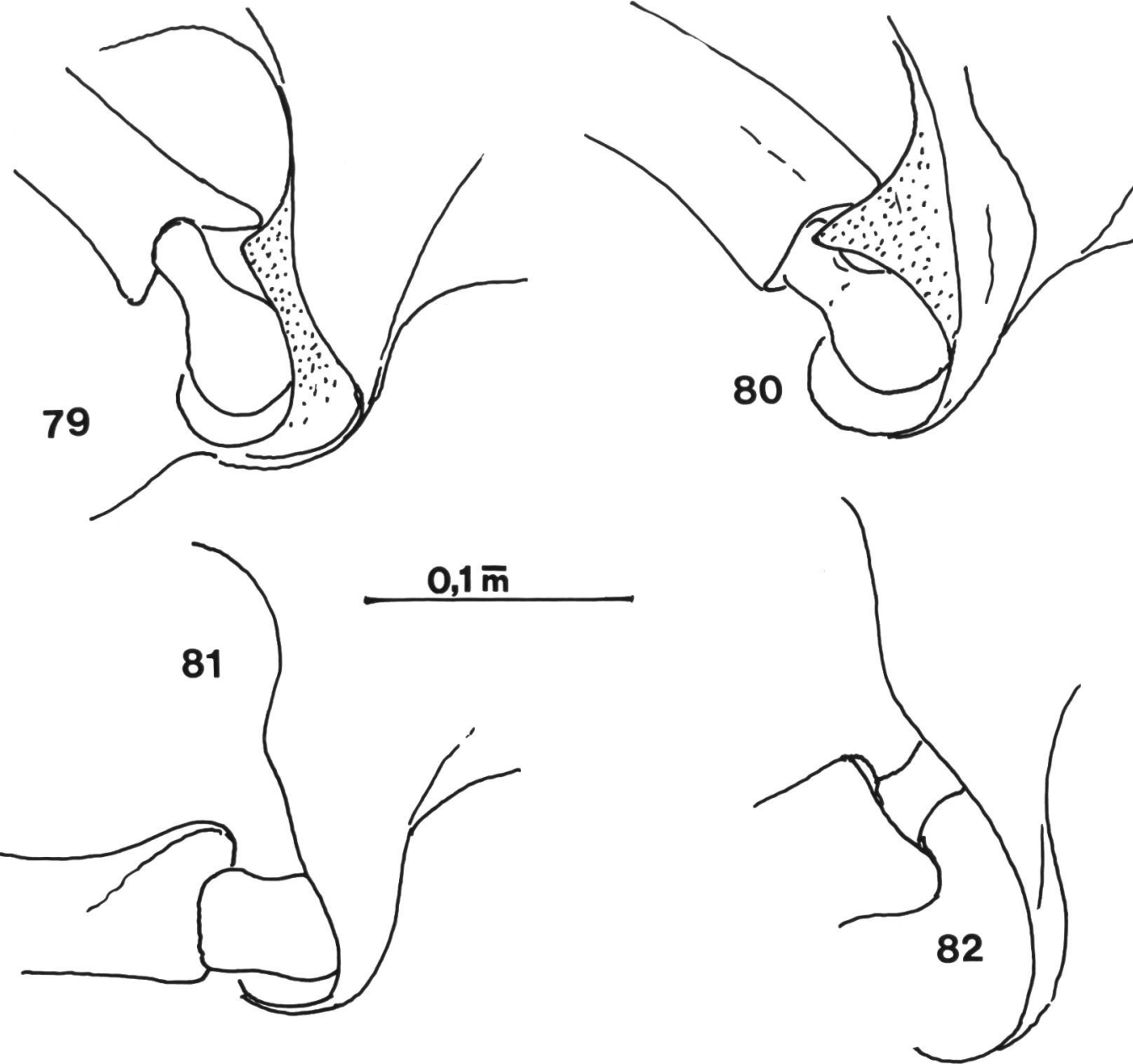
74

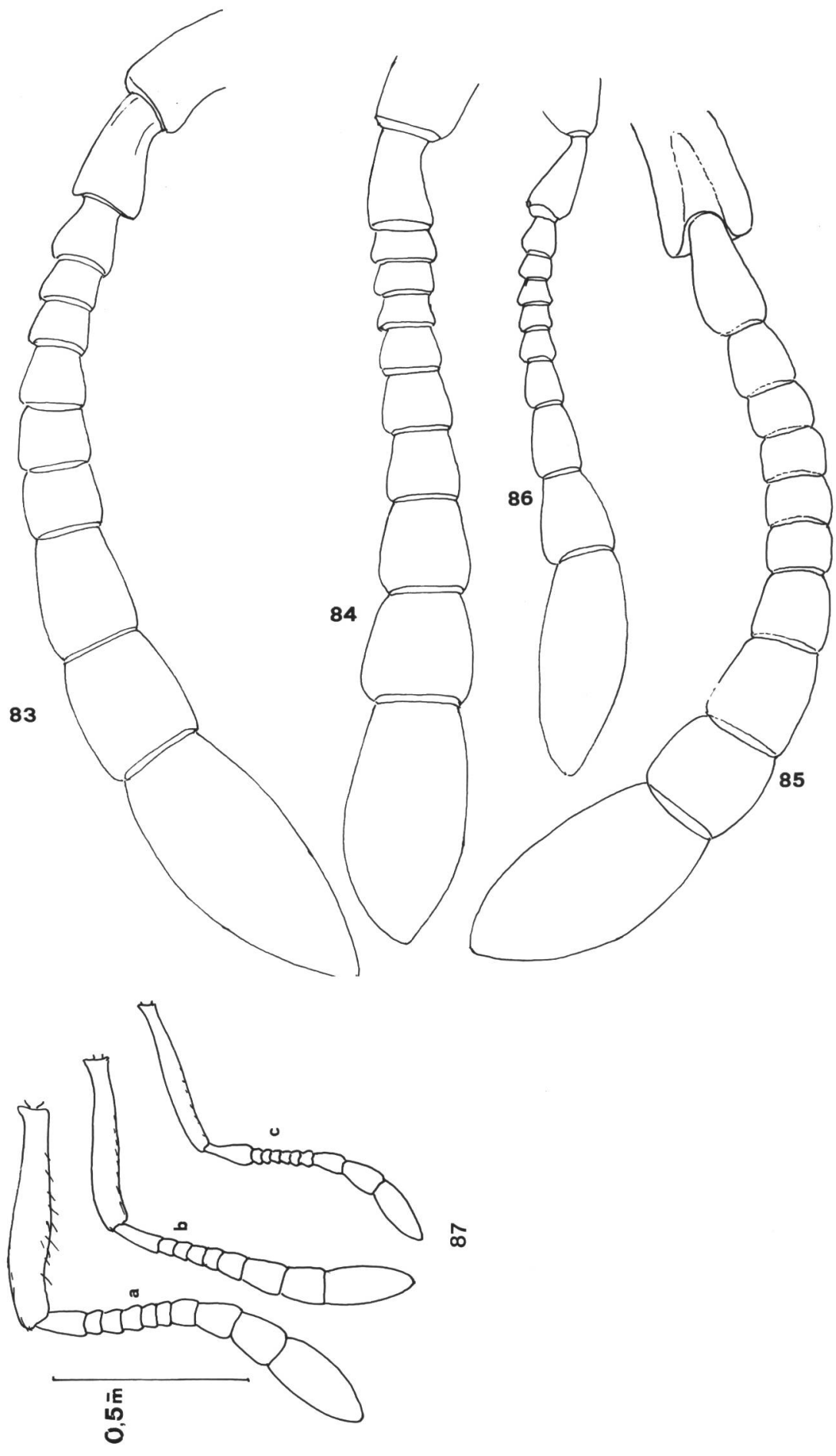


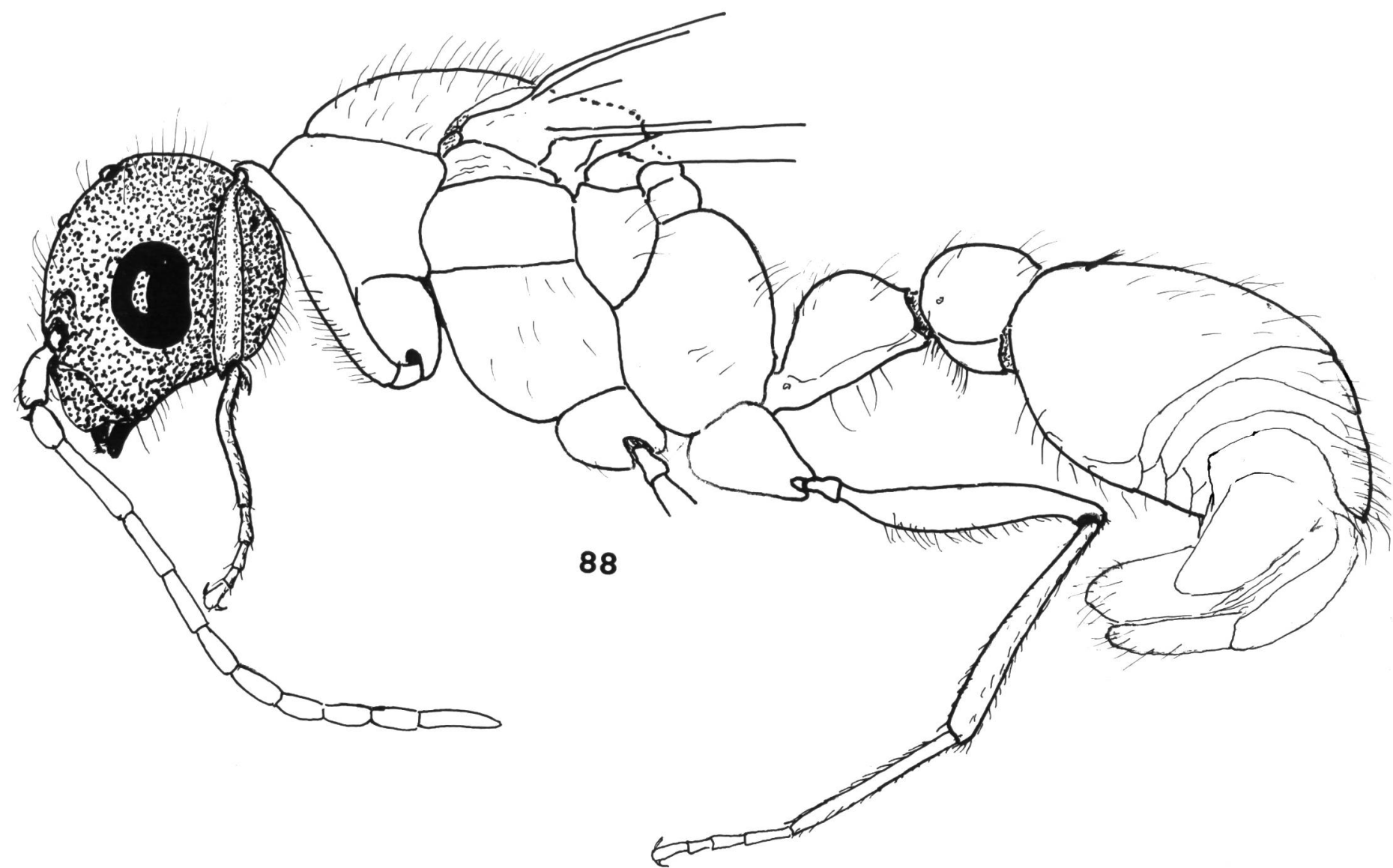
76

78

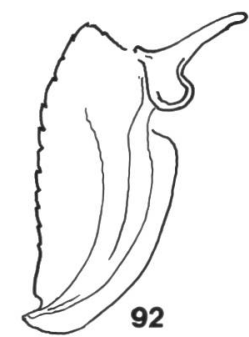
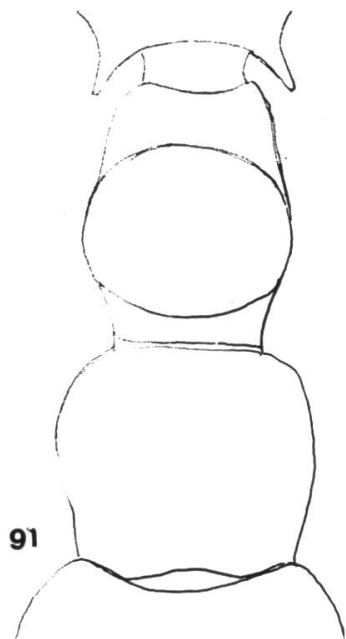
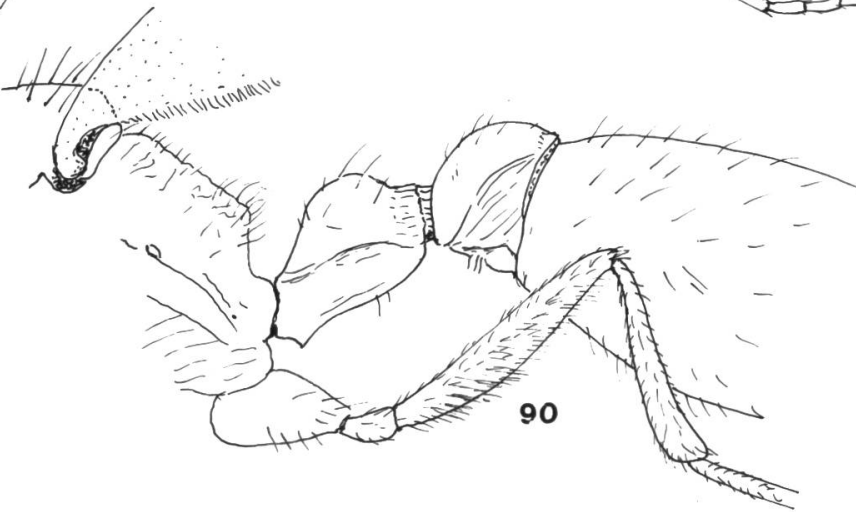
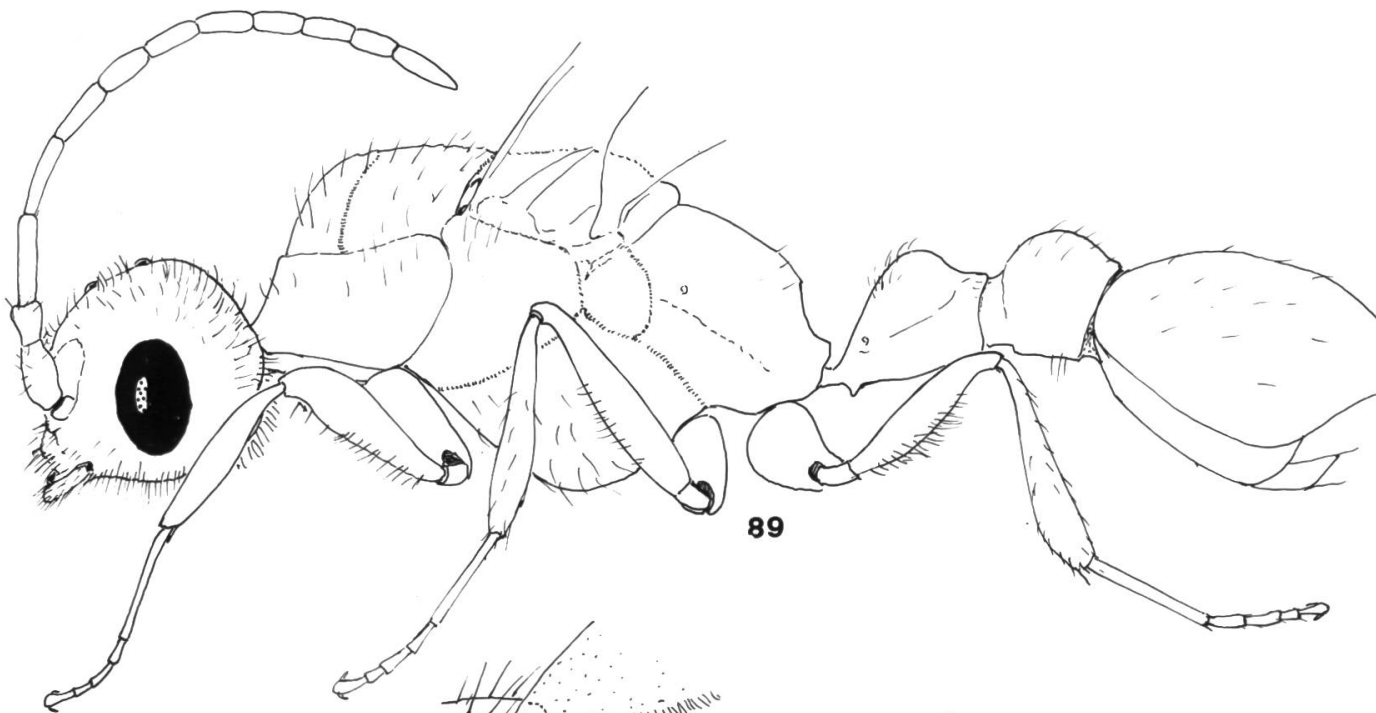


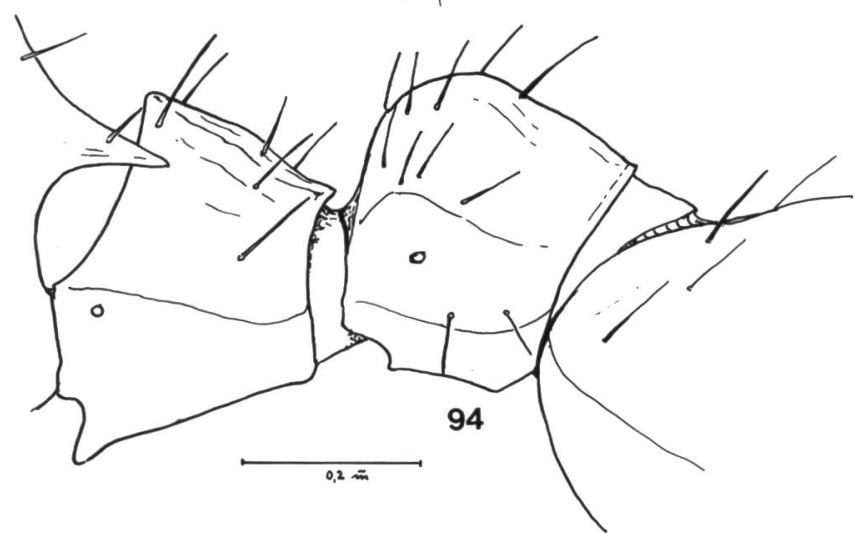
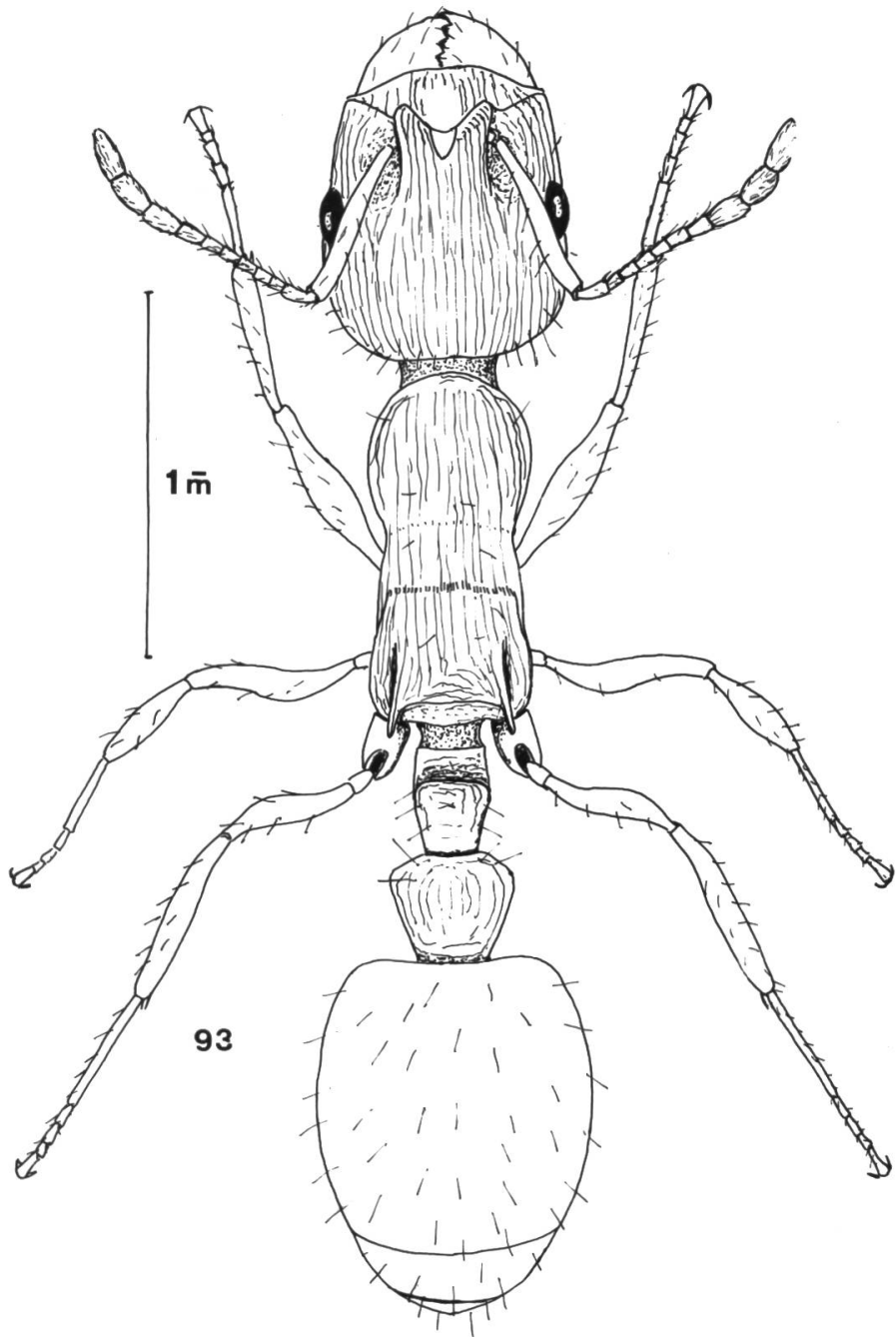


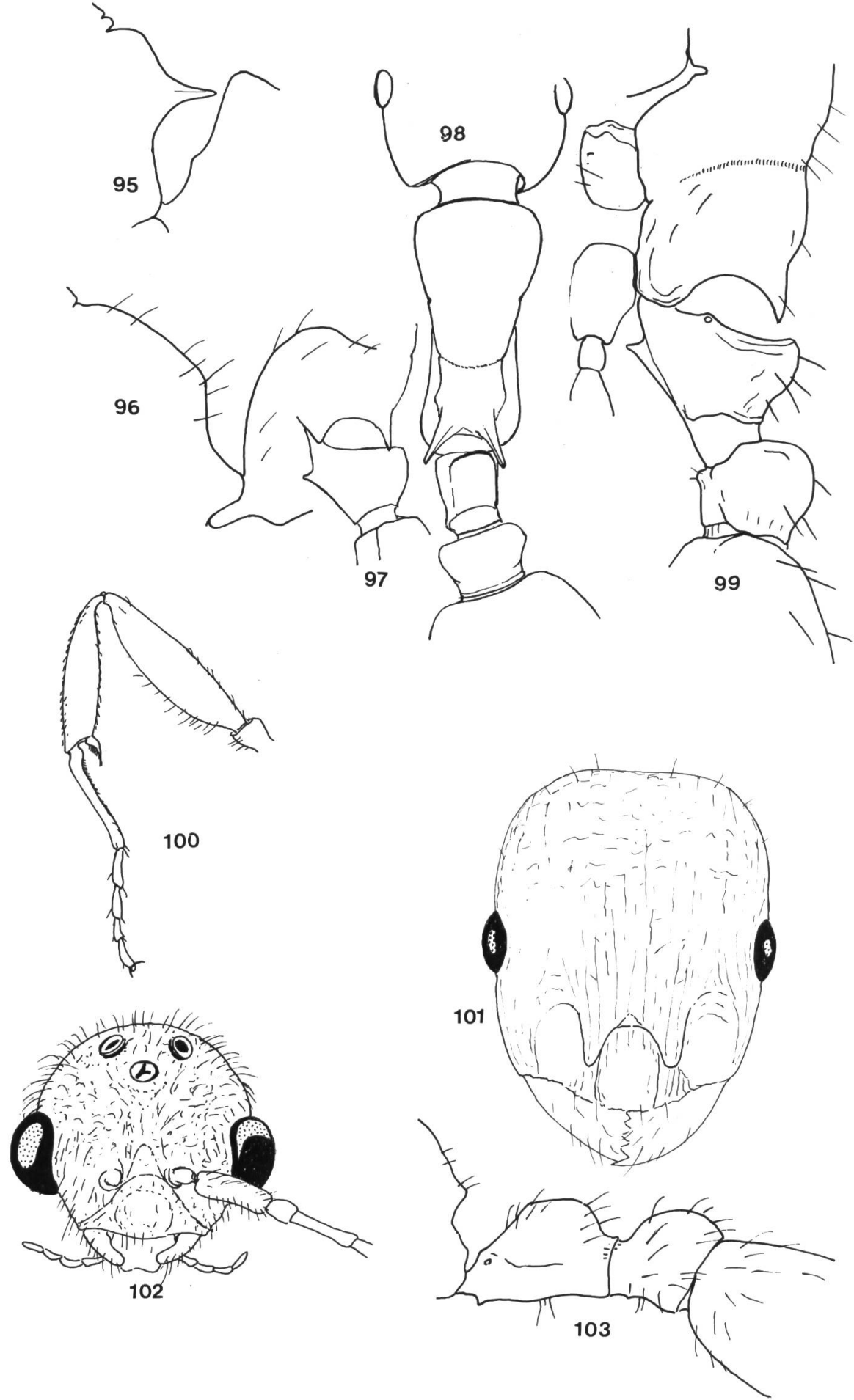


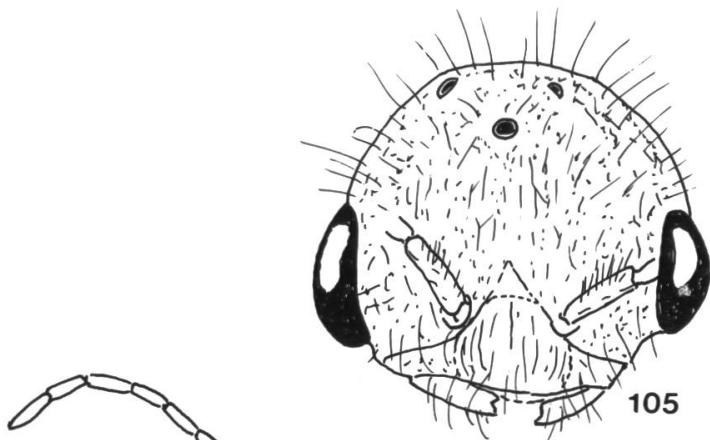


88

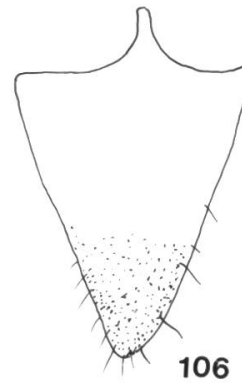




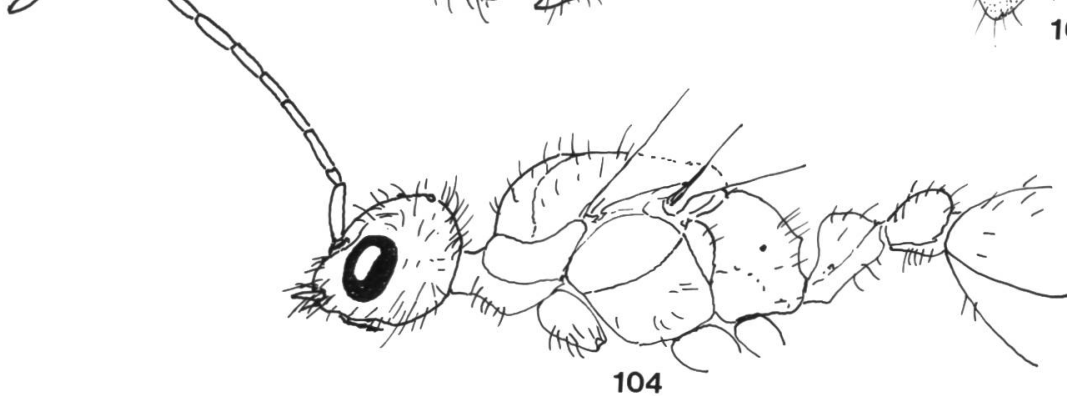




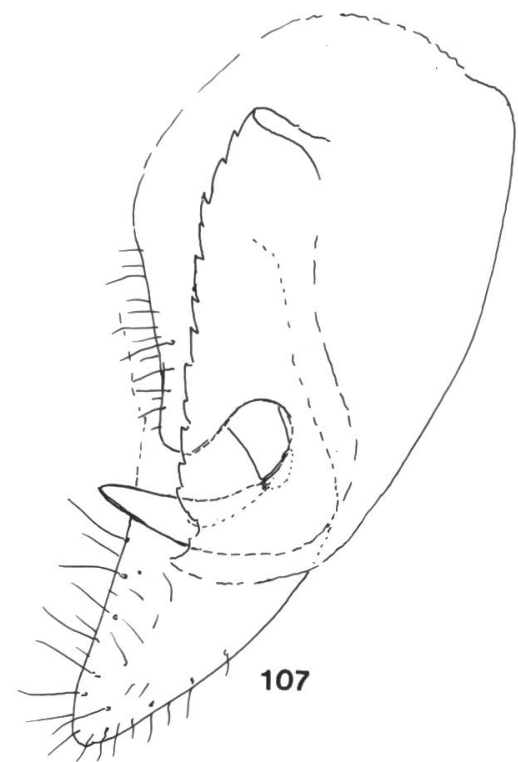
105



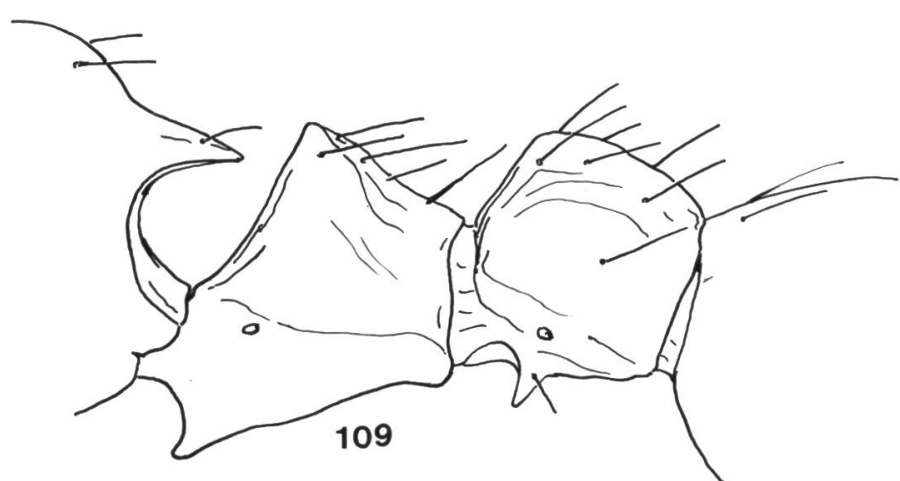
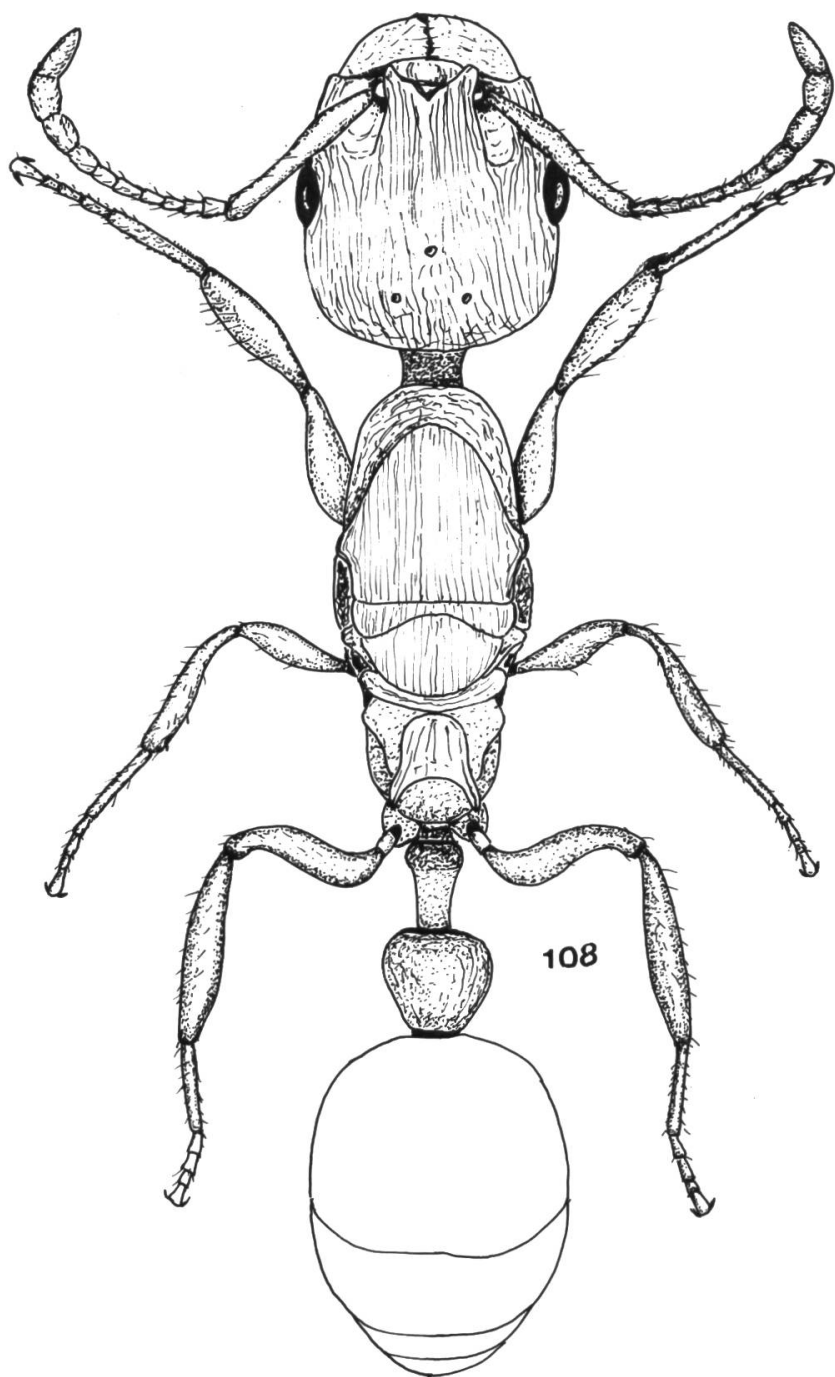
106

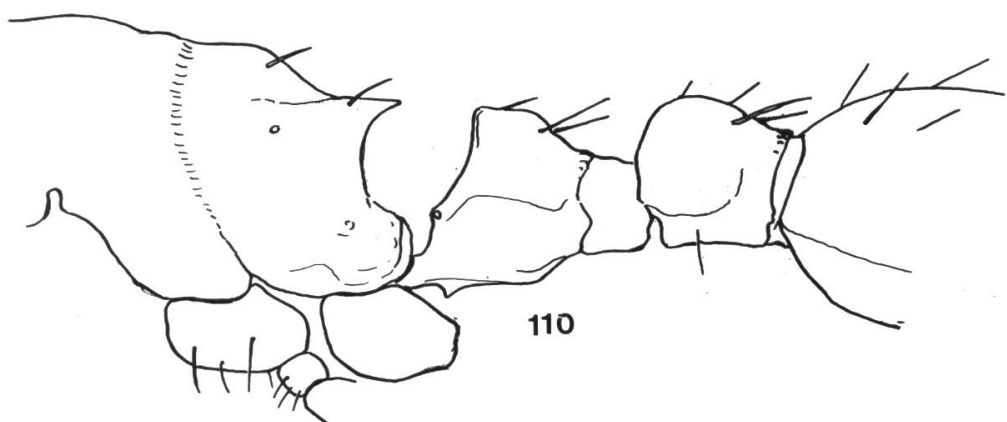


104



107

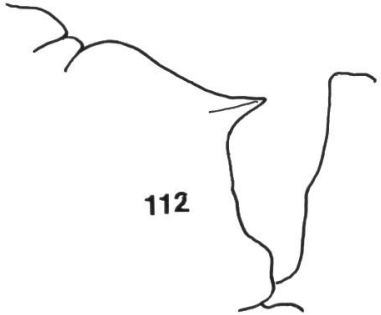




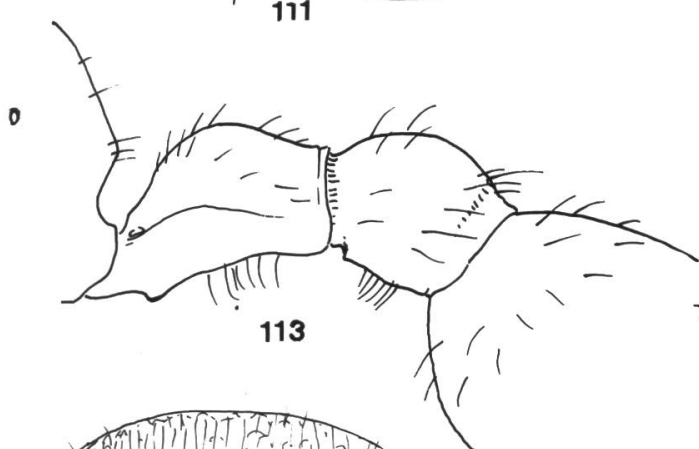
110



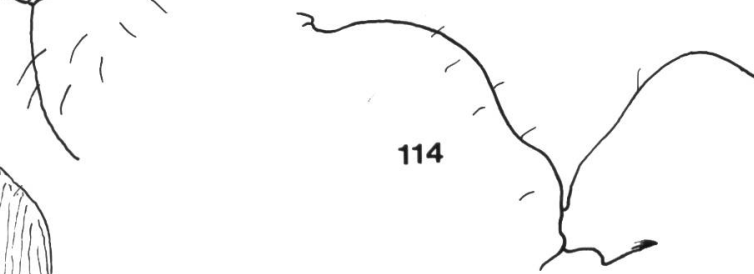
111



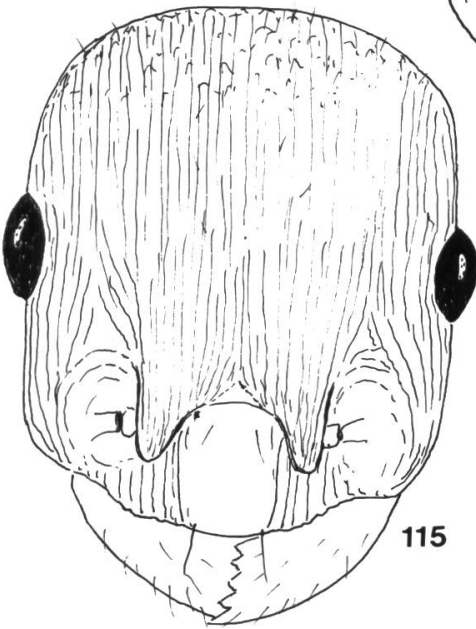
112



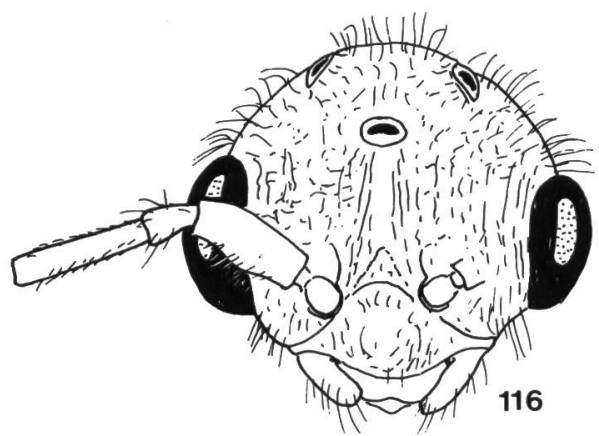
113



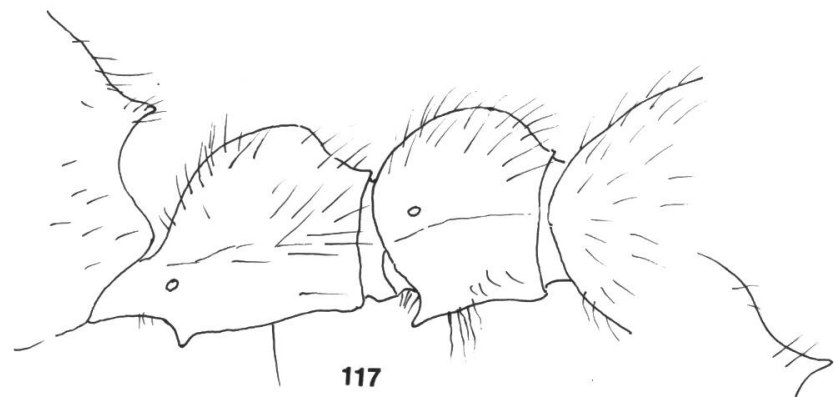
114



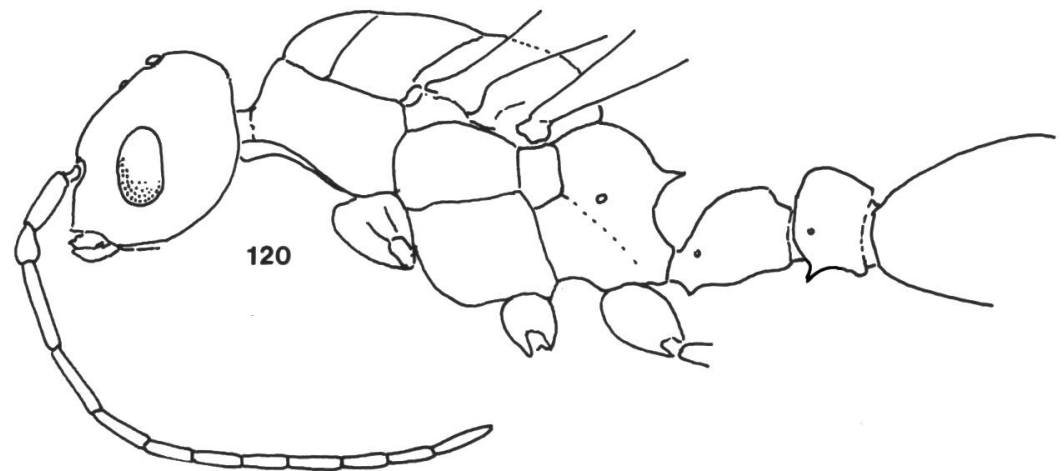
115



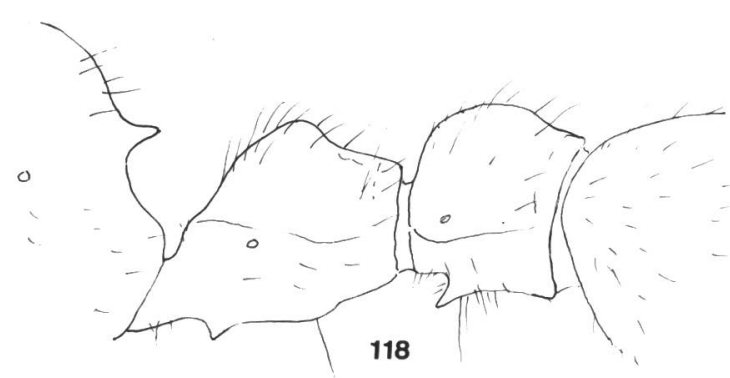
116



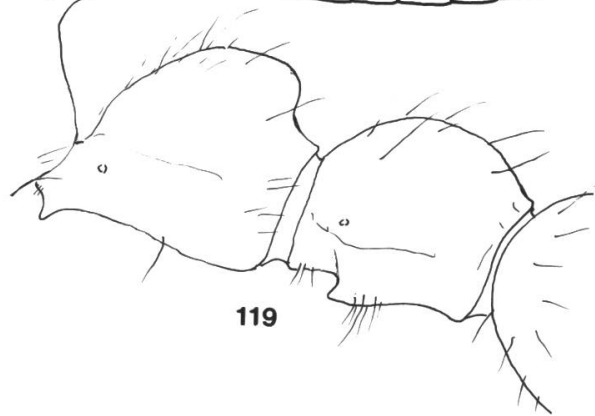
117



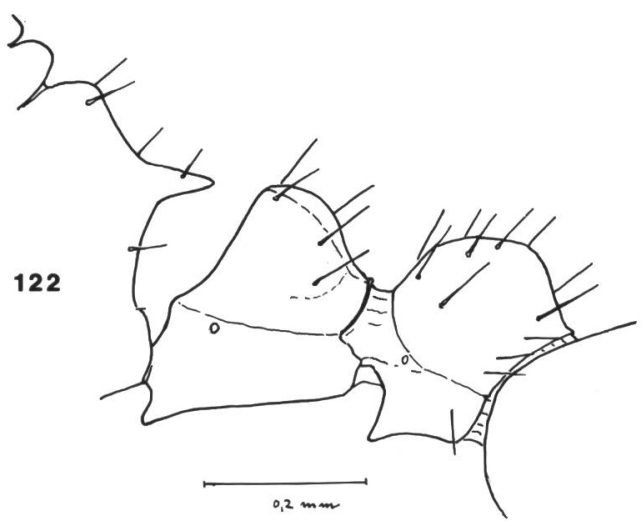
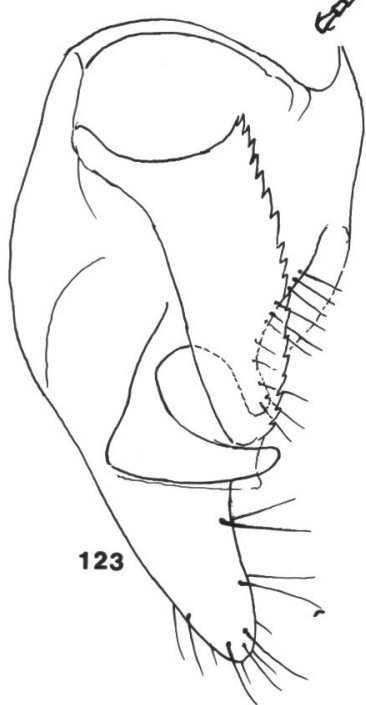
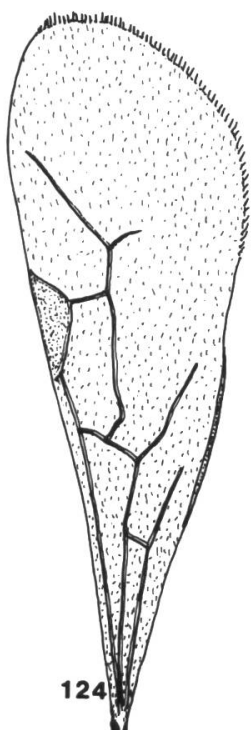
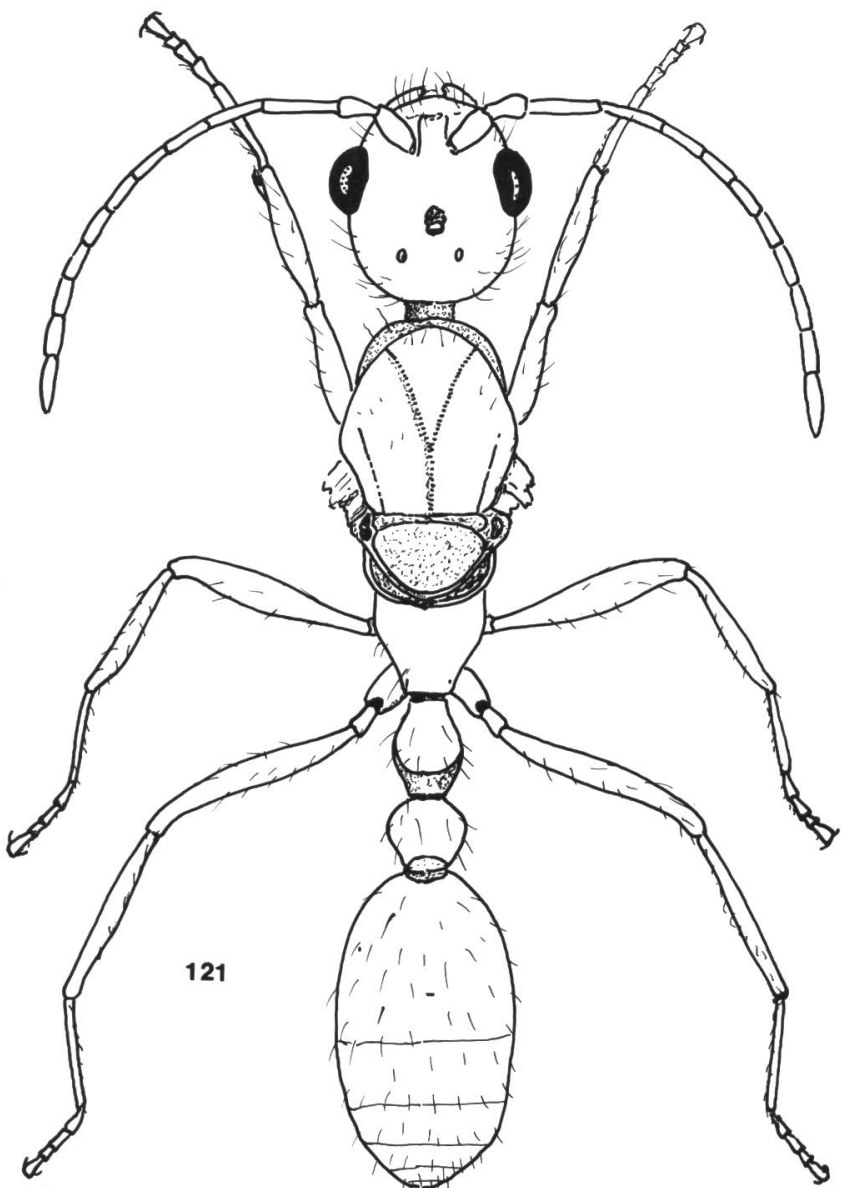
120

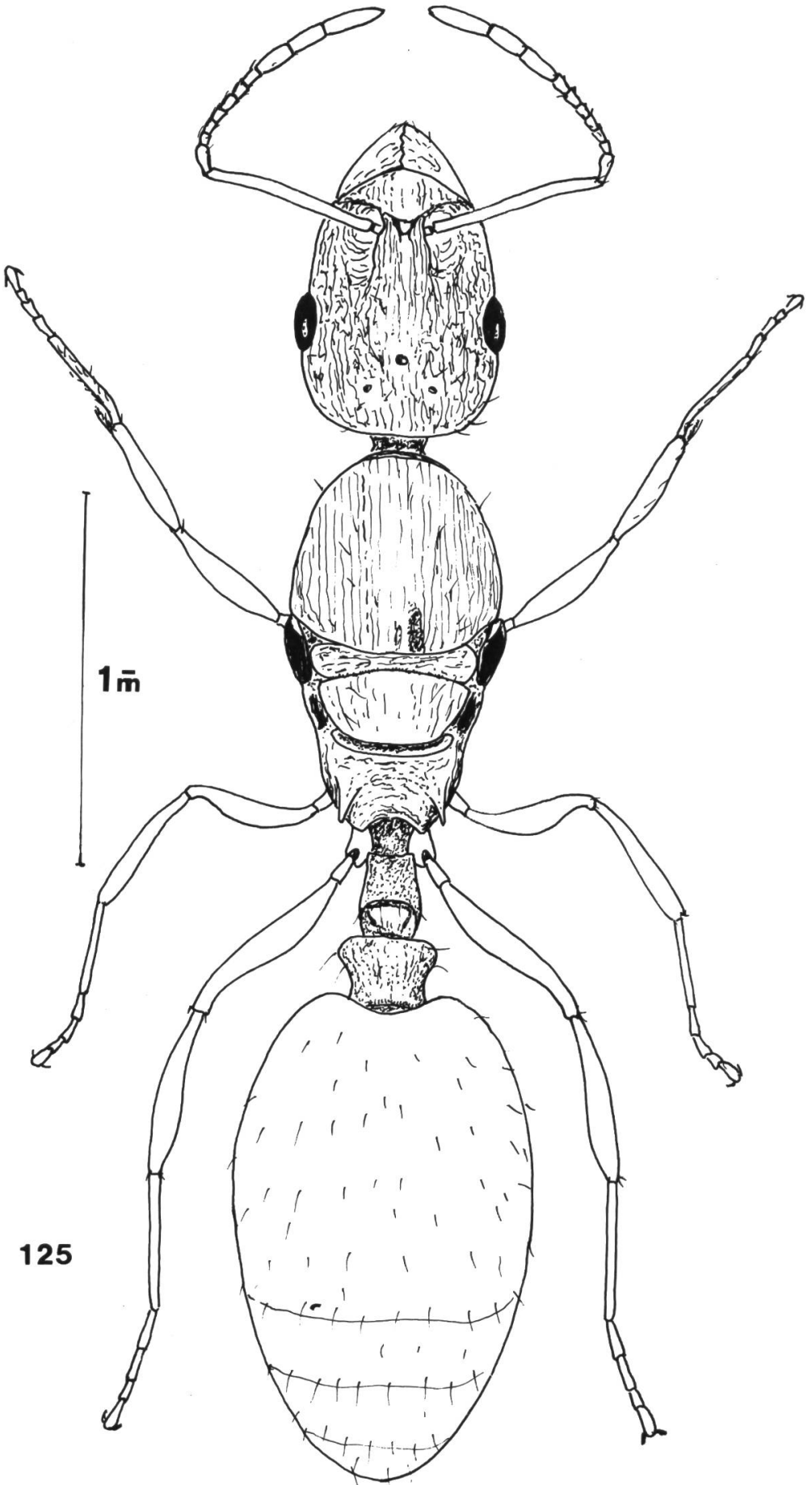


118

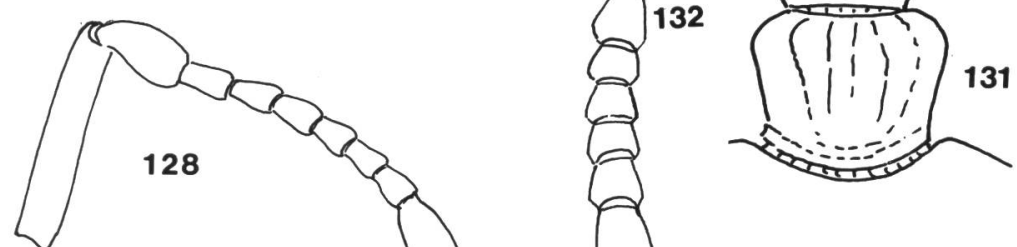
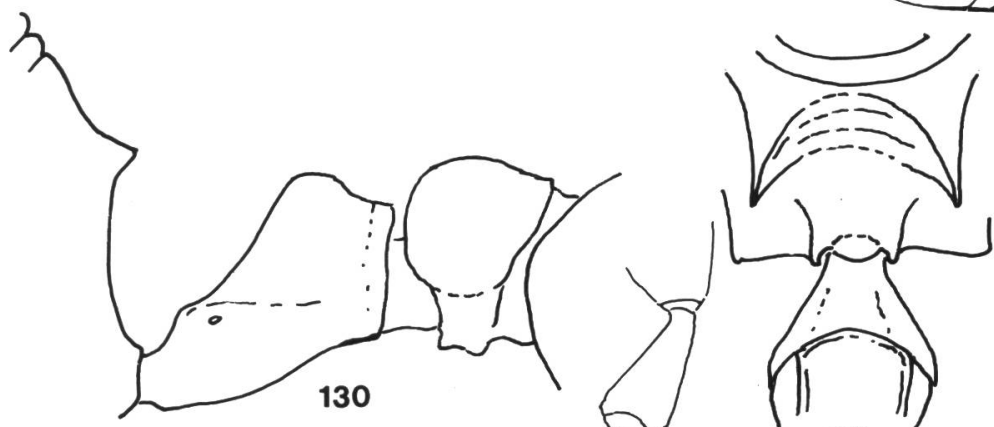
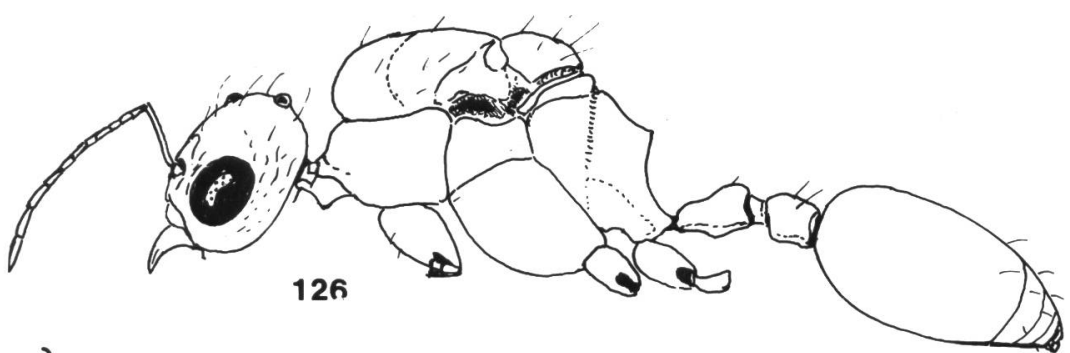


119

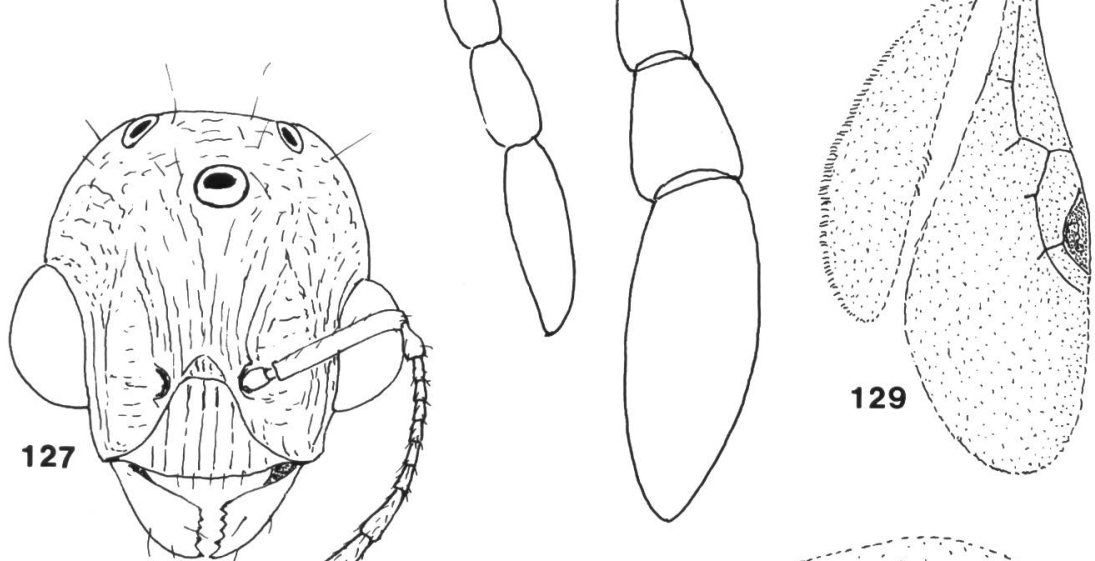




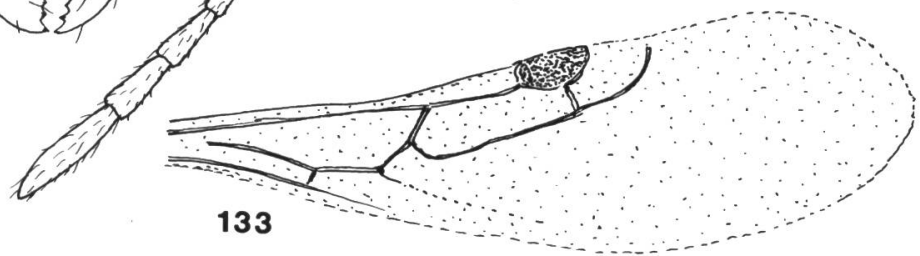
125

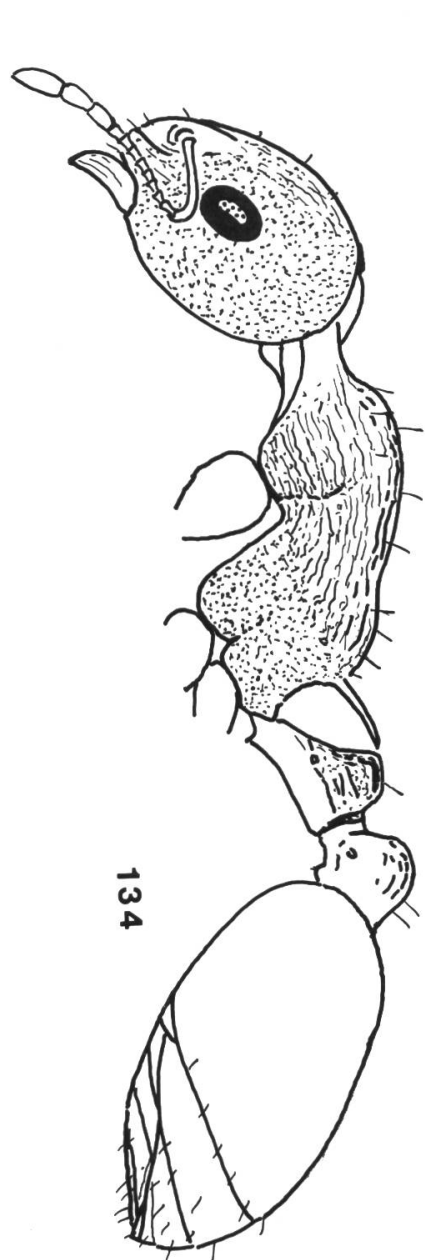


132

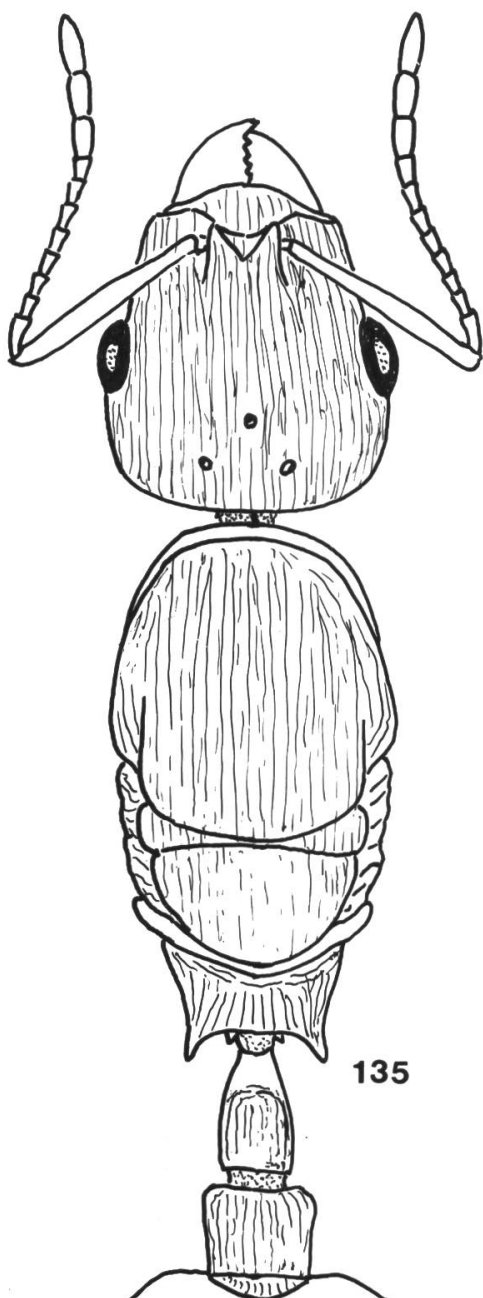


129

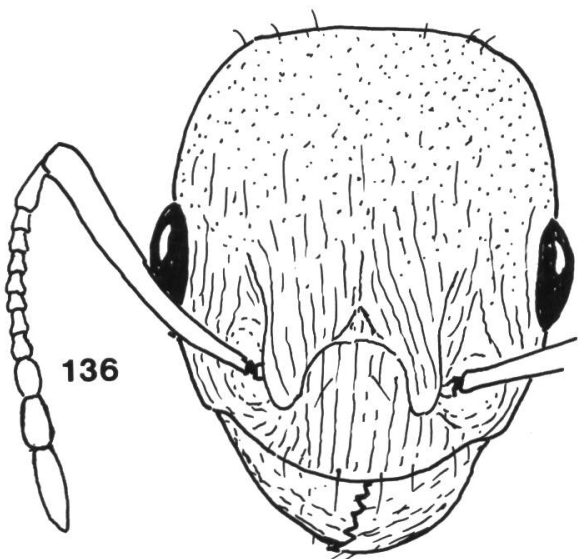




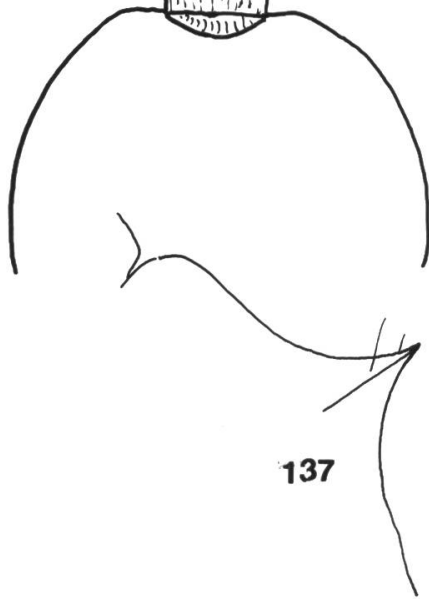
134



135



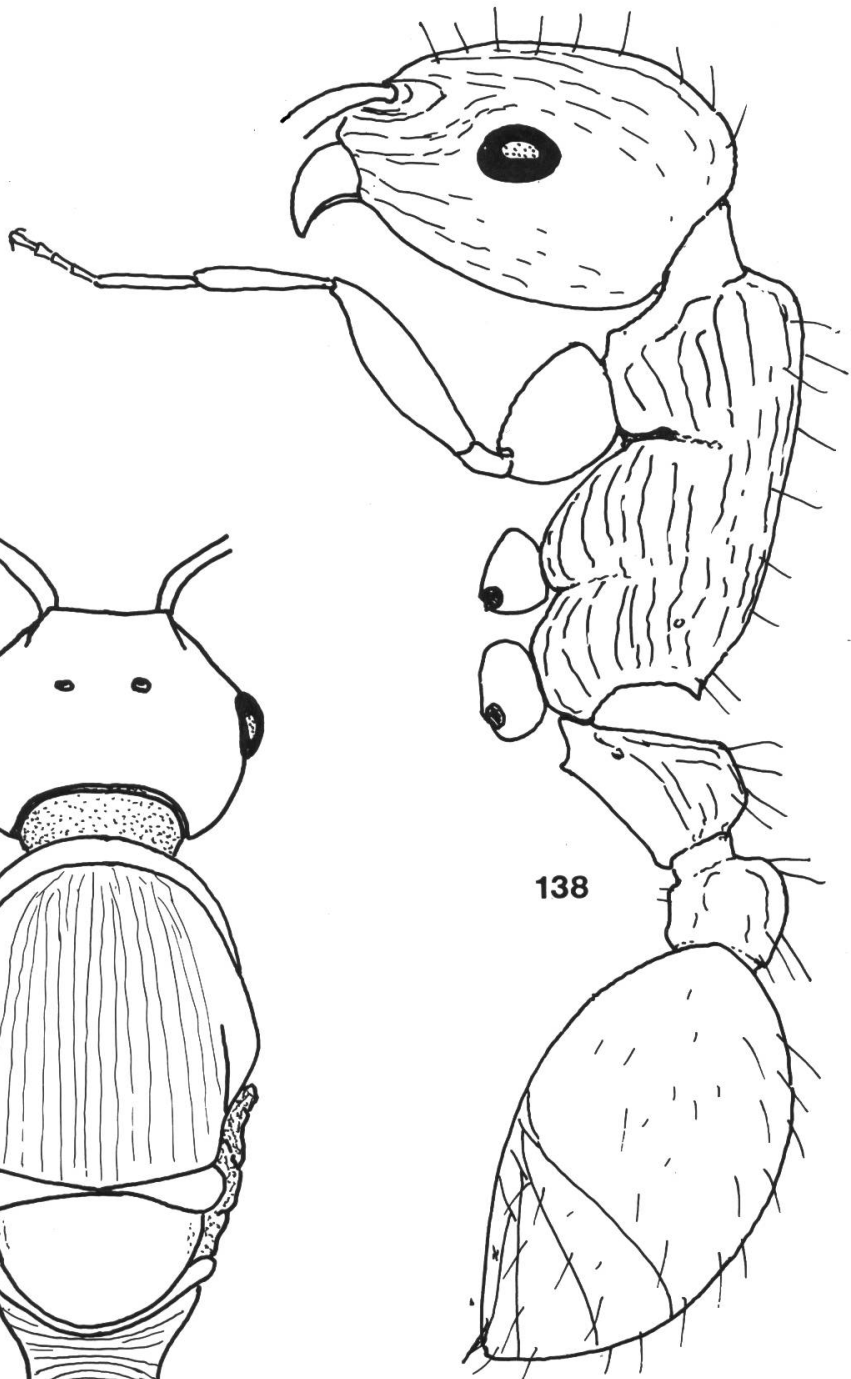
136



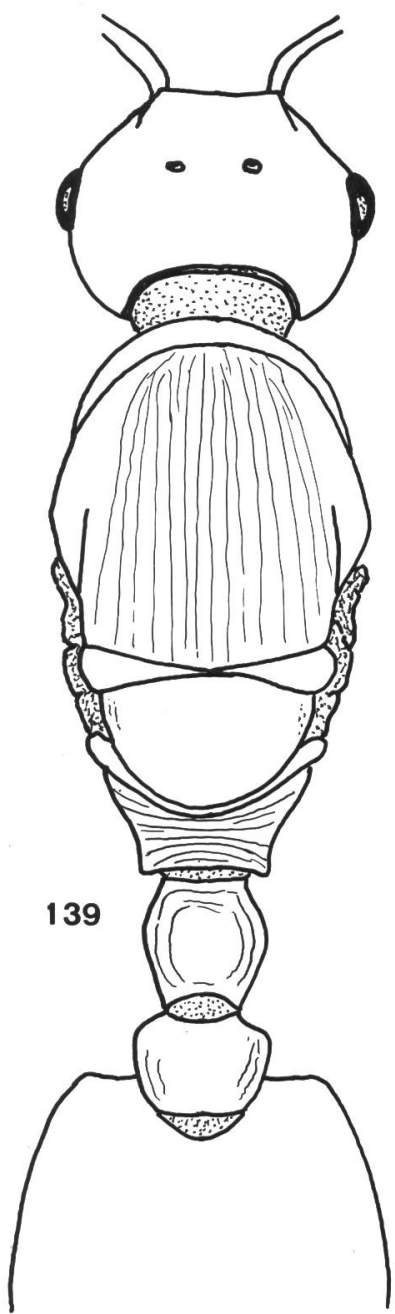
137

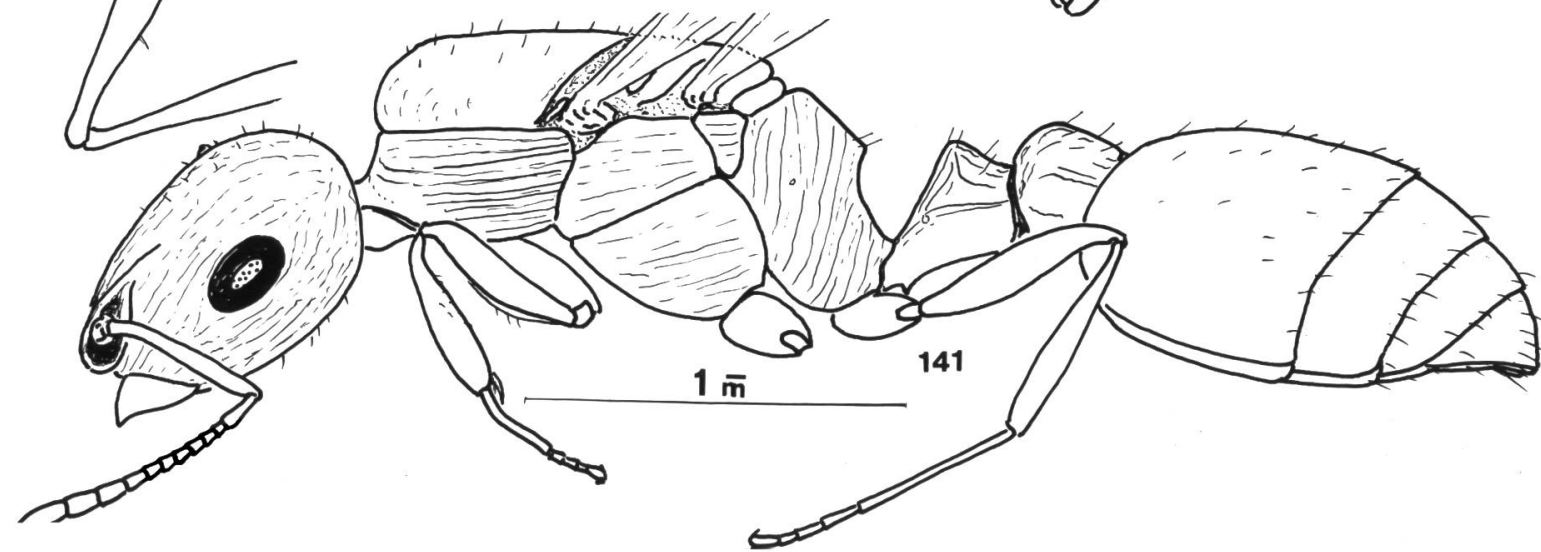
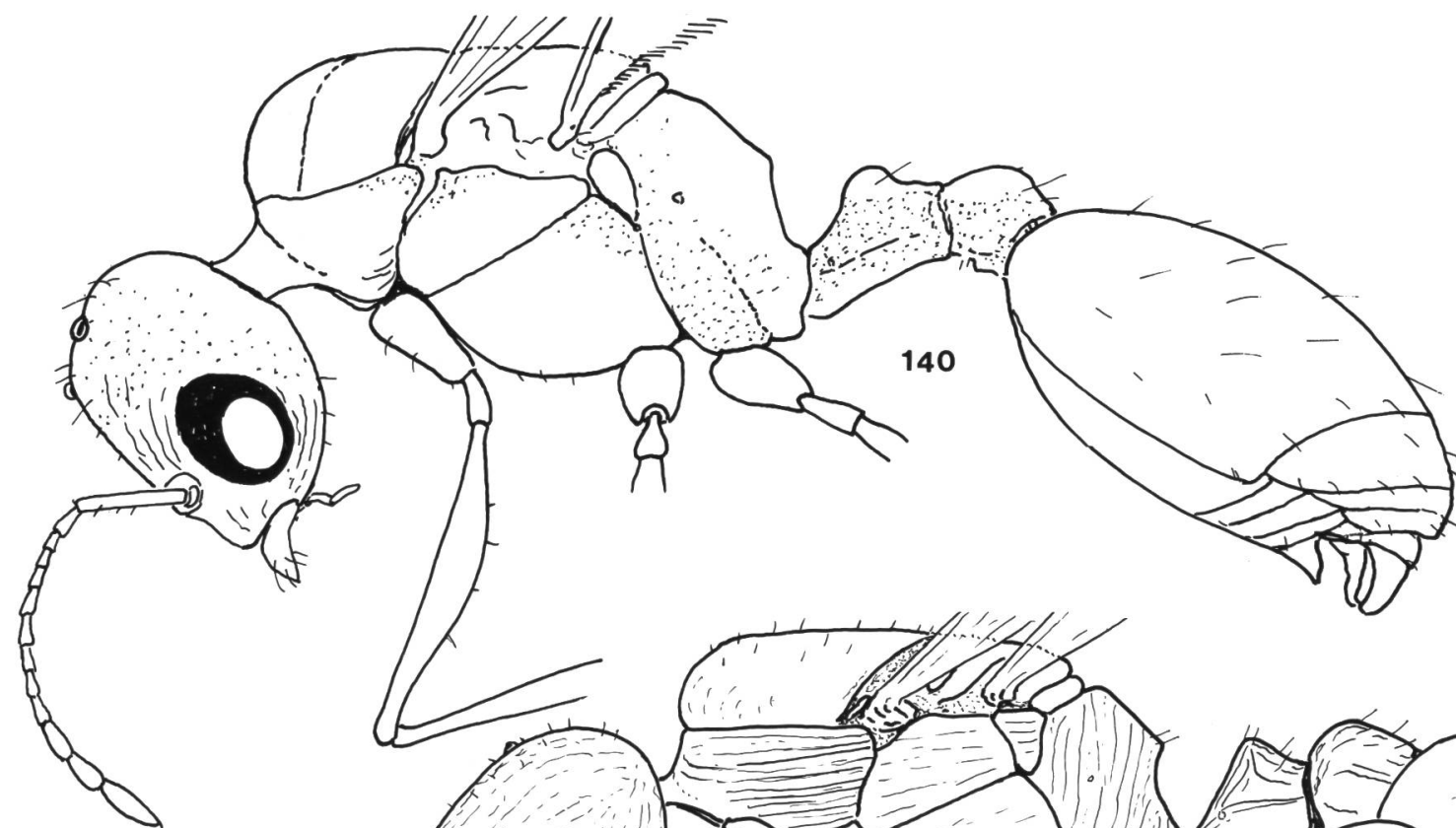
1 μ

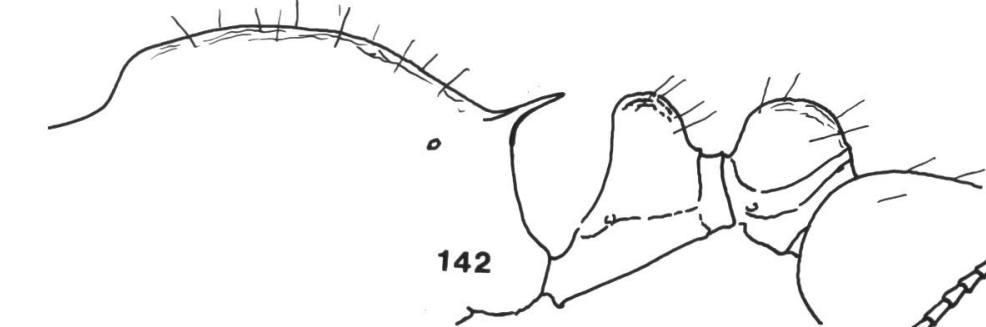
138



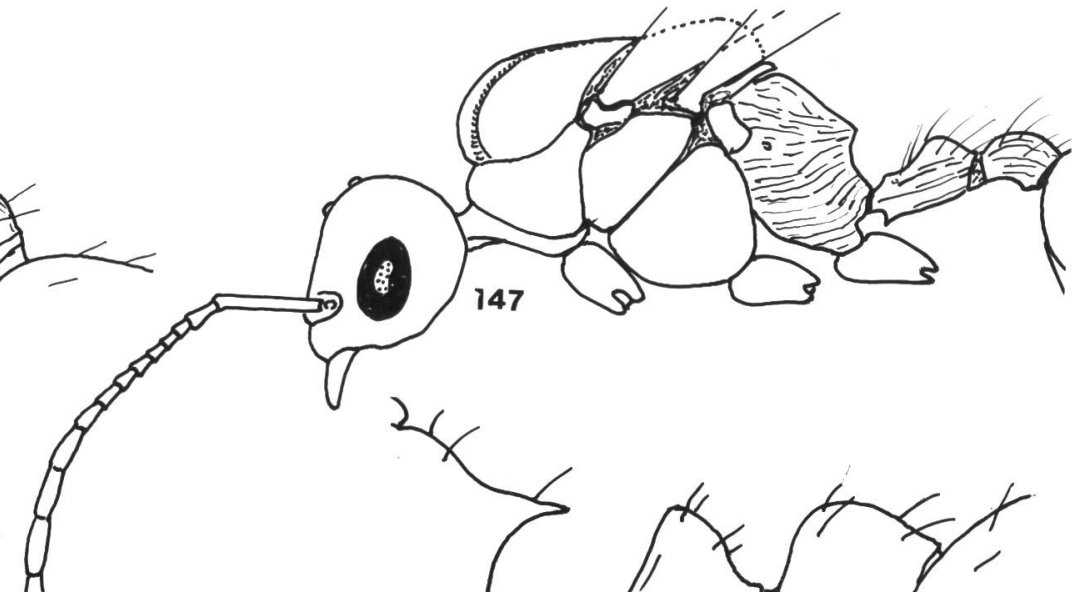
139



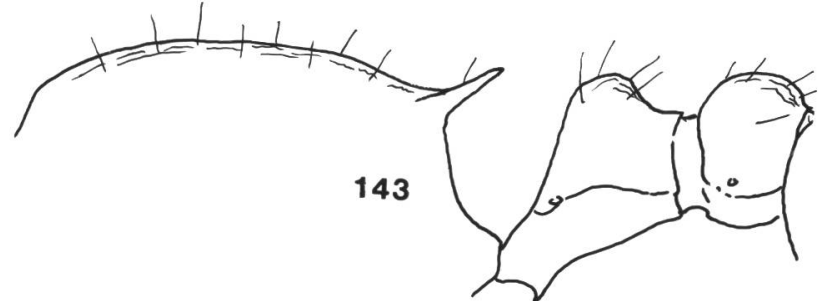




142



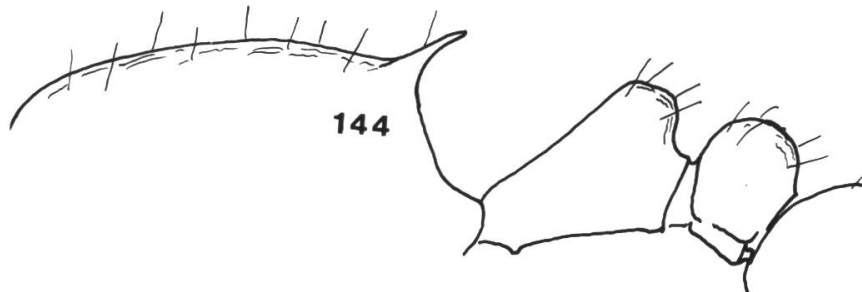
147



143



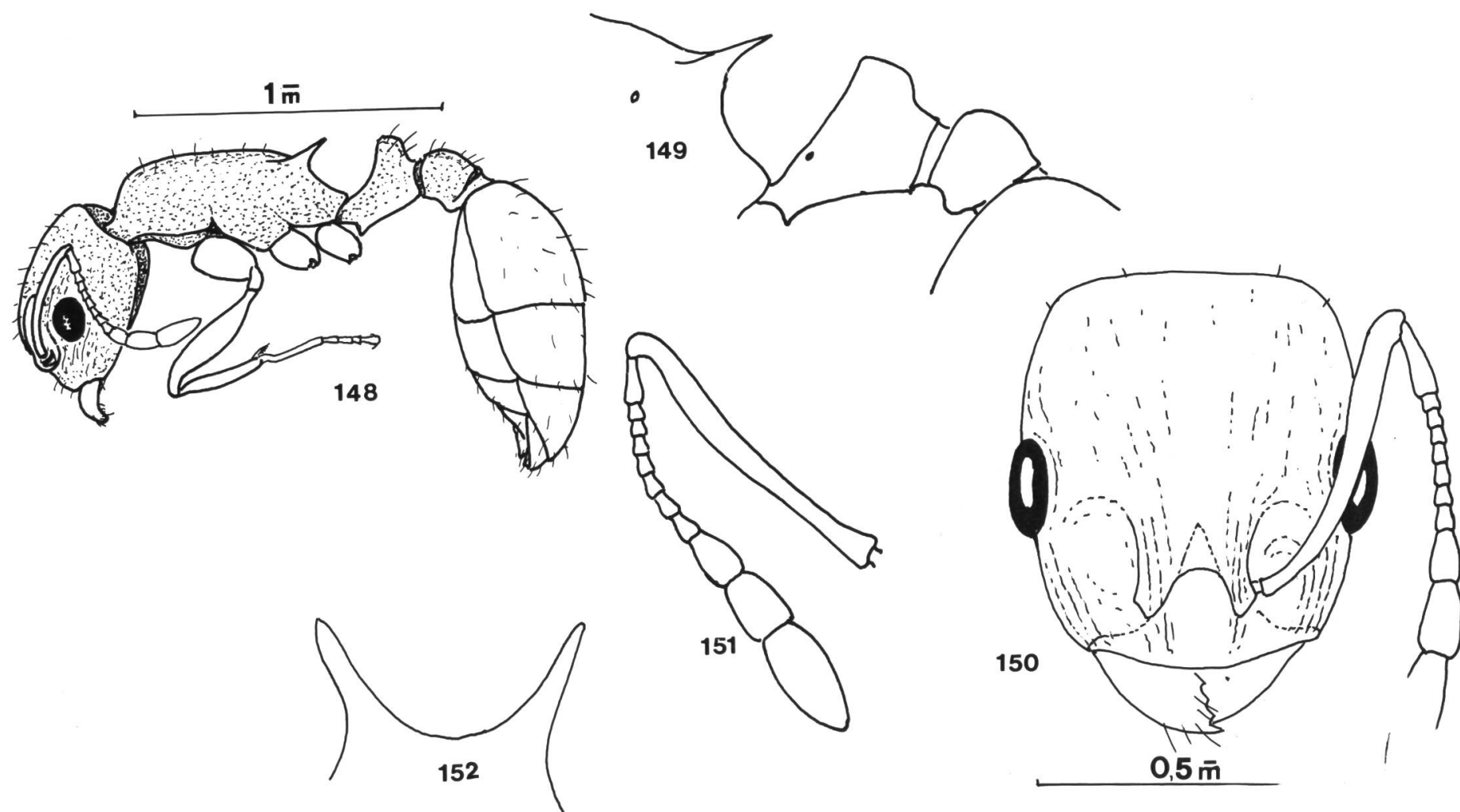
146

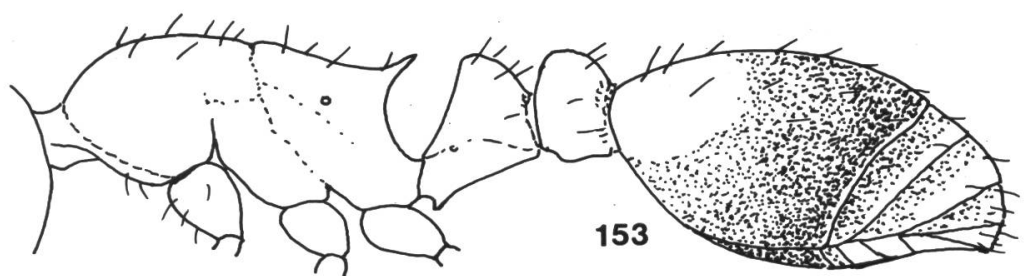


144

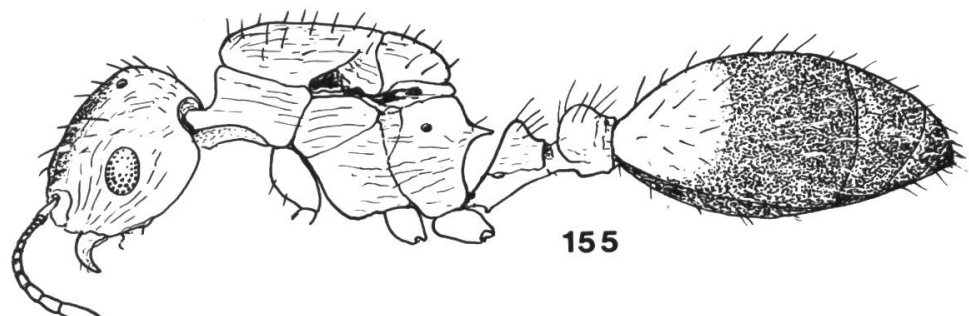
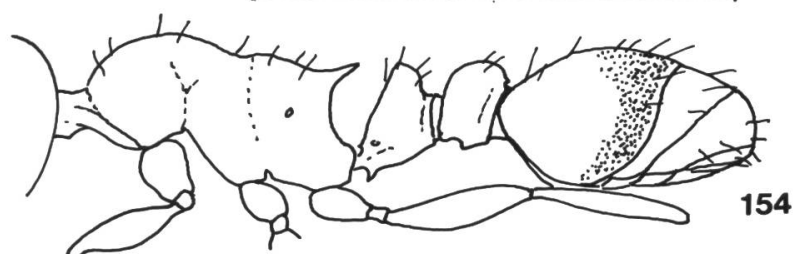


145

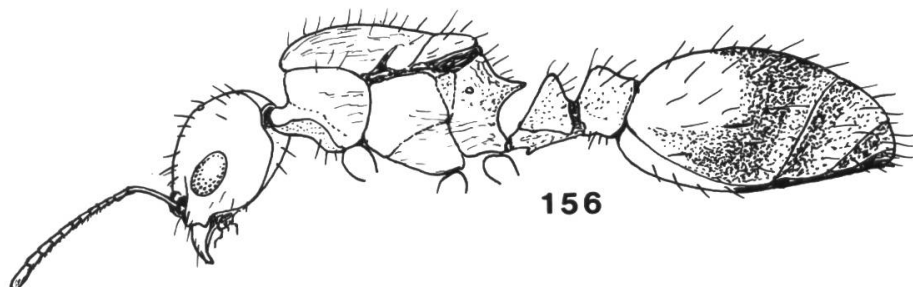




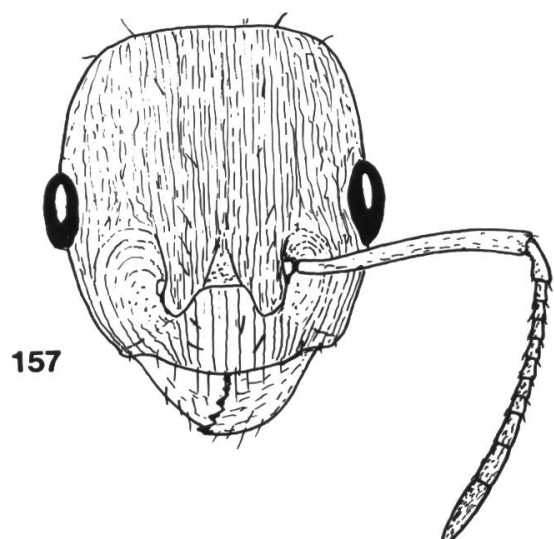
1m



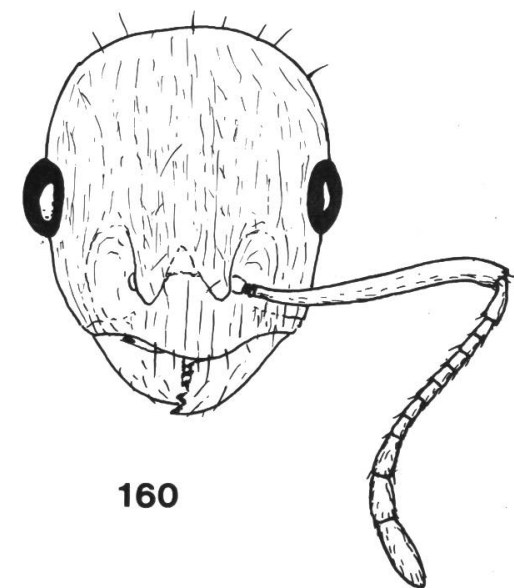
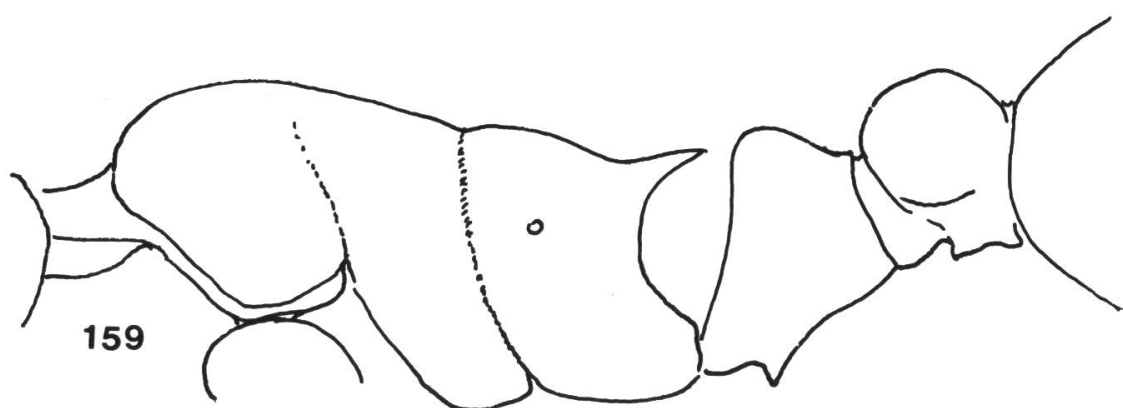
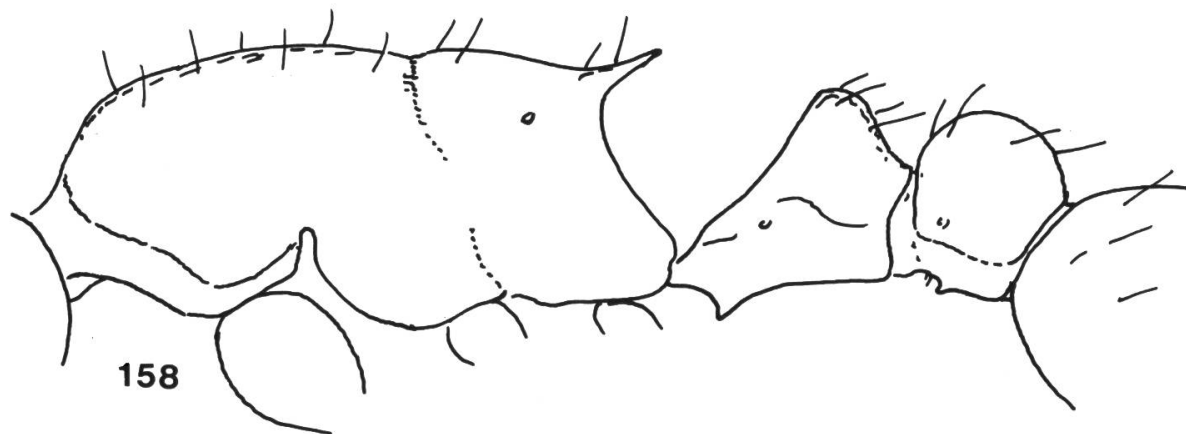
155

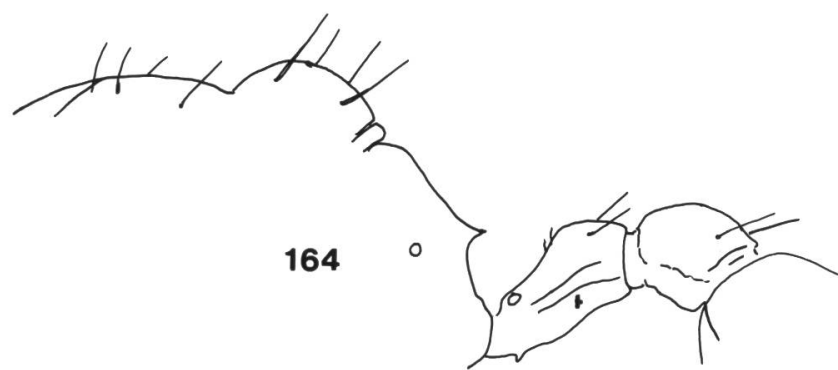
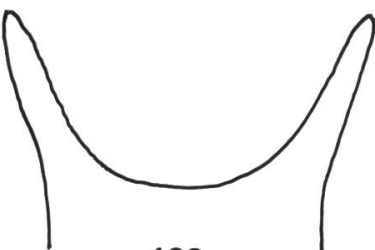
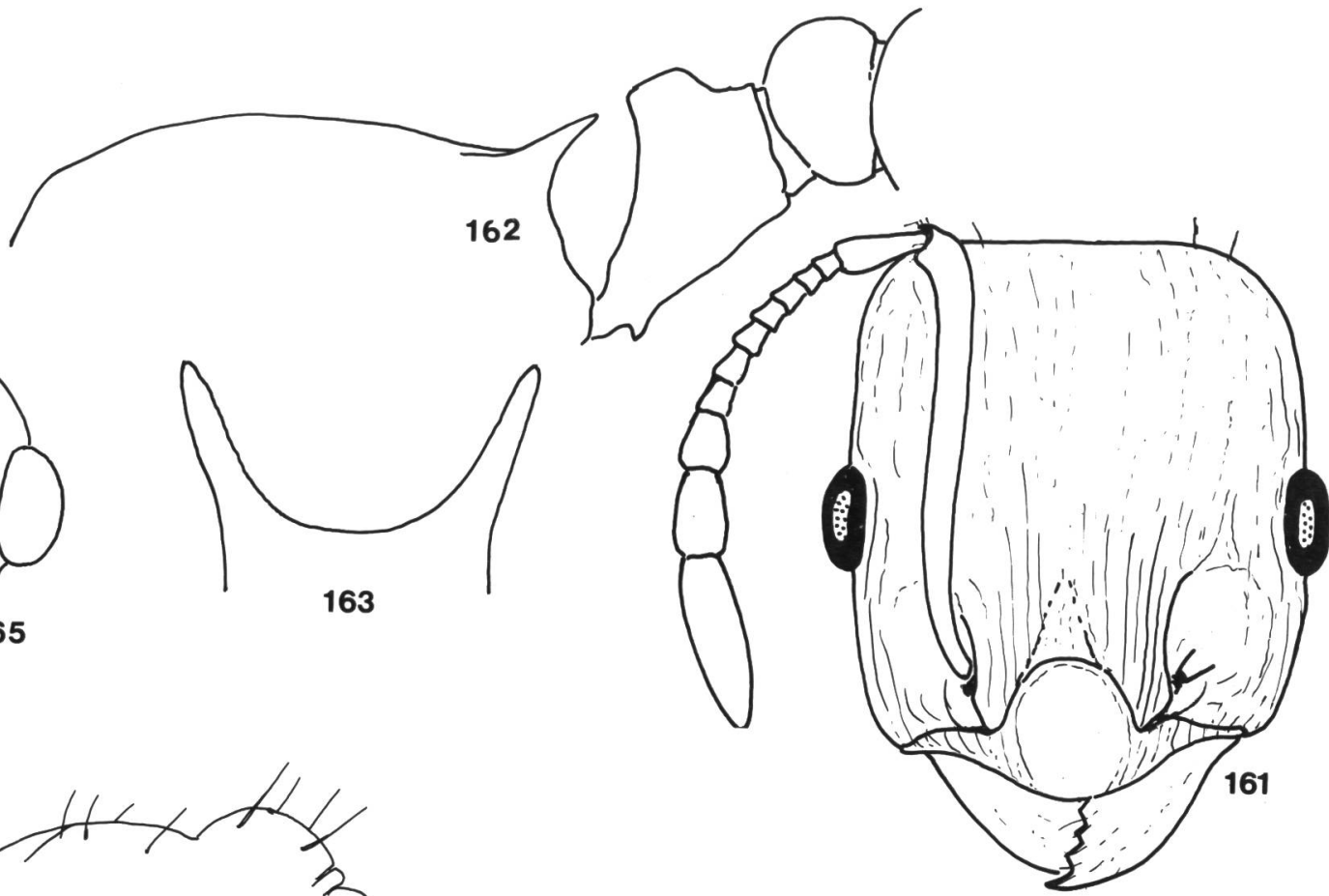
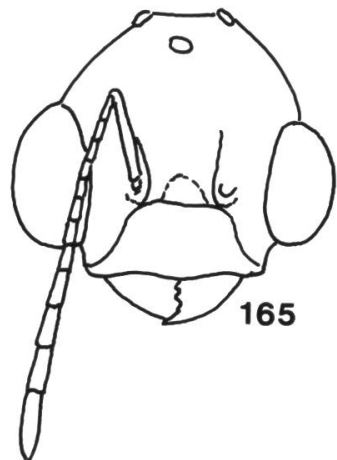
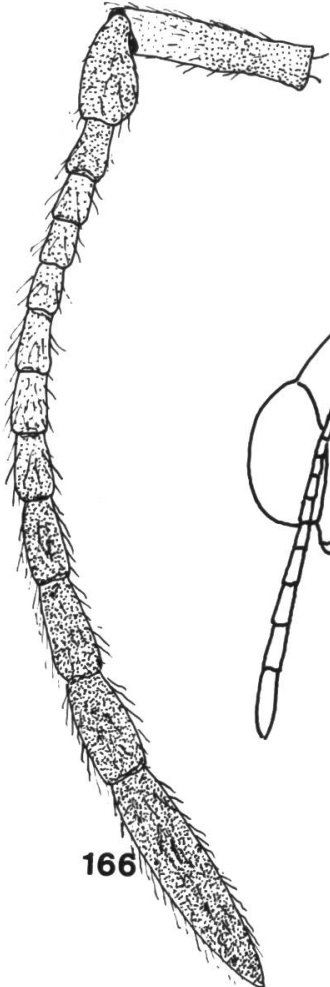


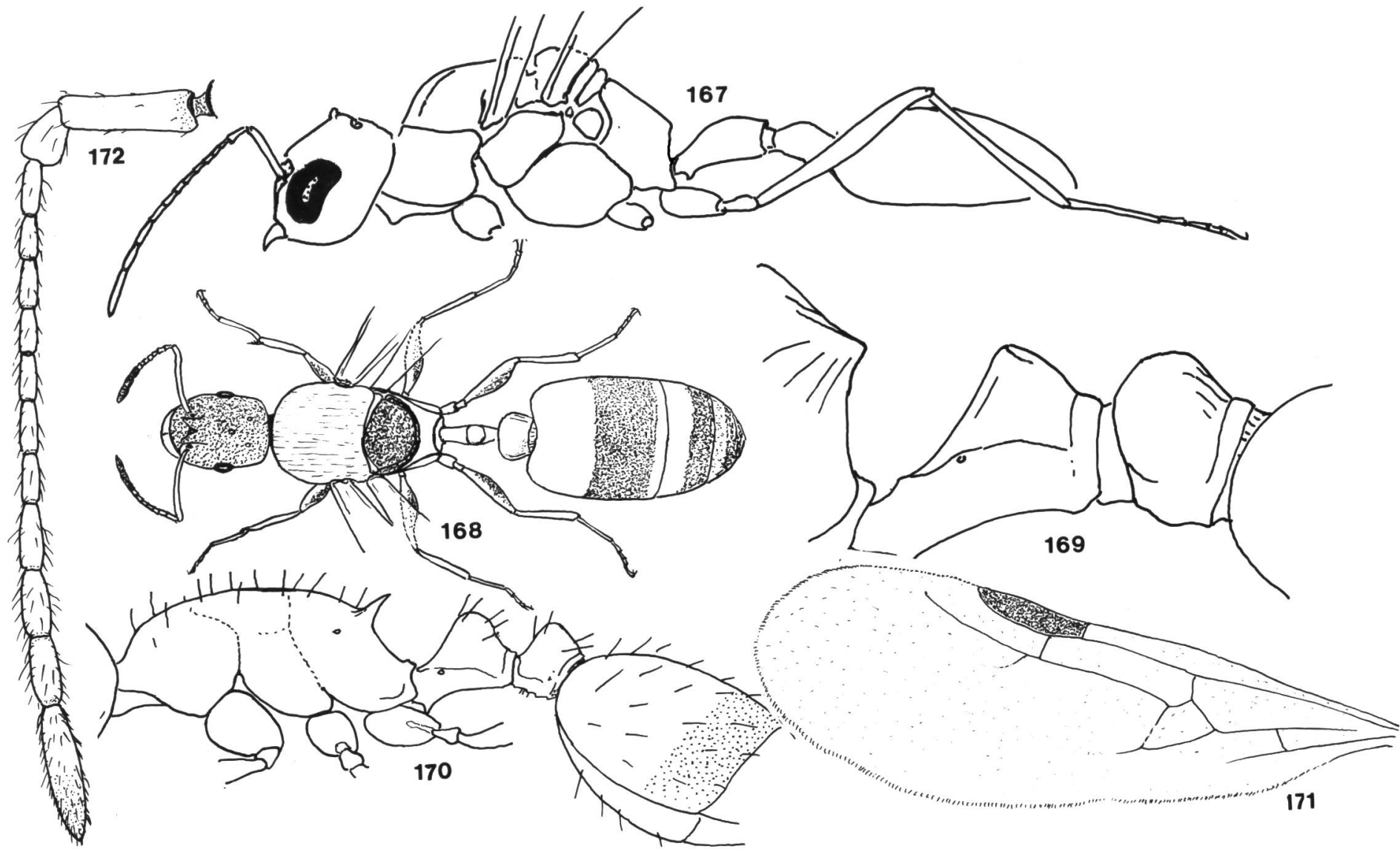
156

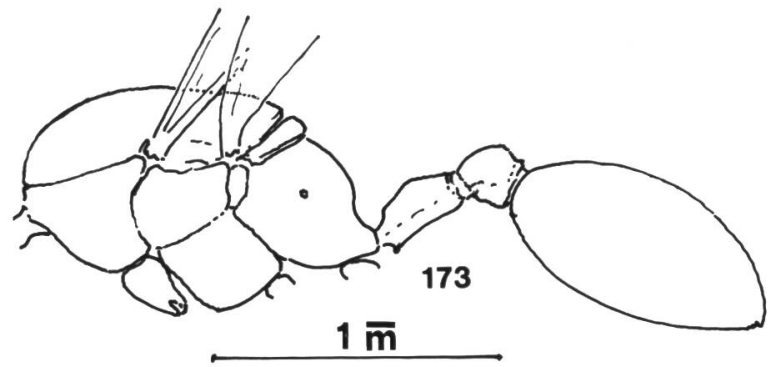


157

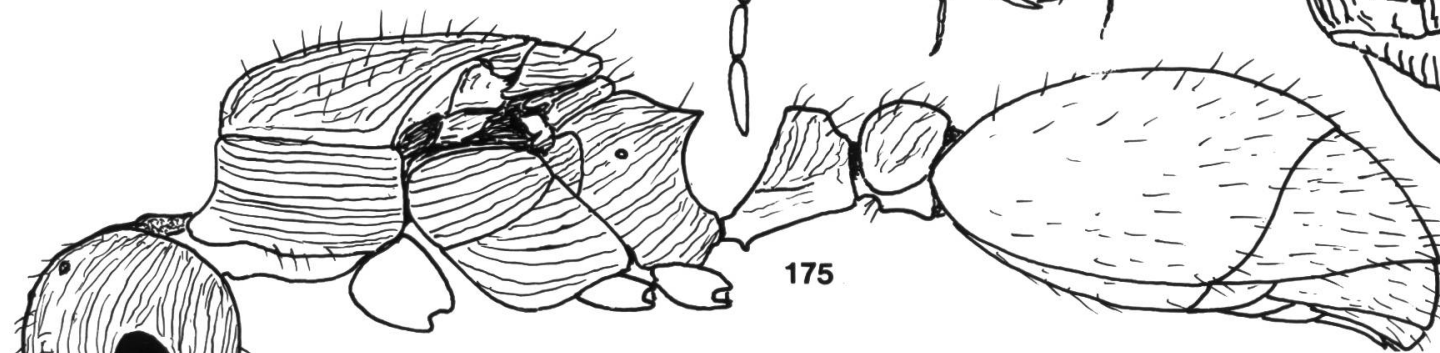




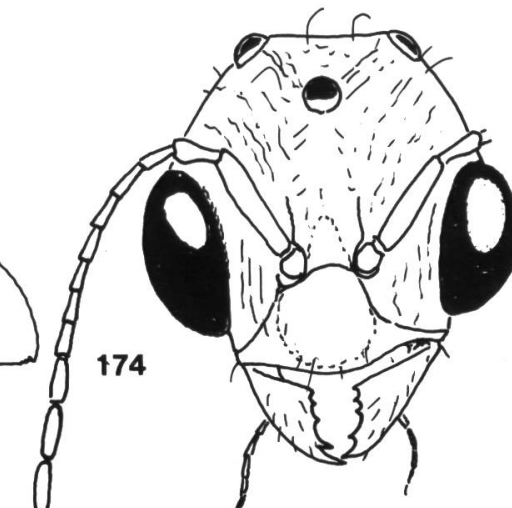




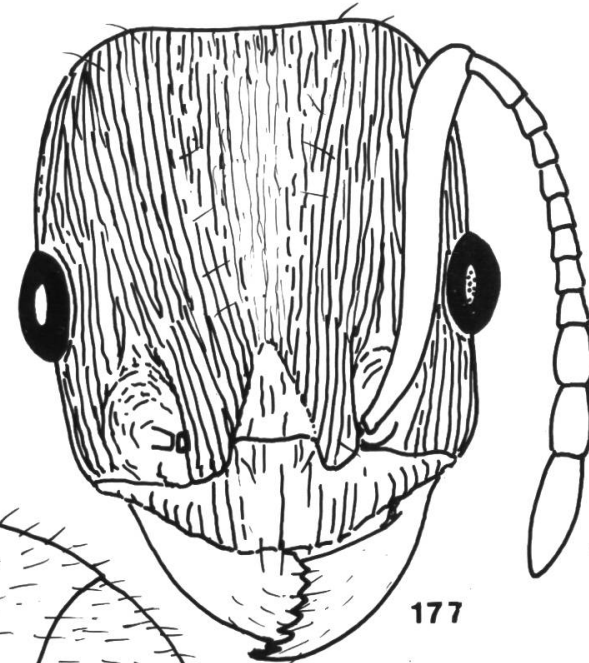
173



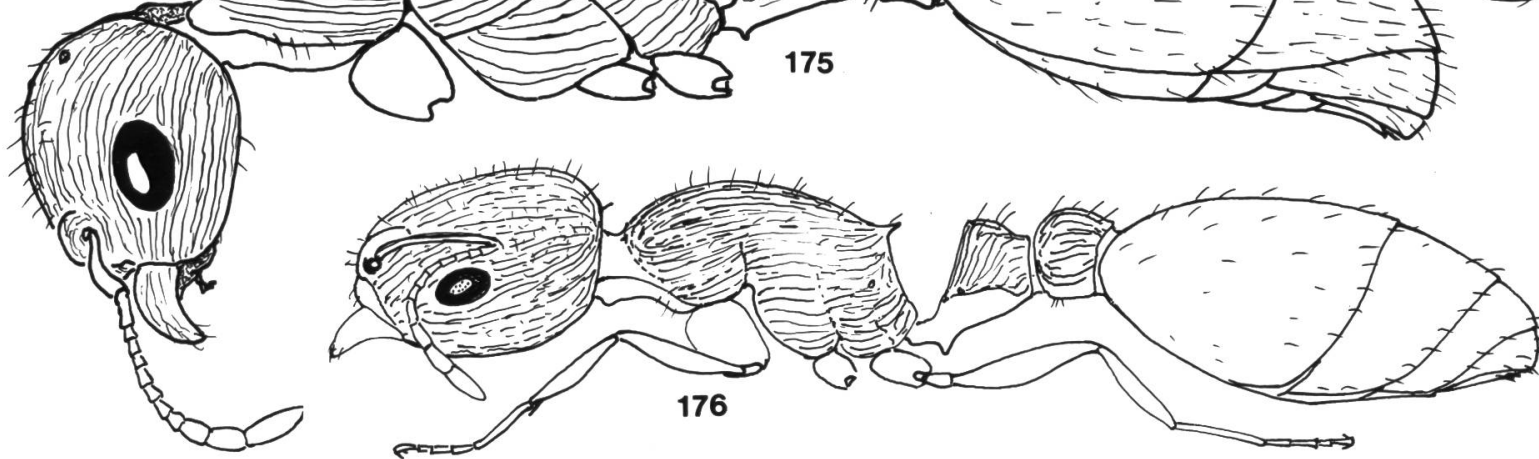
175



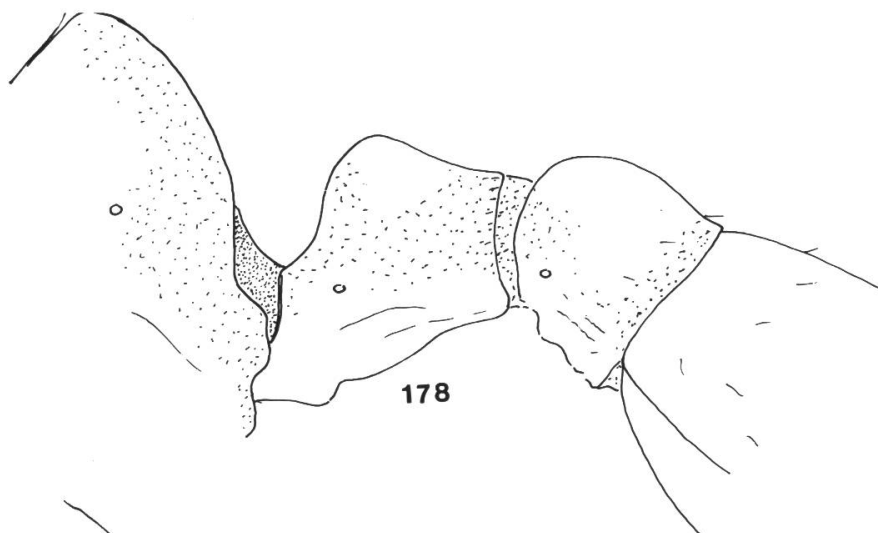
174



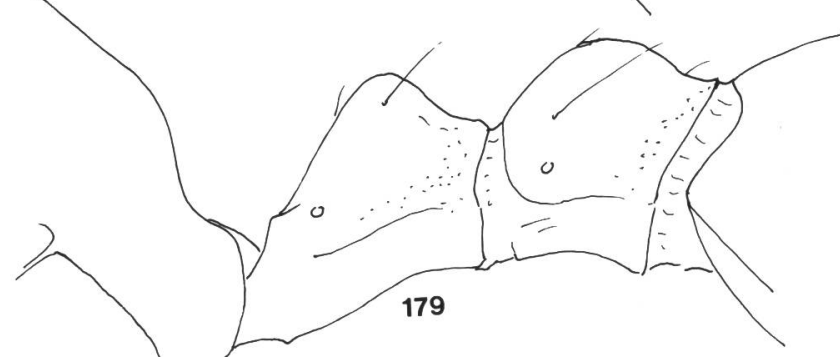
177



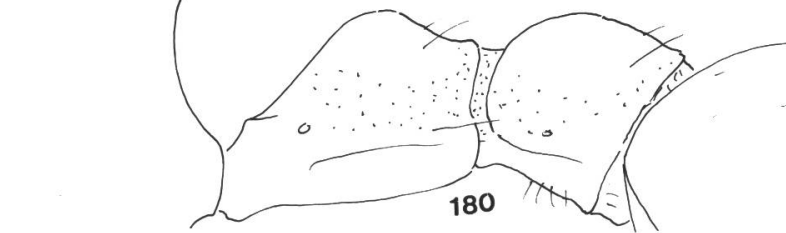
176



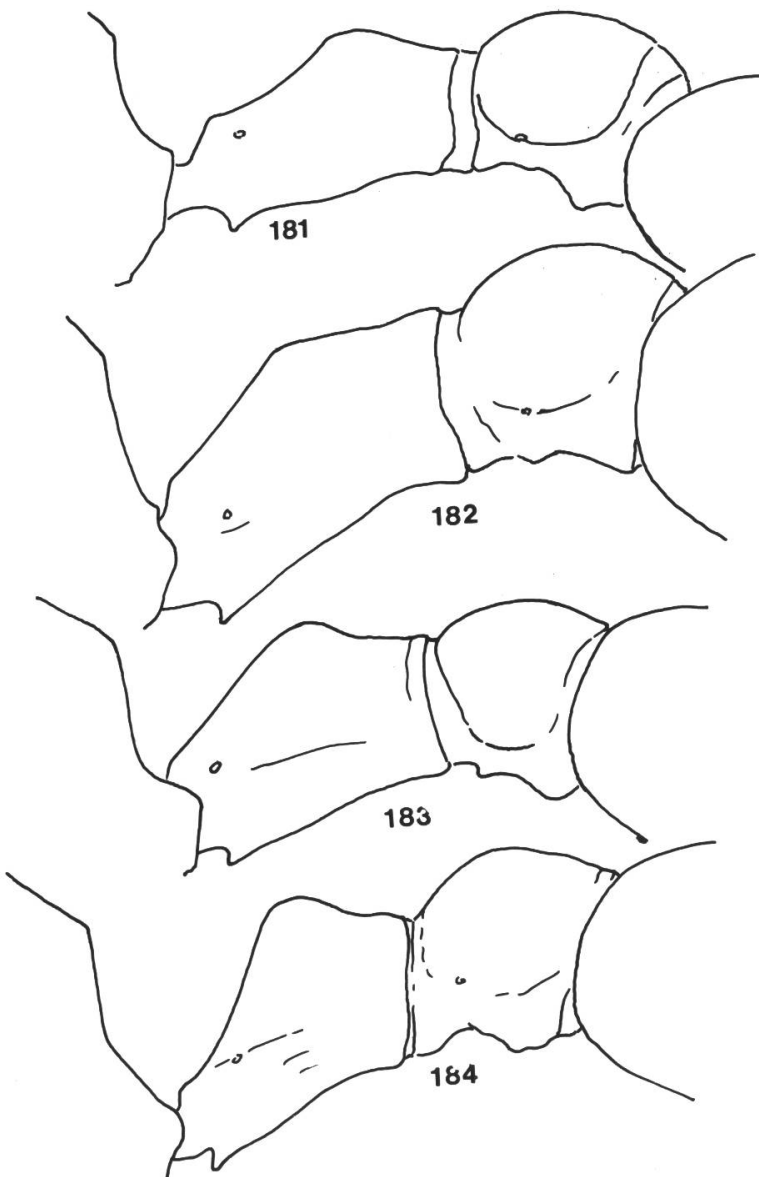
178



179



180

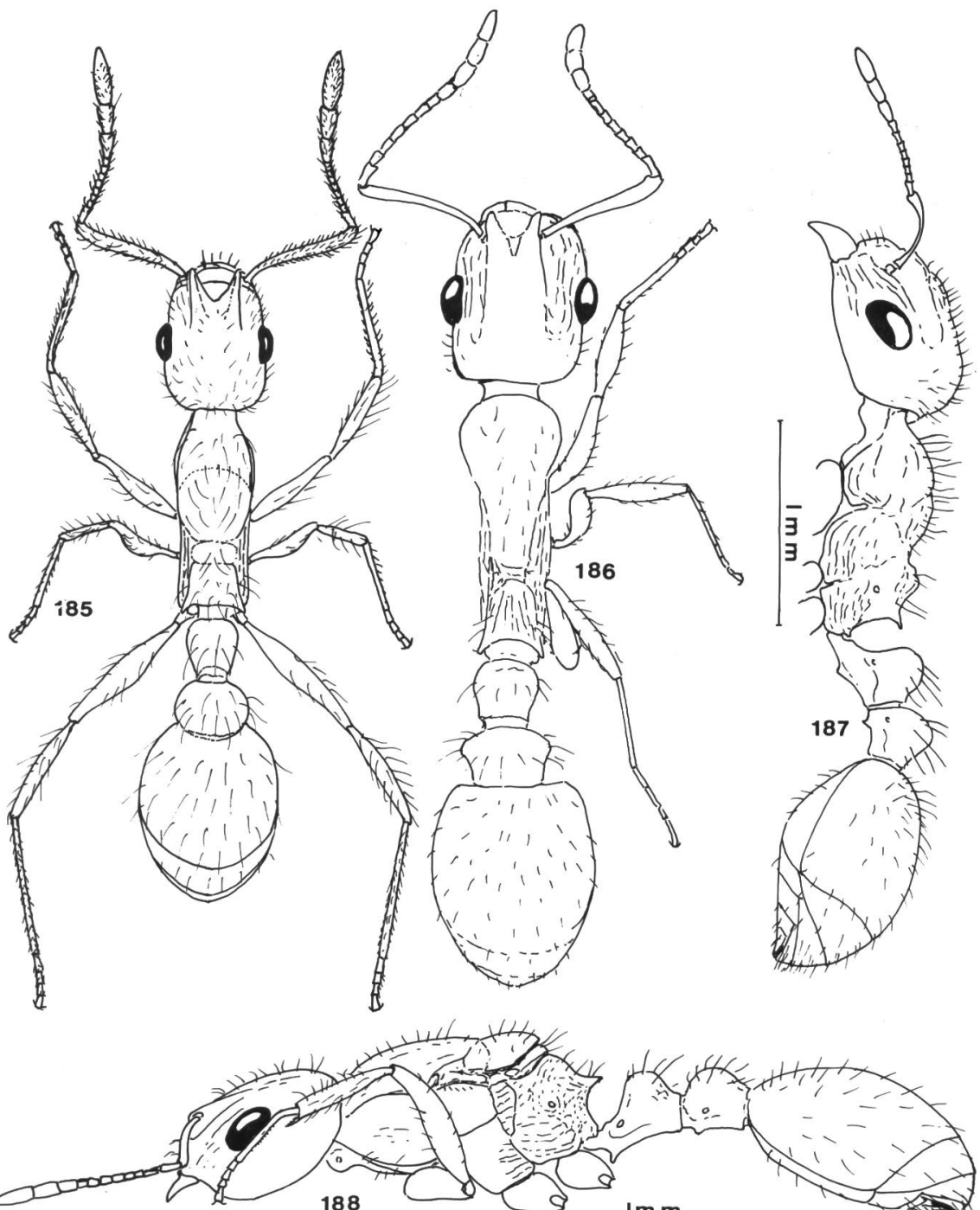


181

182

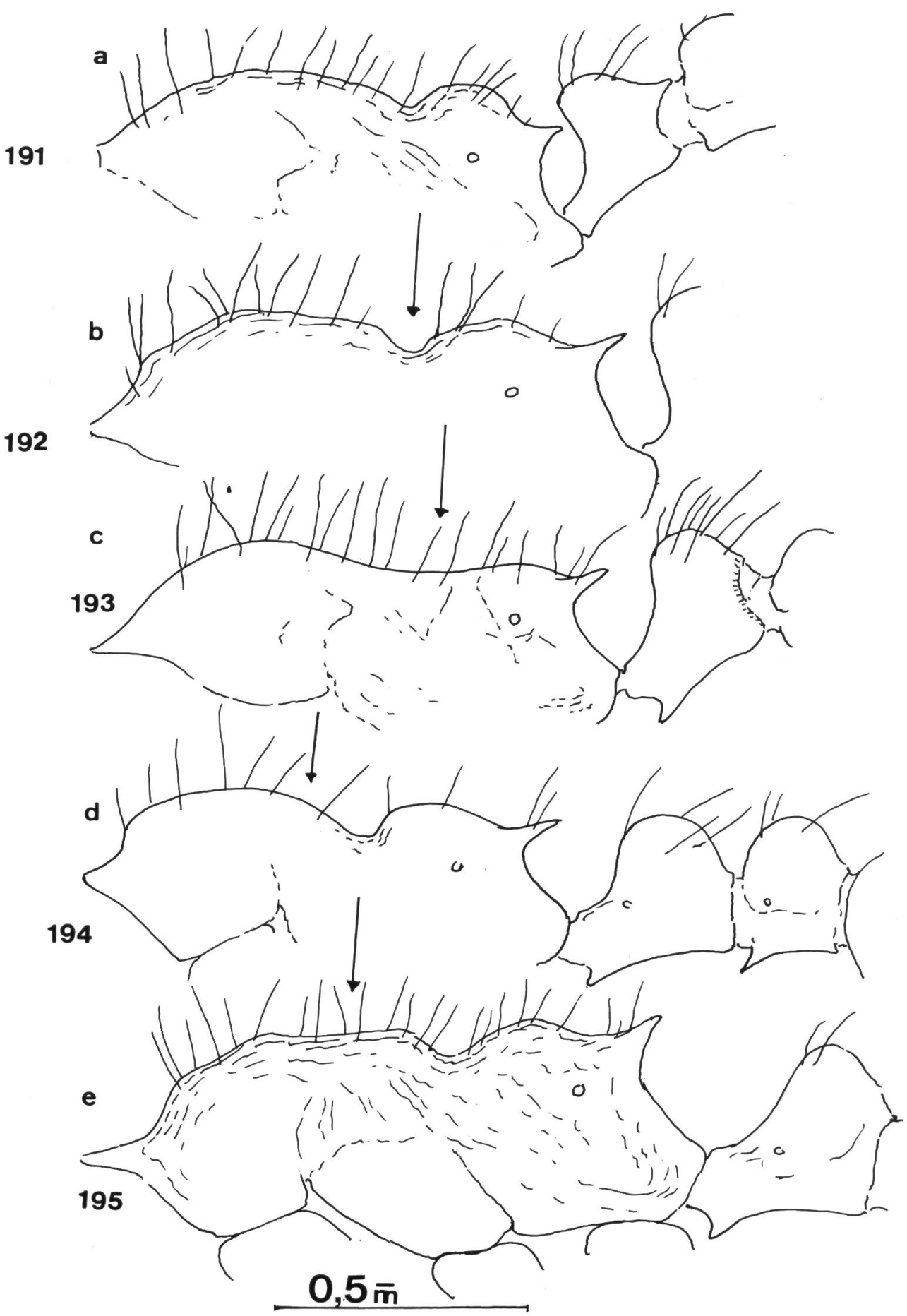
183

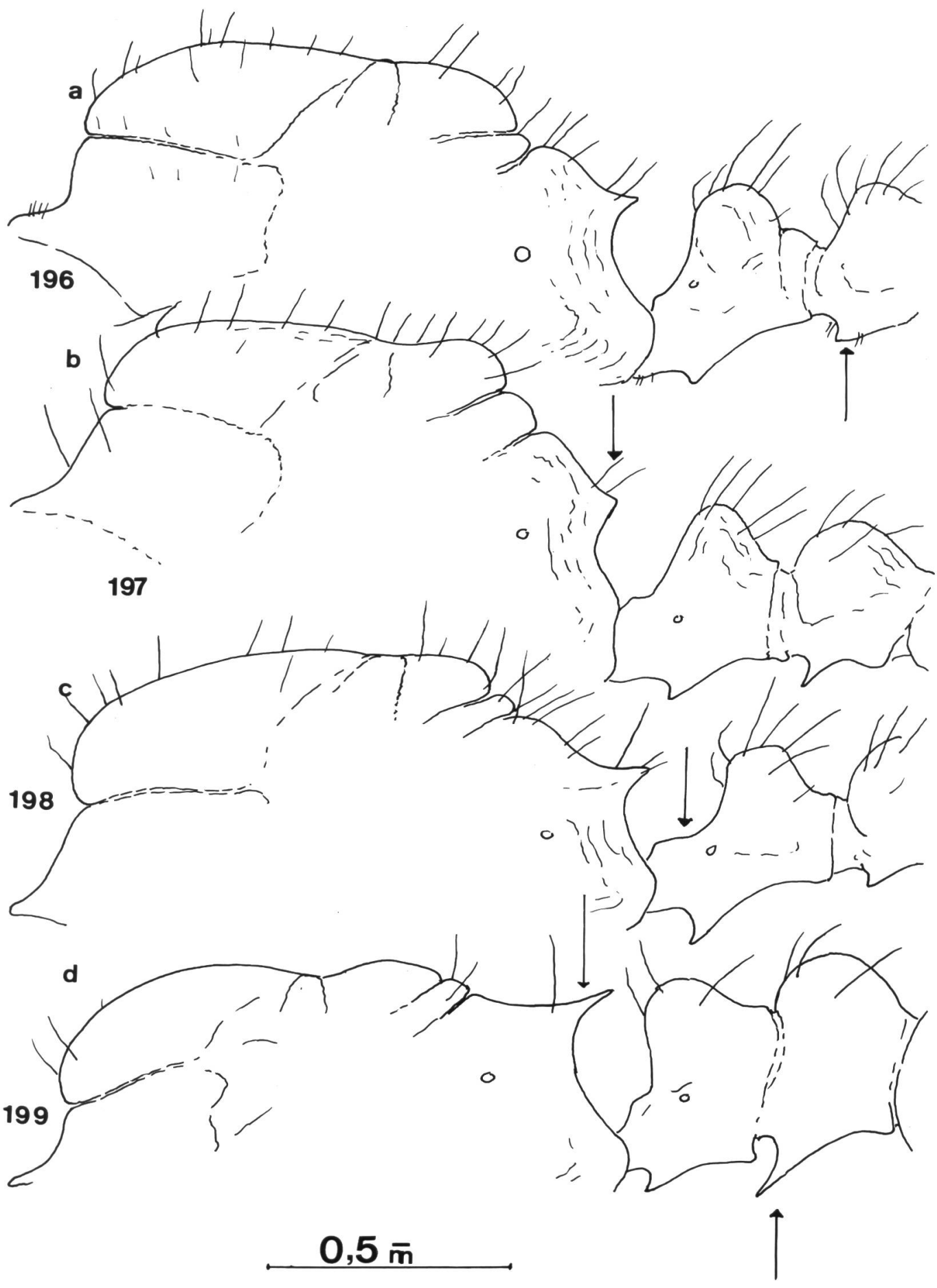
184

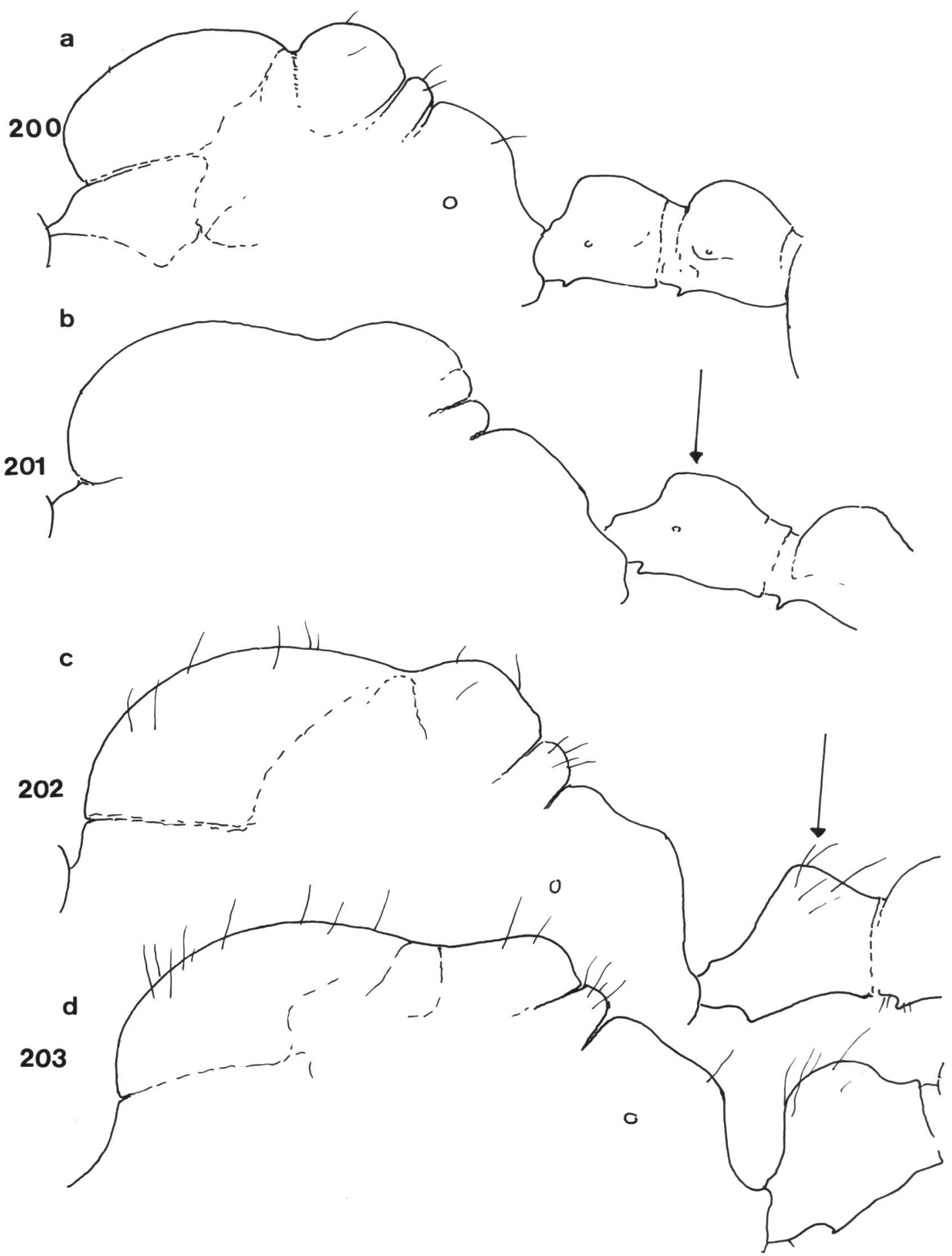


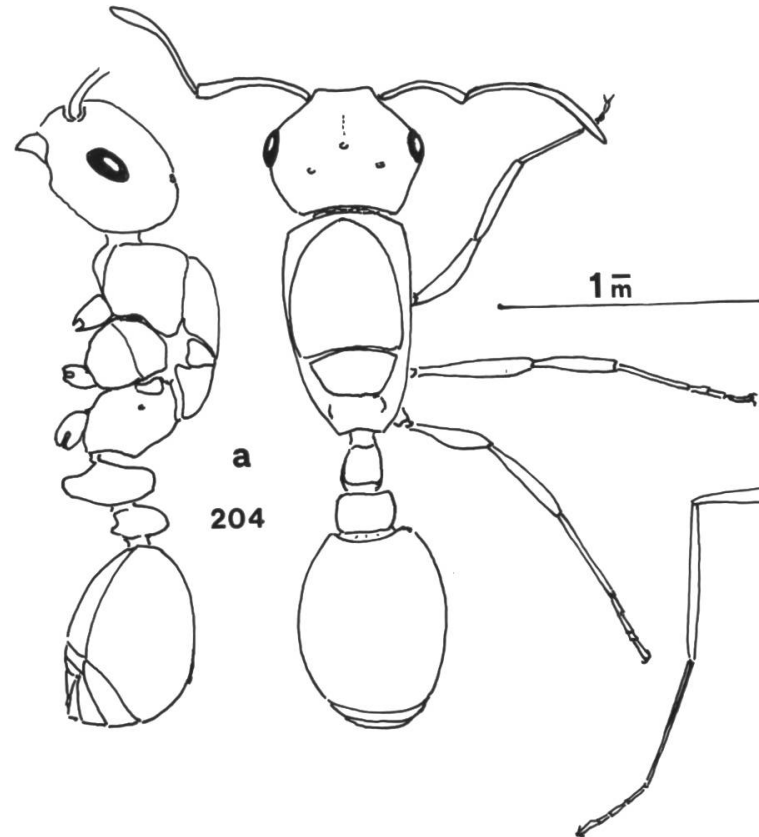
189

190

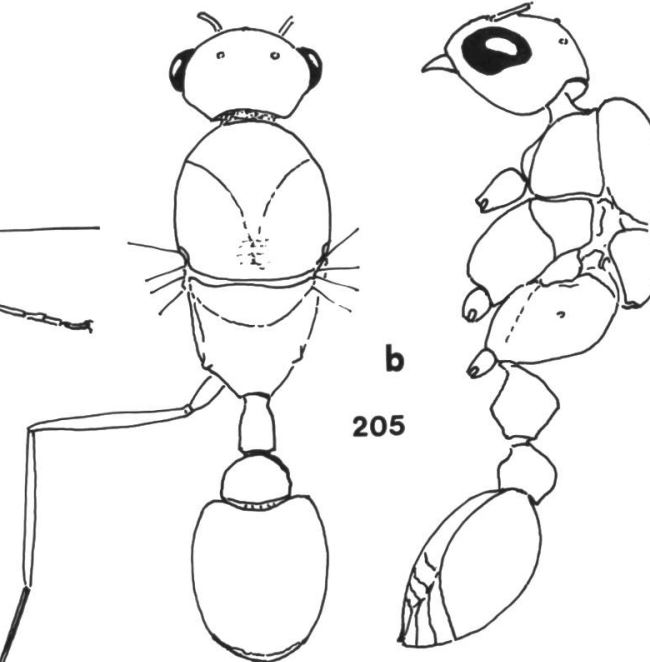








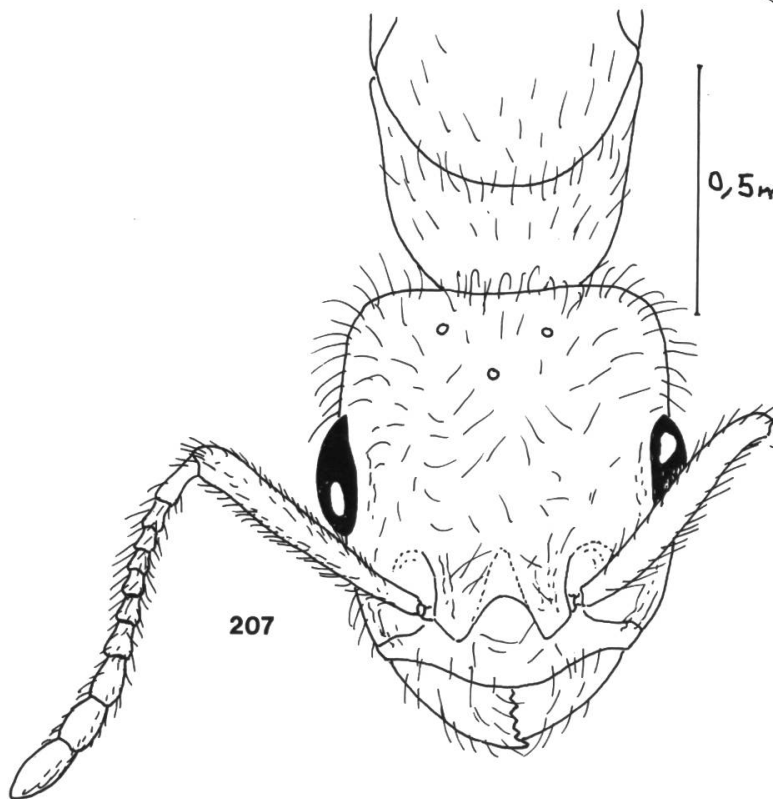
a
204



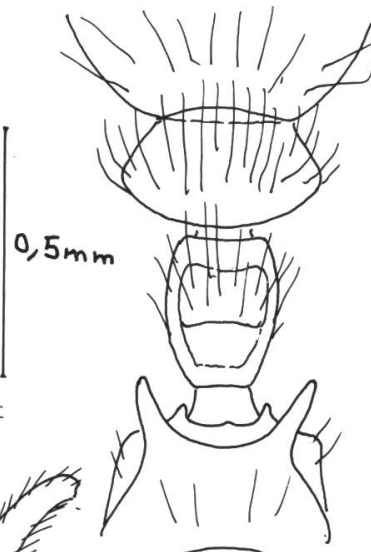
b
205



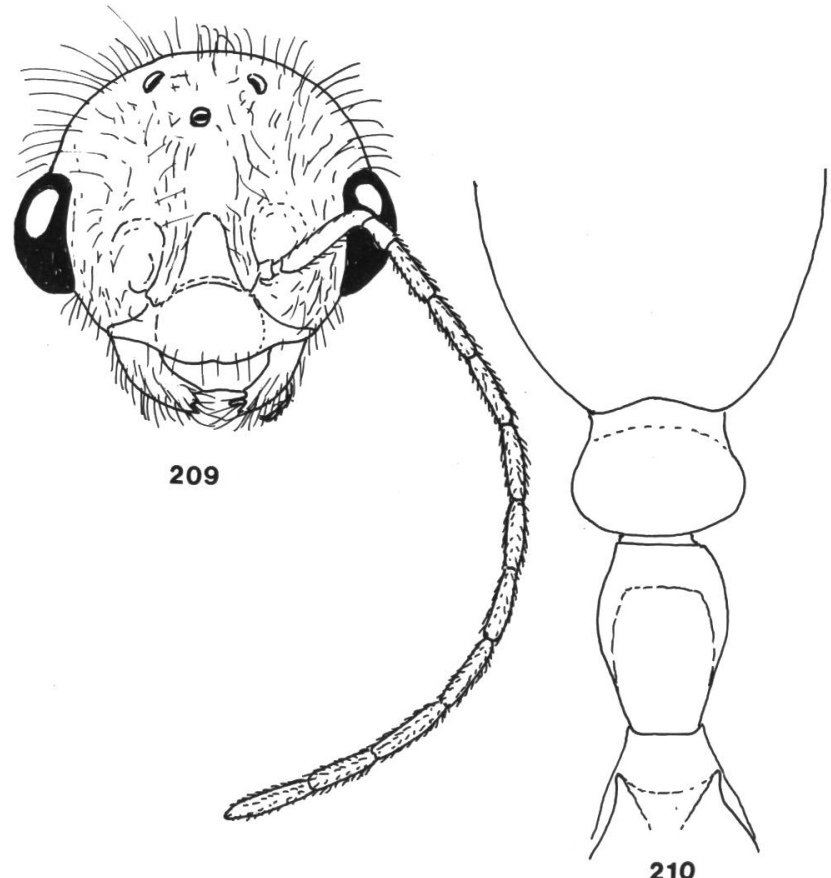
206



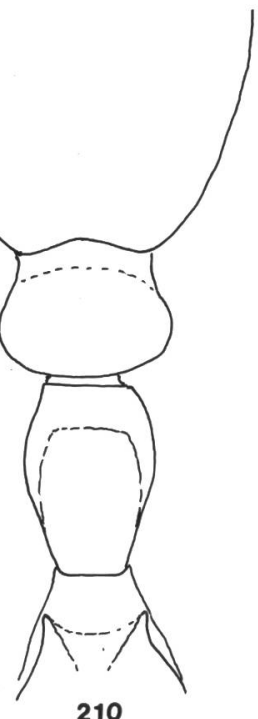
207



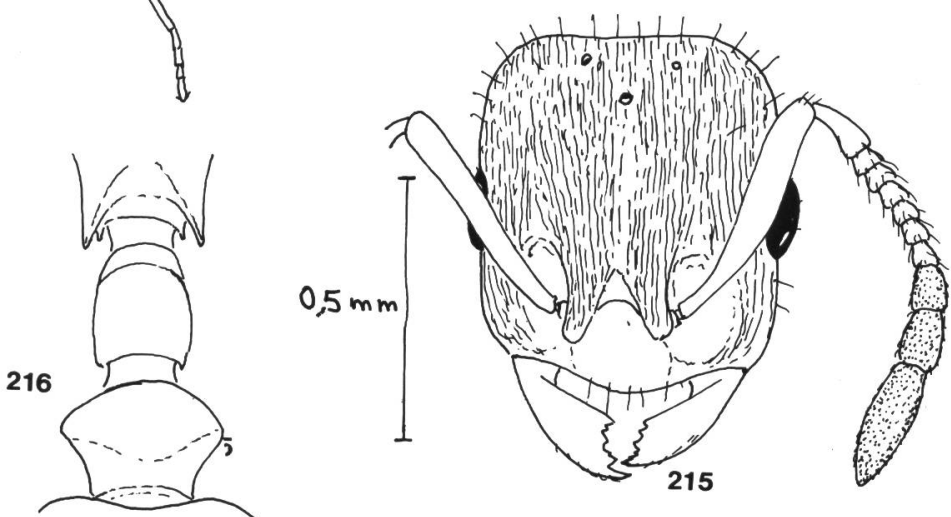
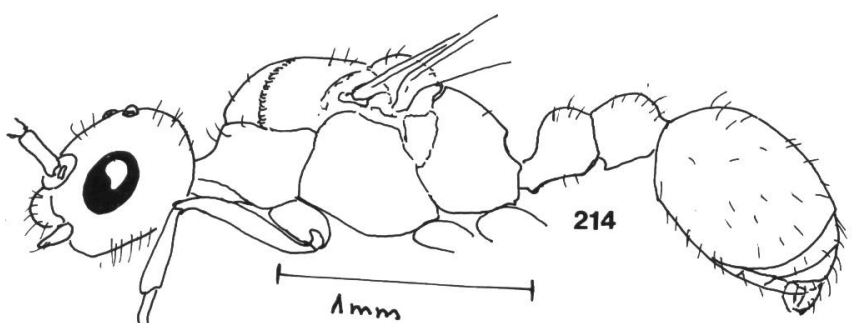
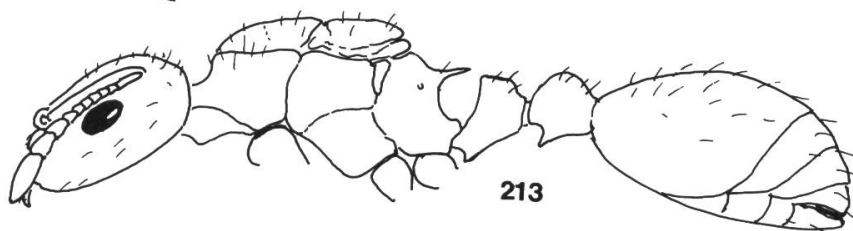
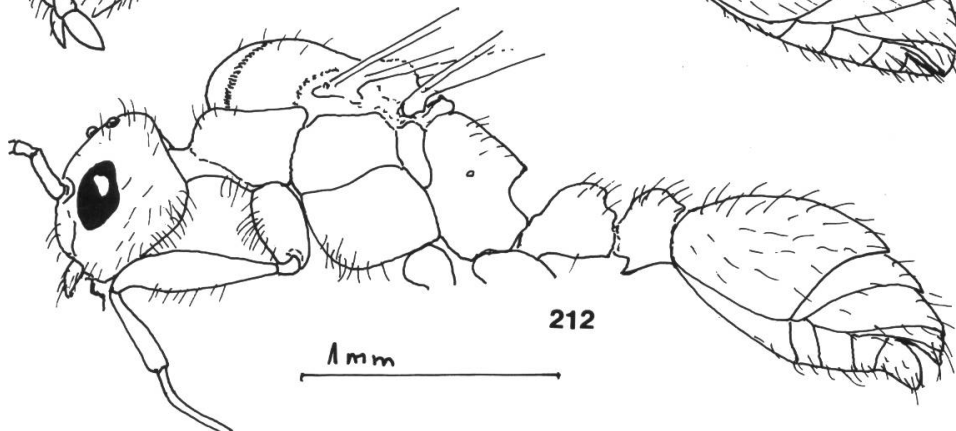
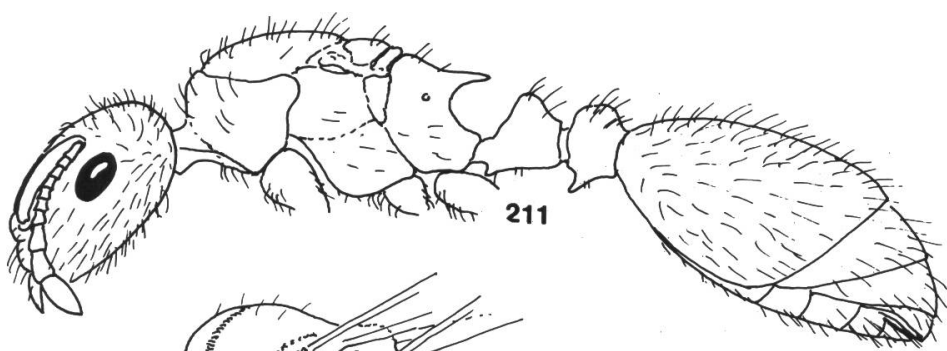
208

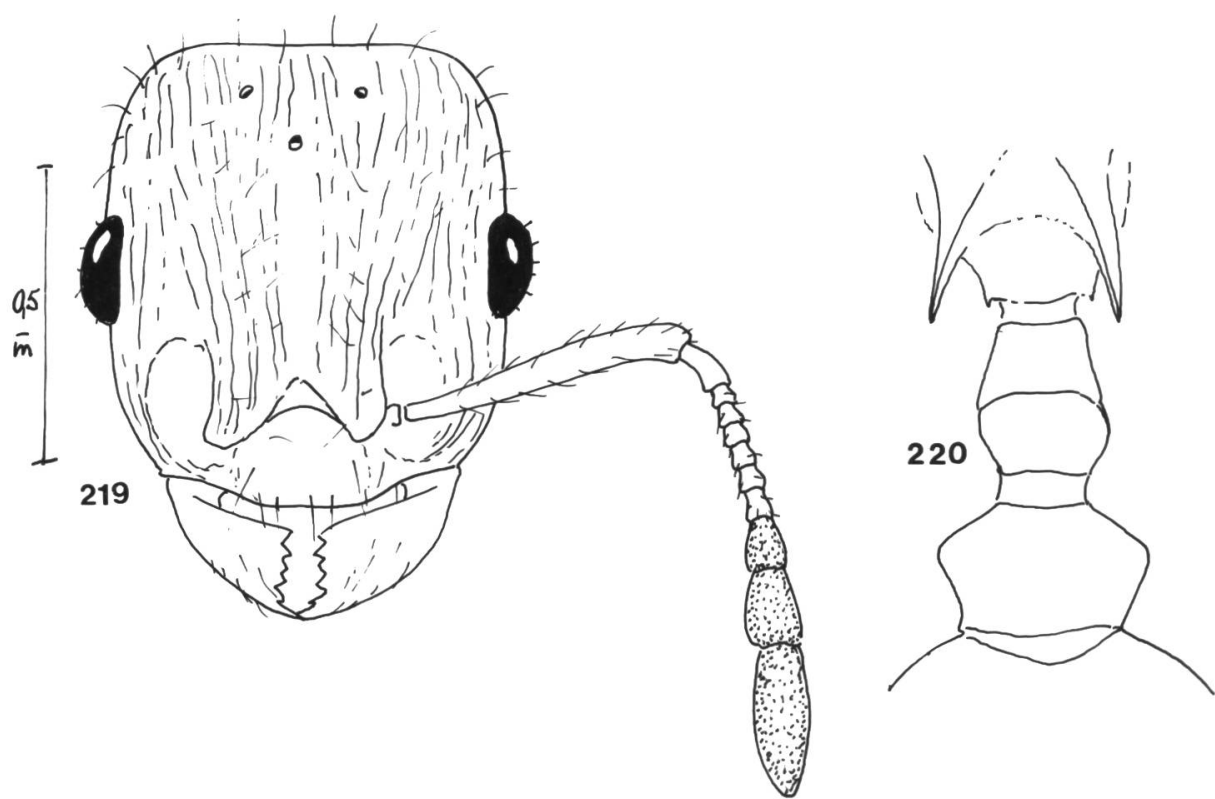
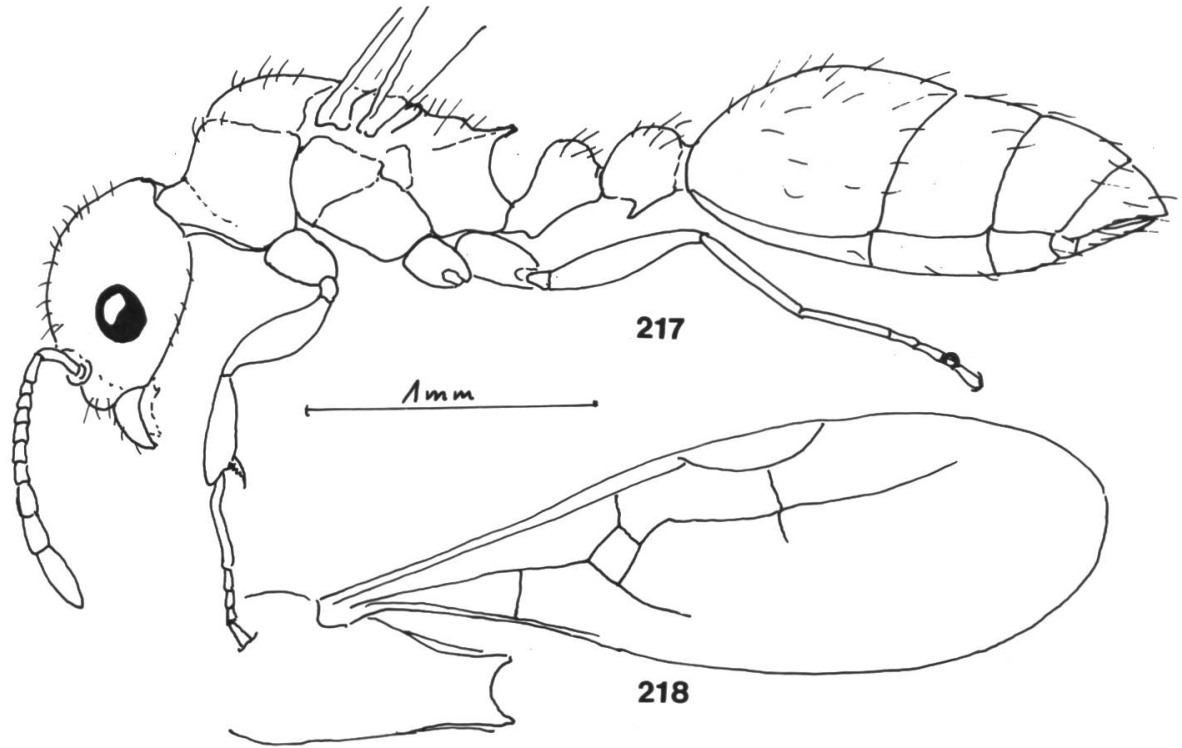


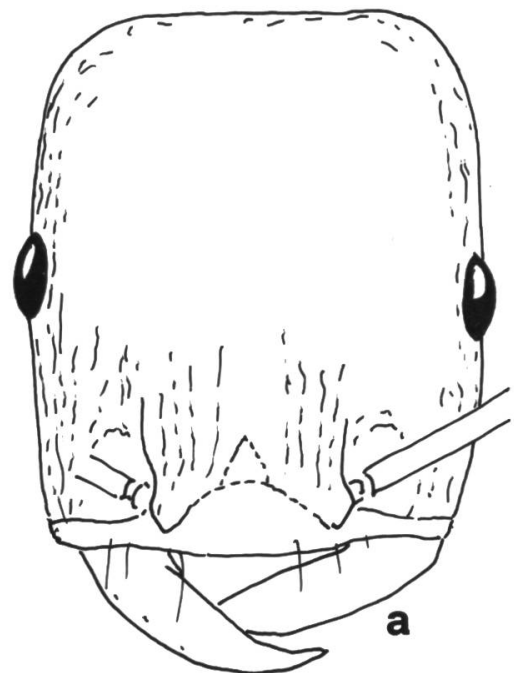
209



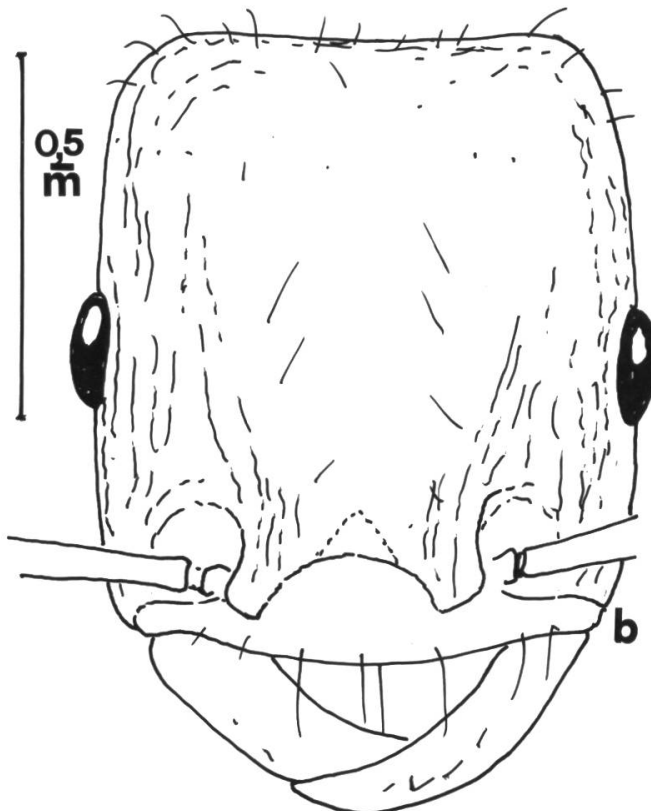
210



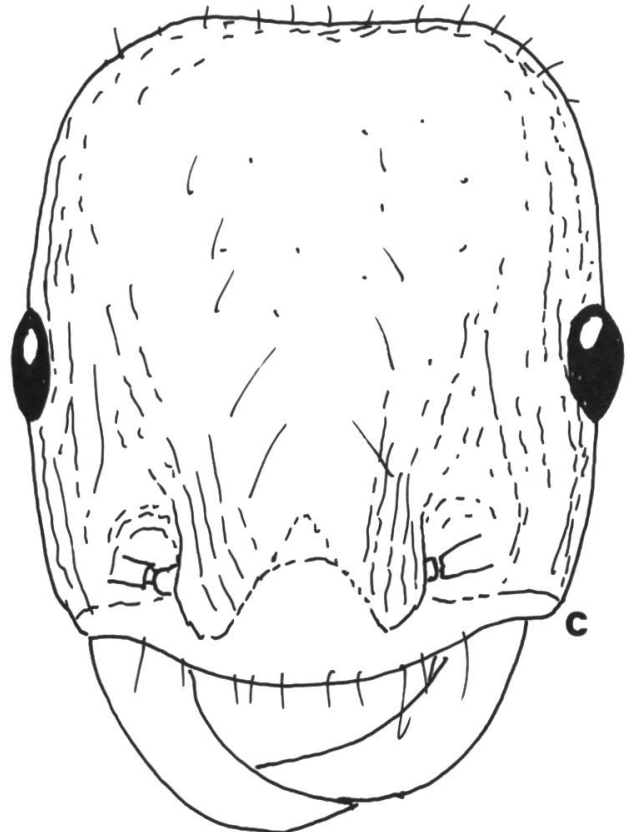




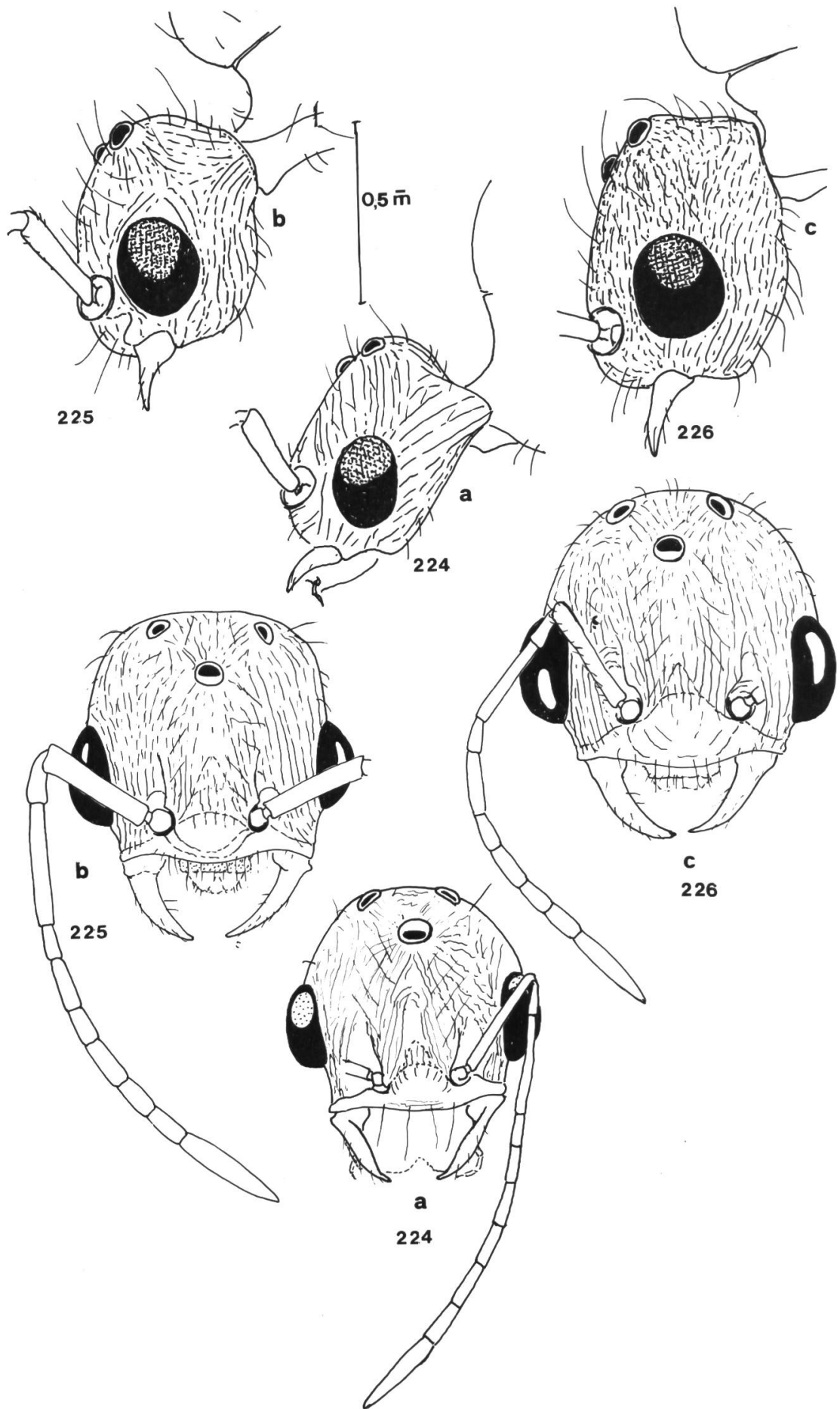
221

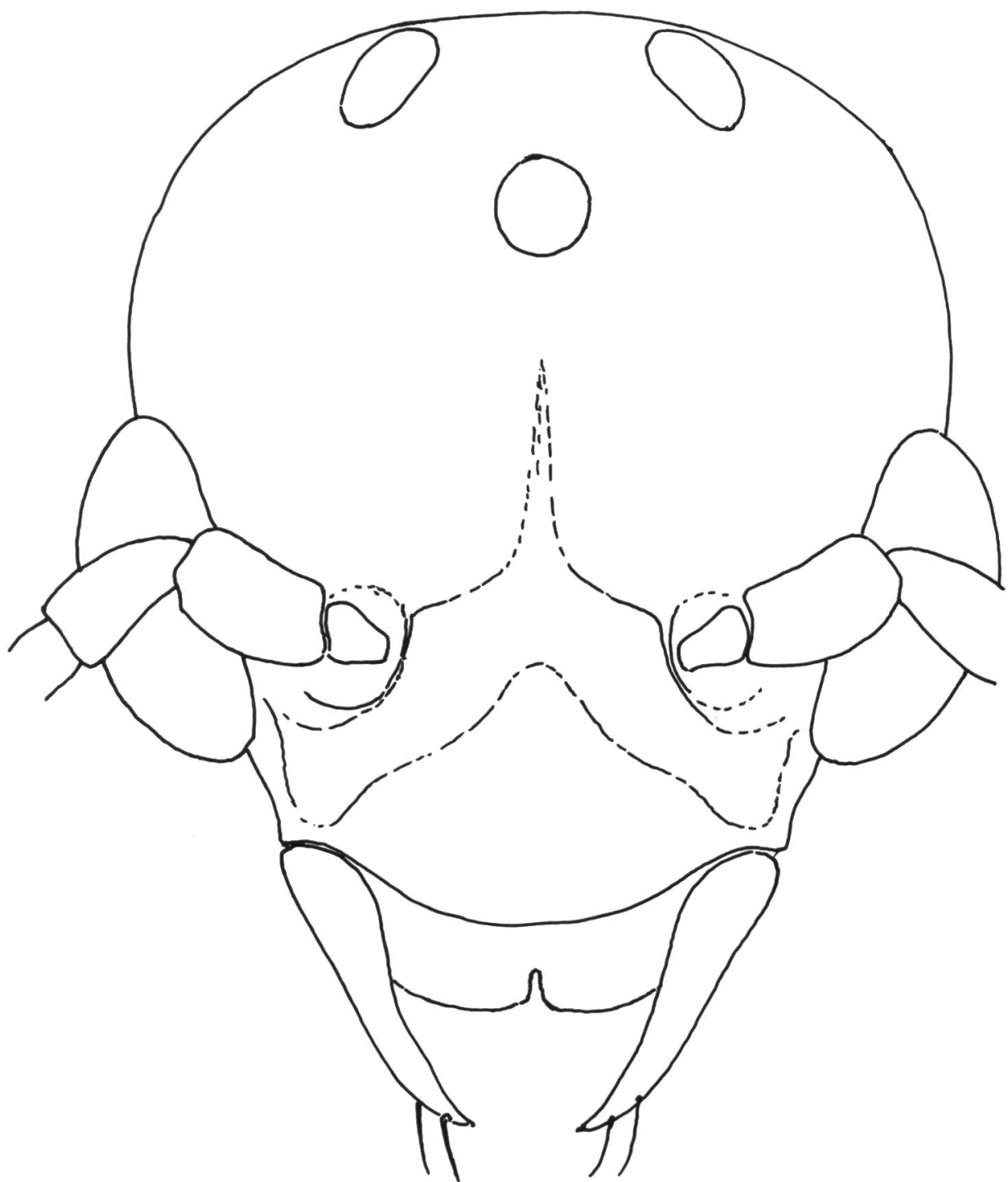


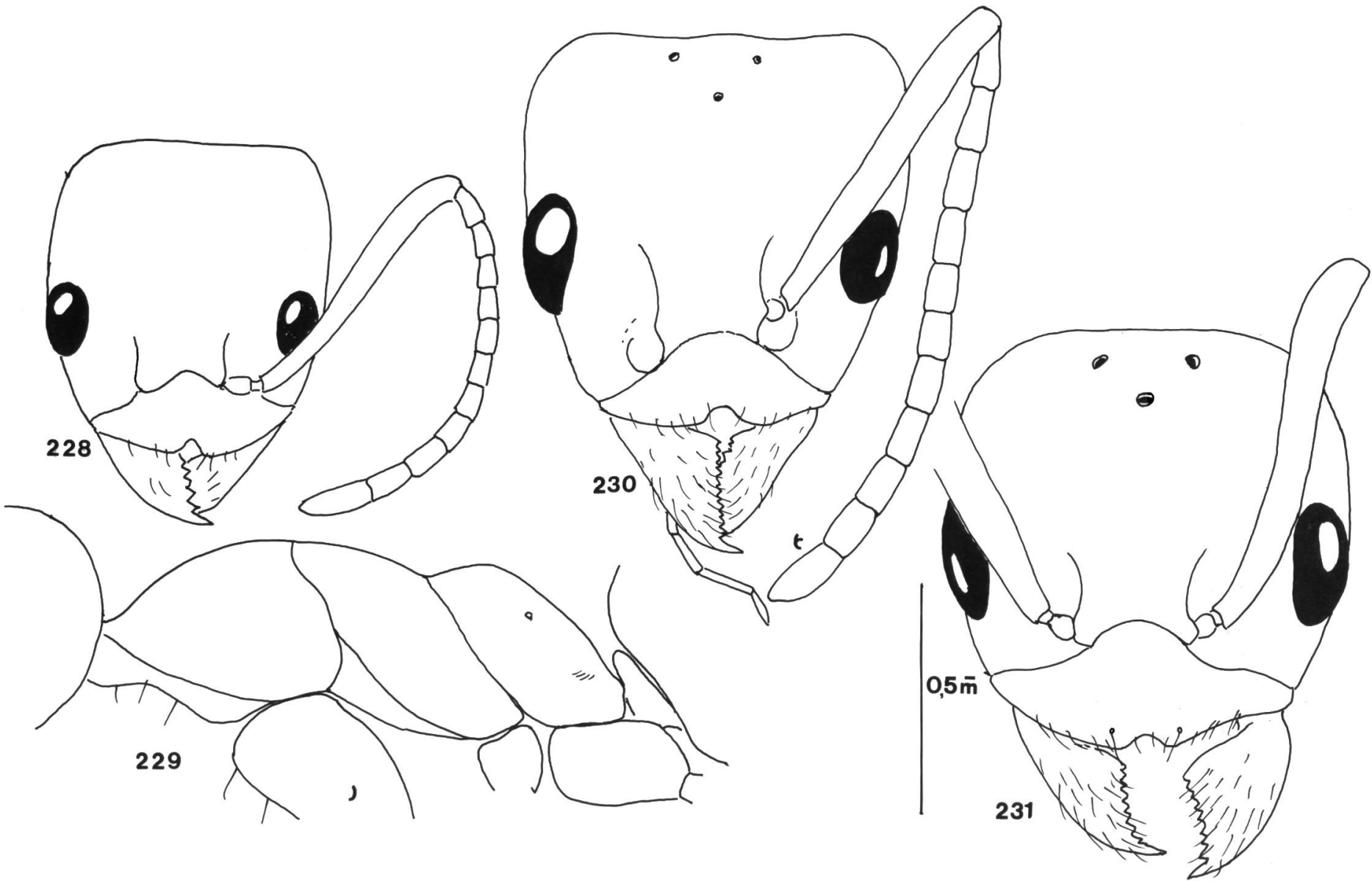
222

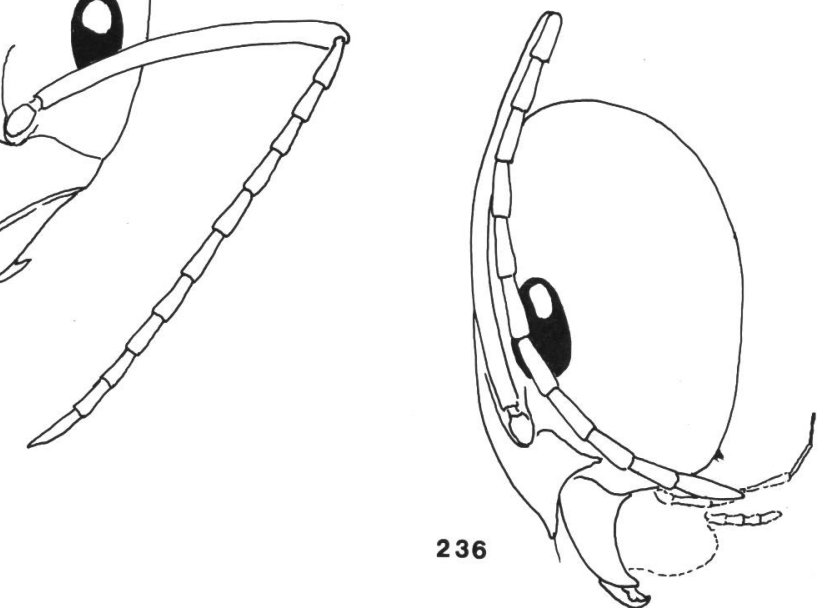
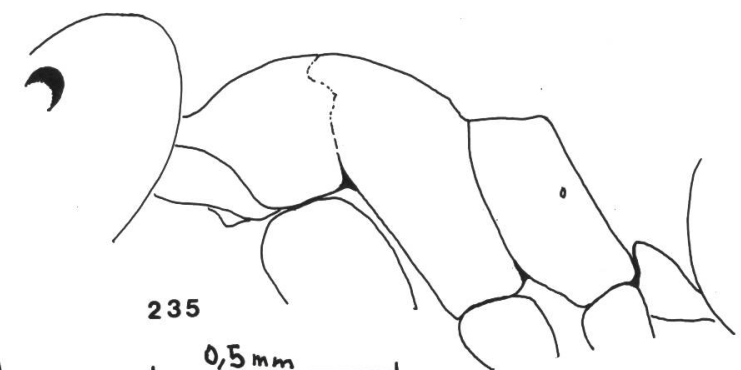
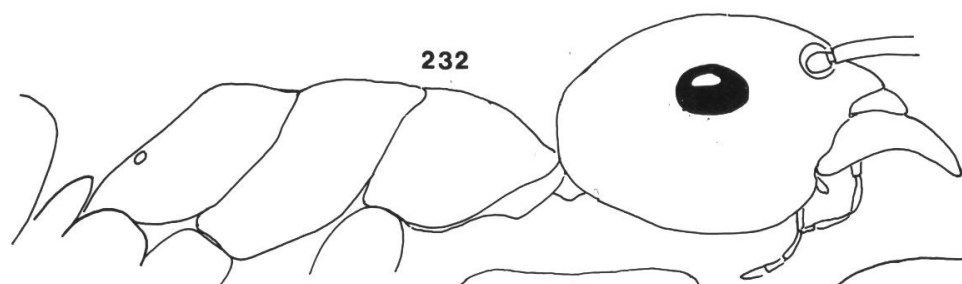


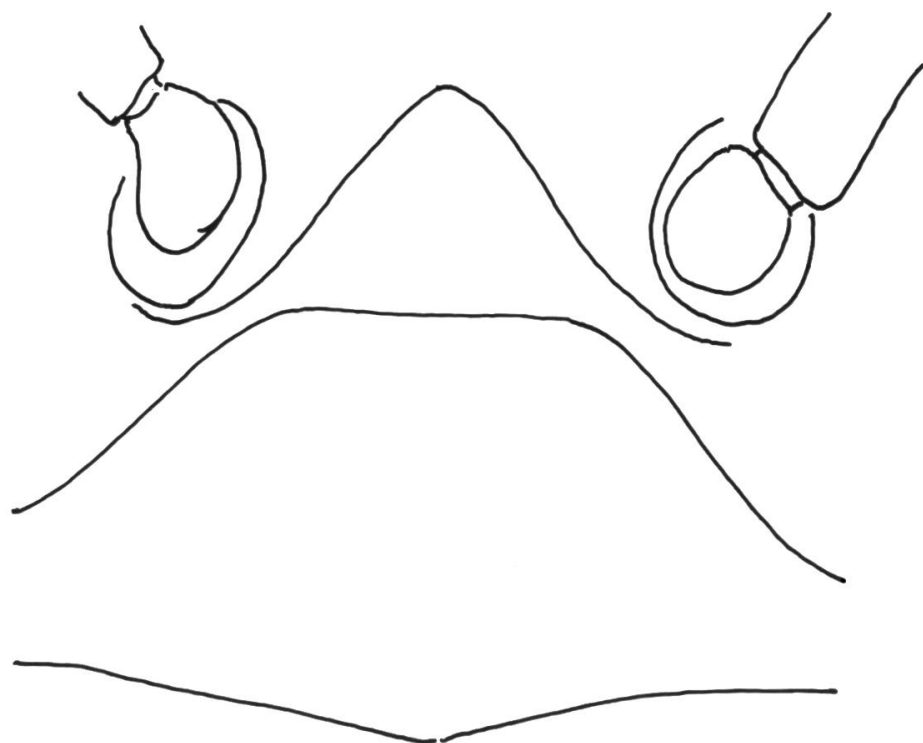
223



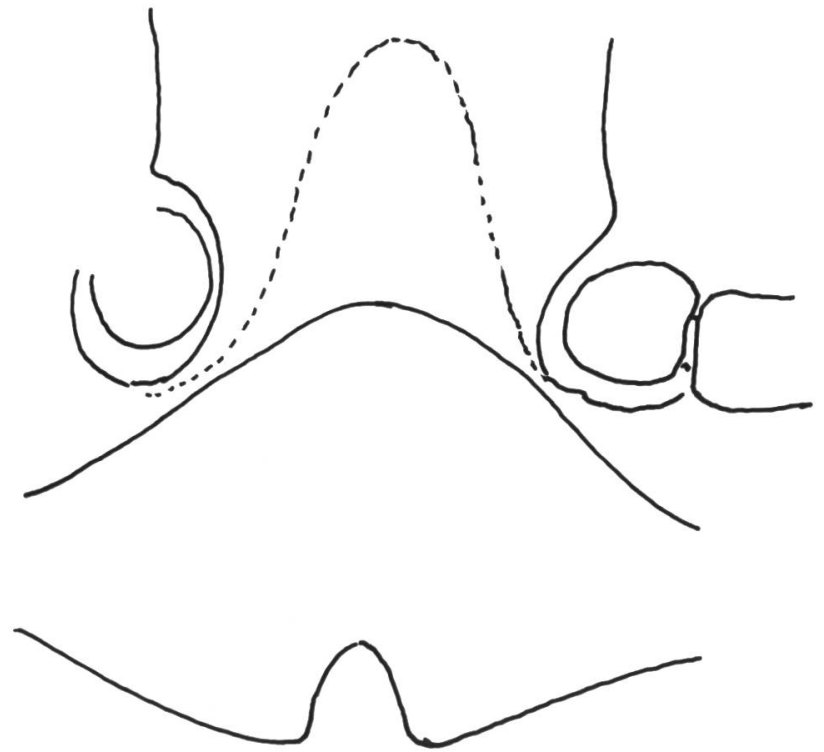




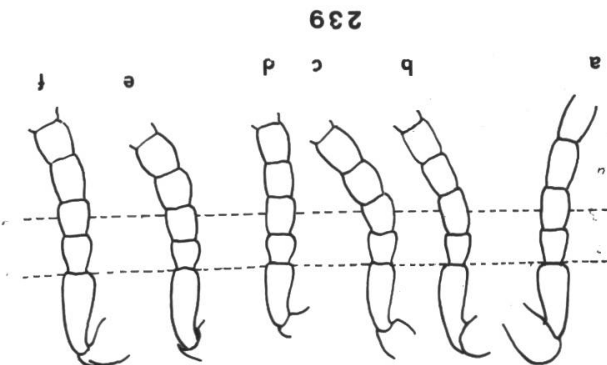
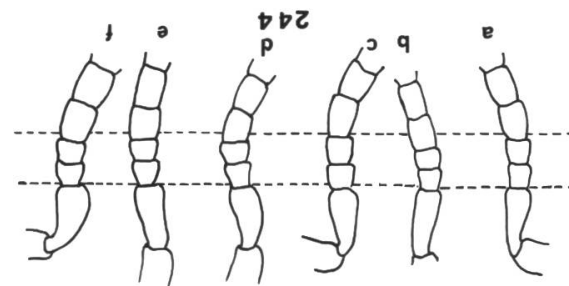
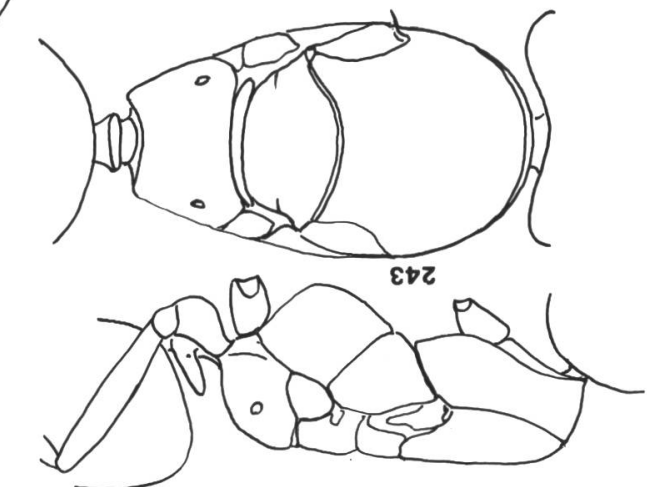
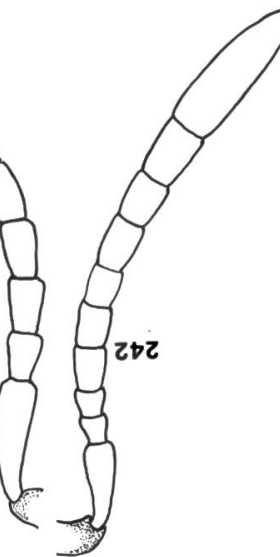
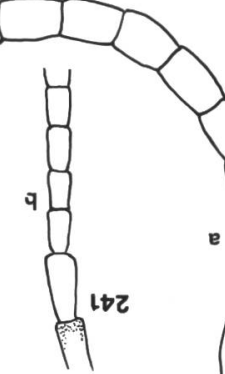
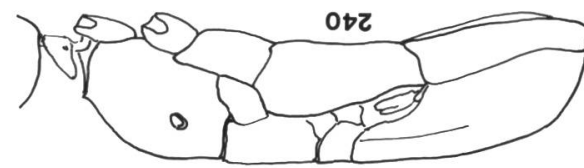
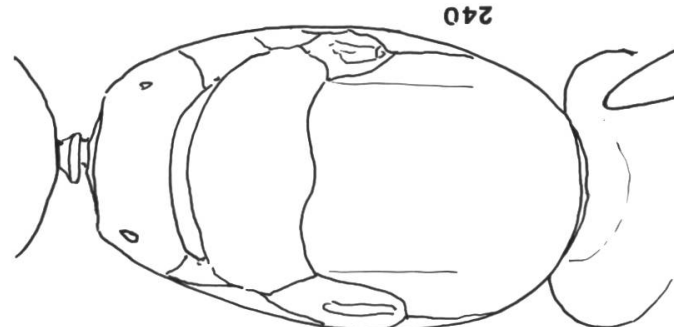


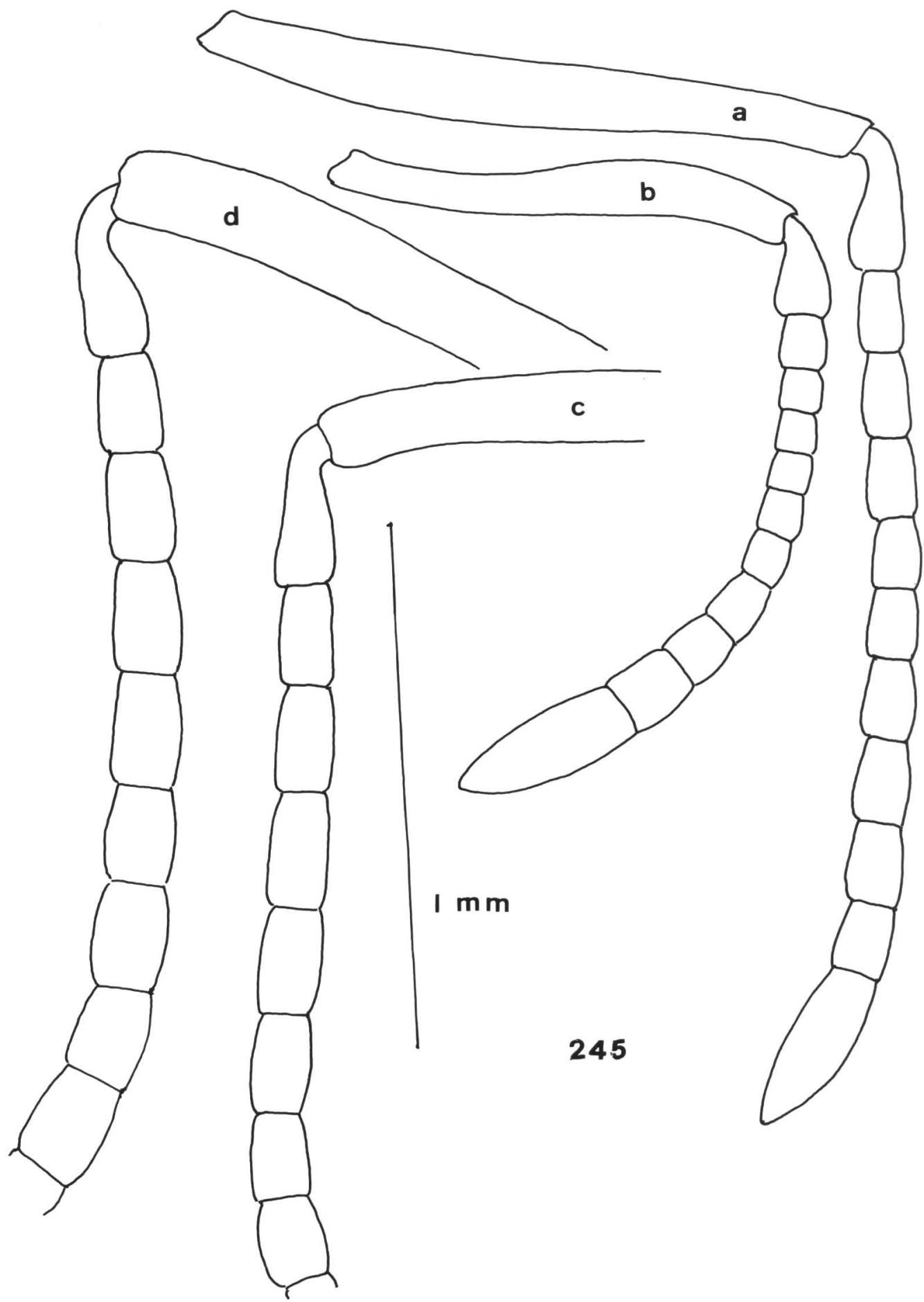


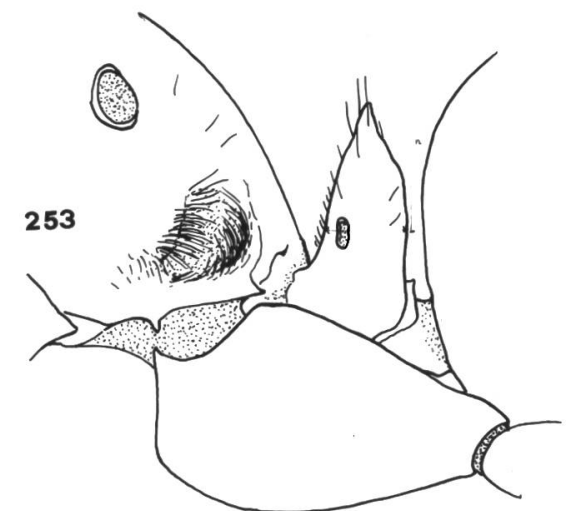
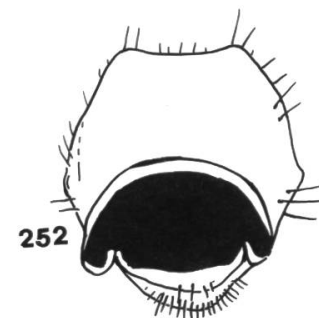
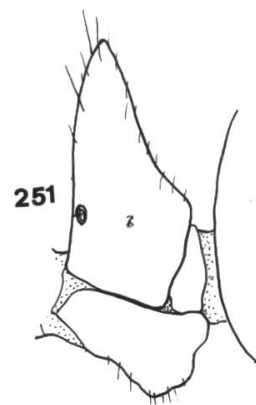
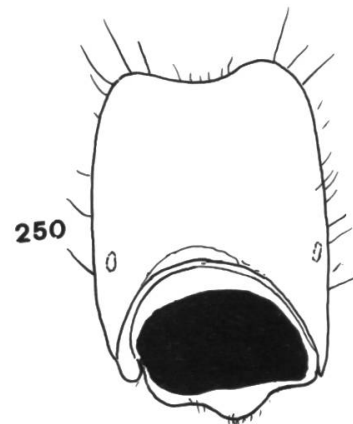
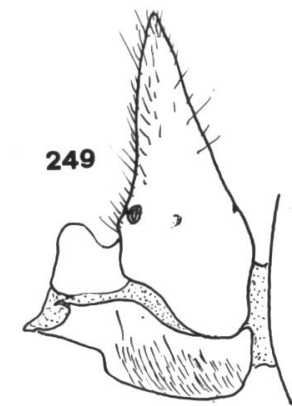
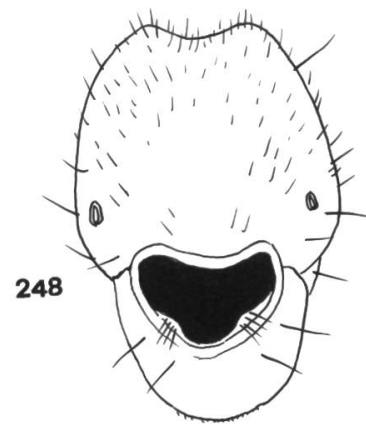
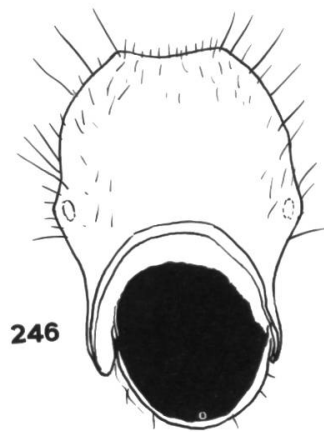
237

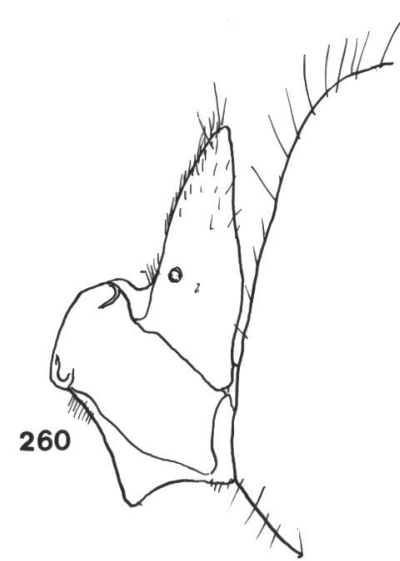
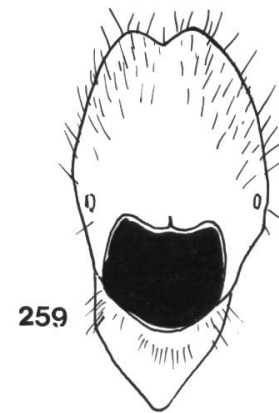
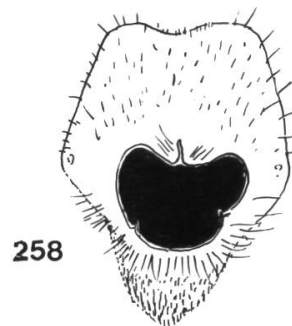
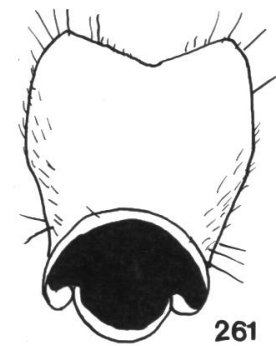
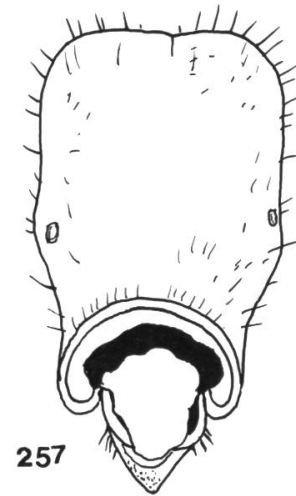
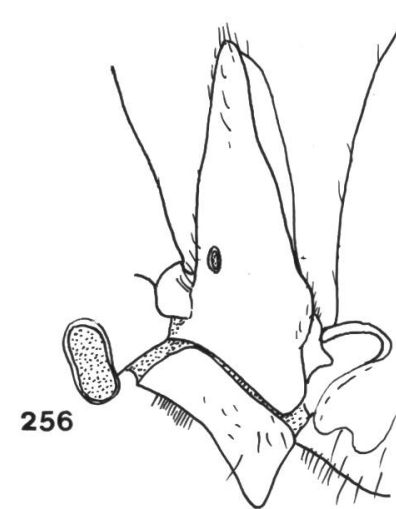
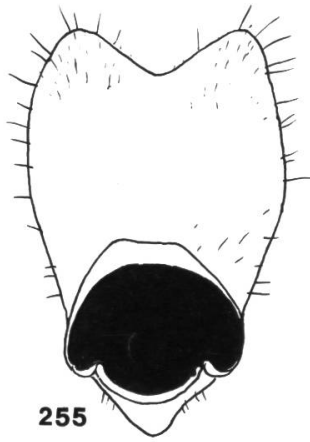
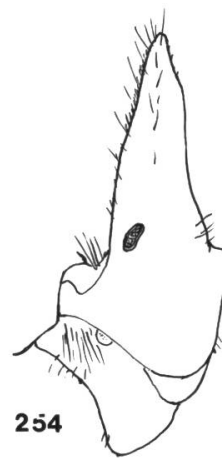


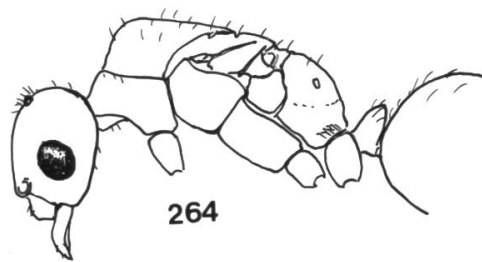
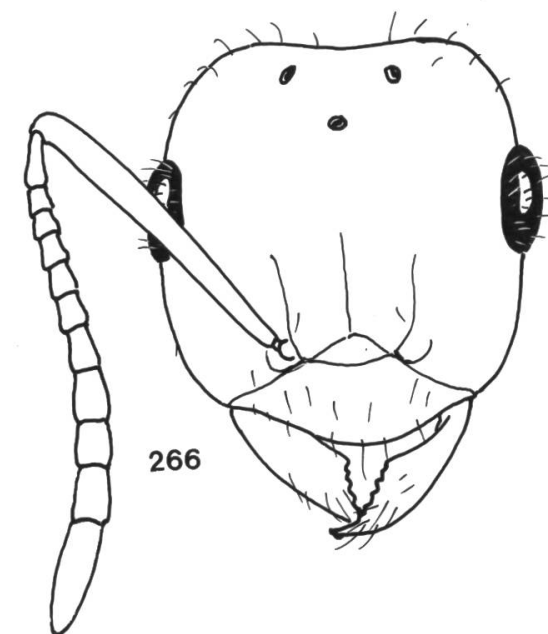
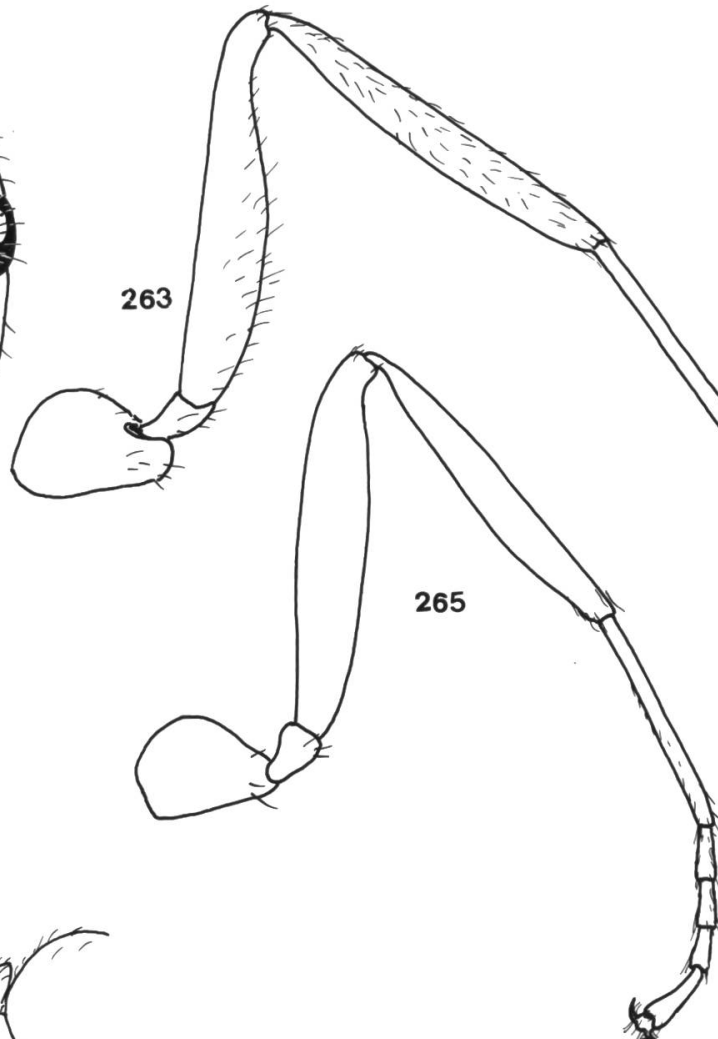
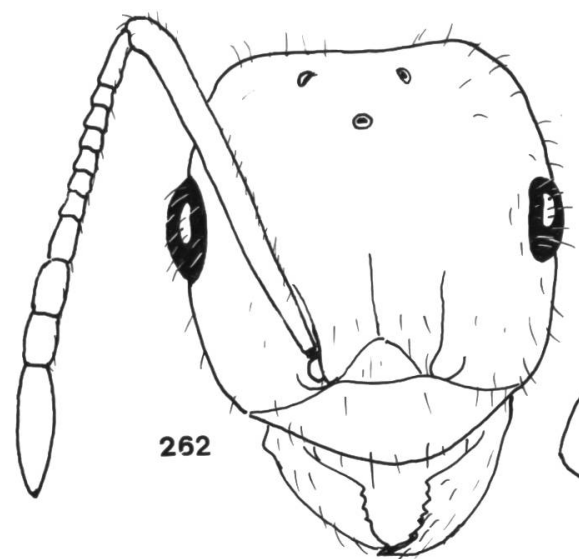
238

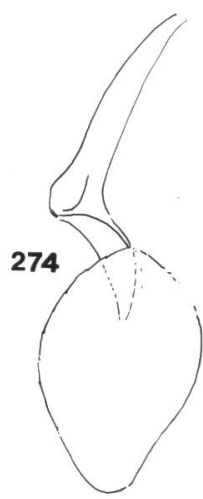
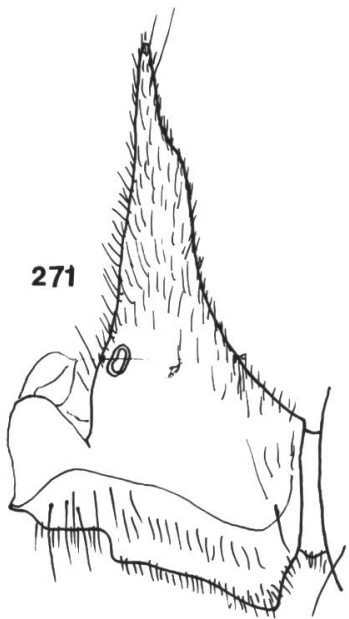
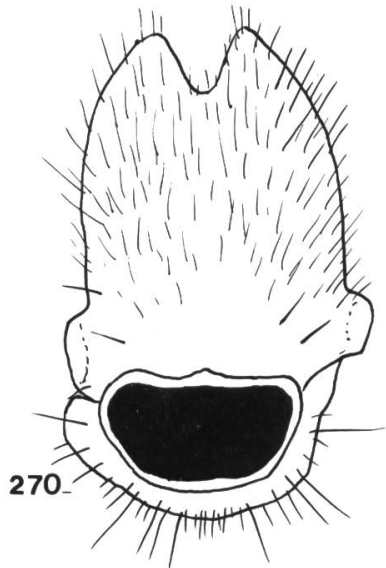
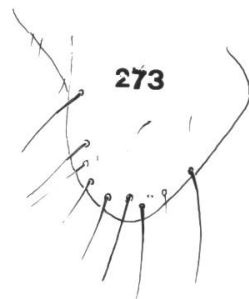
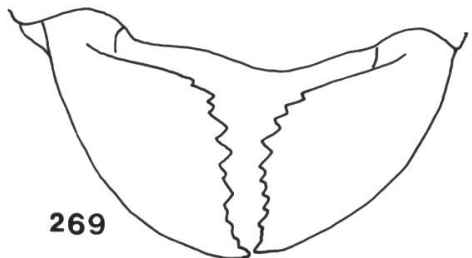
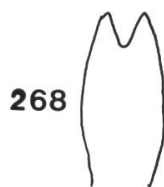
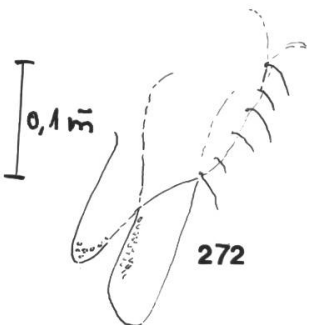
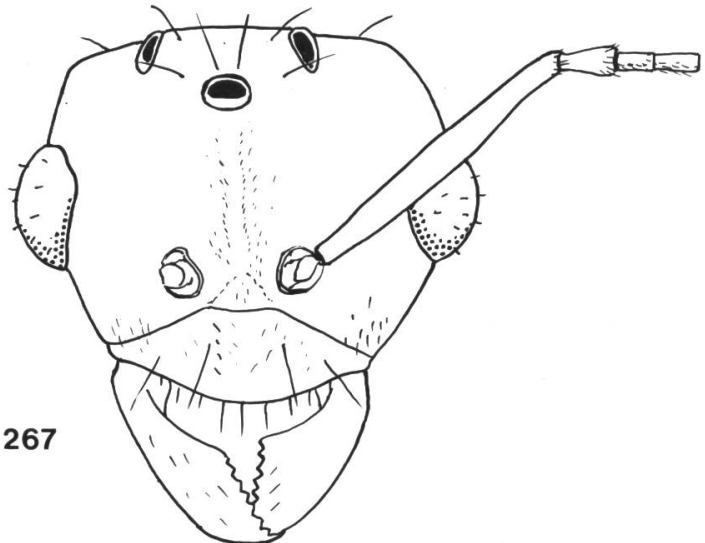


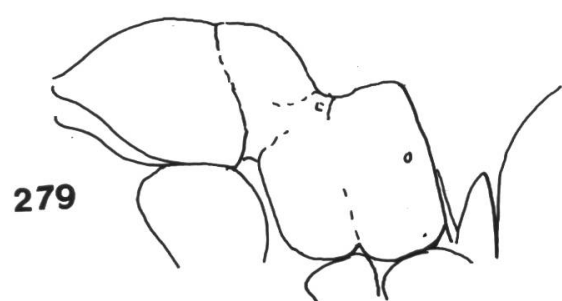
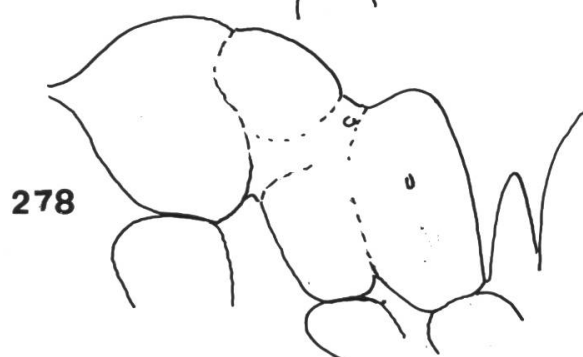
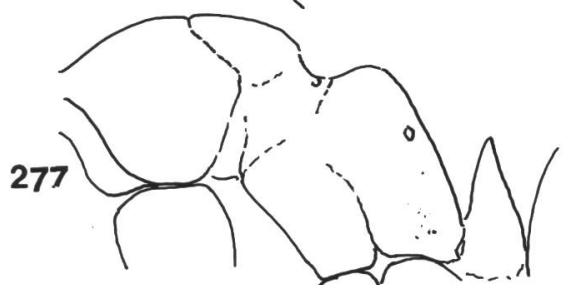
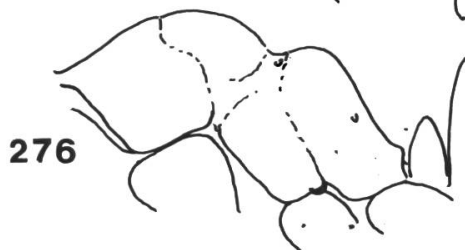
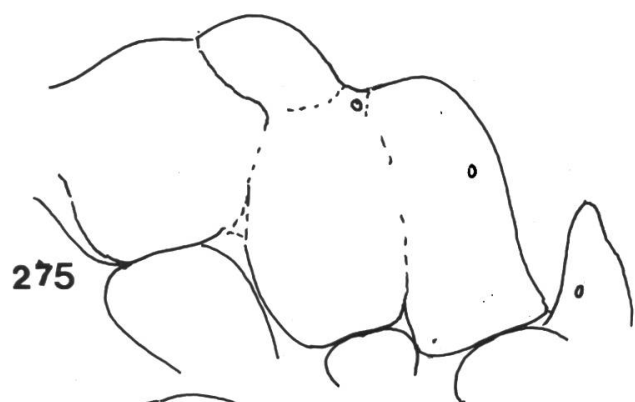




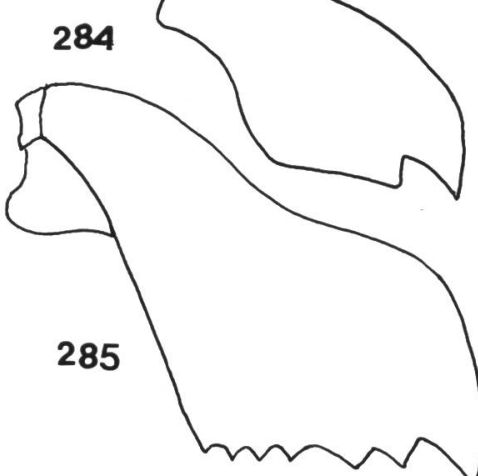
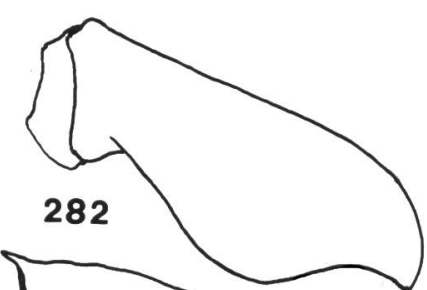
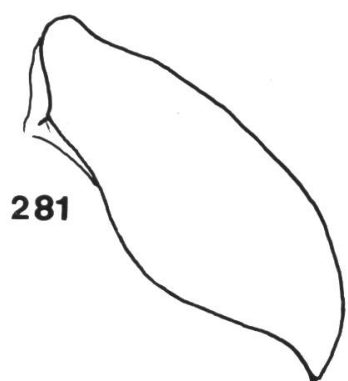
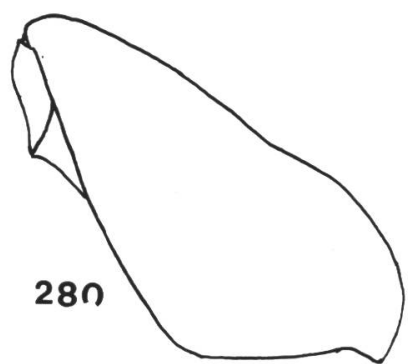




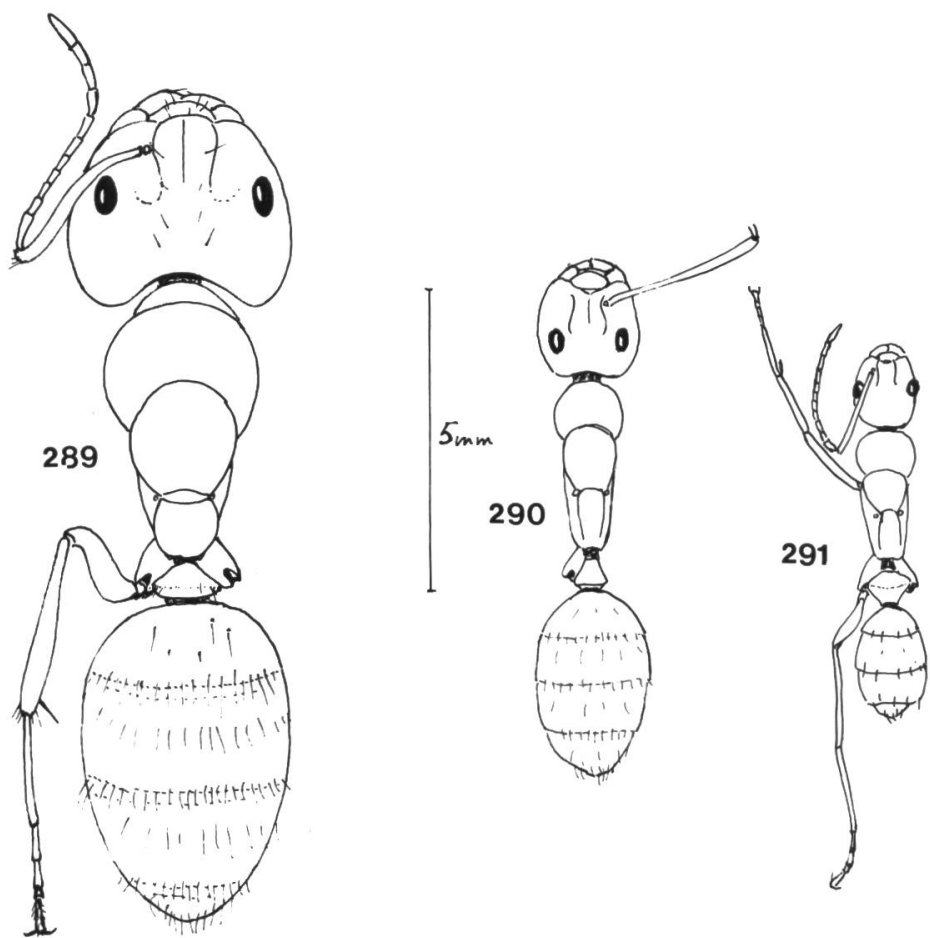
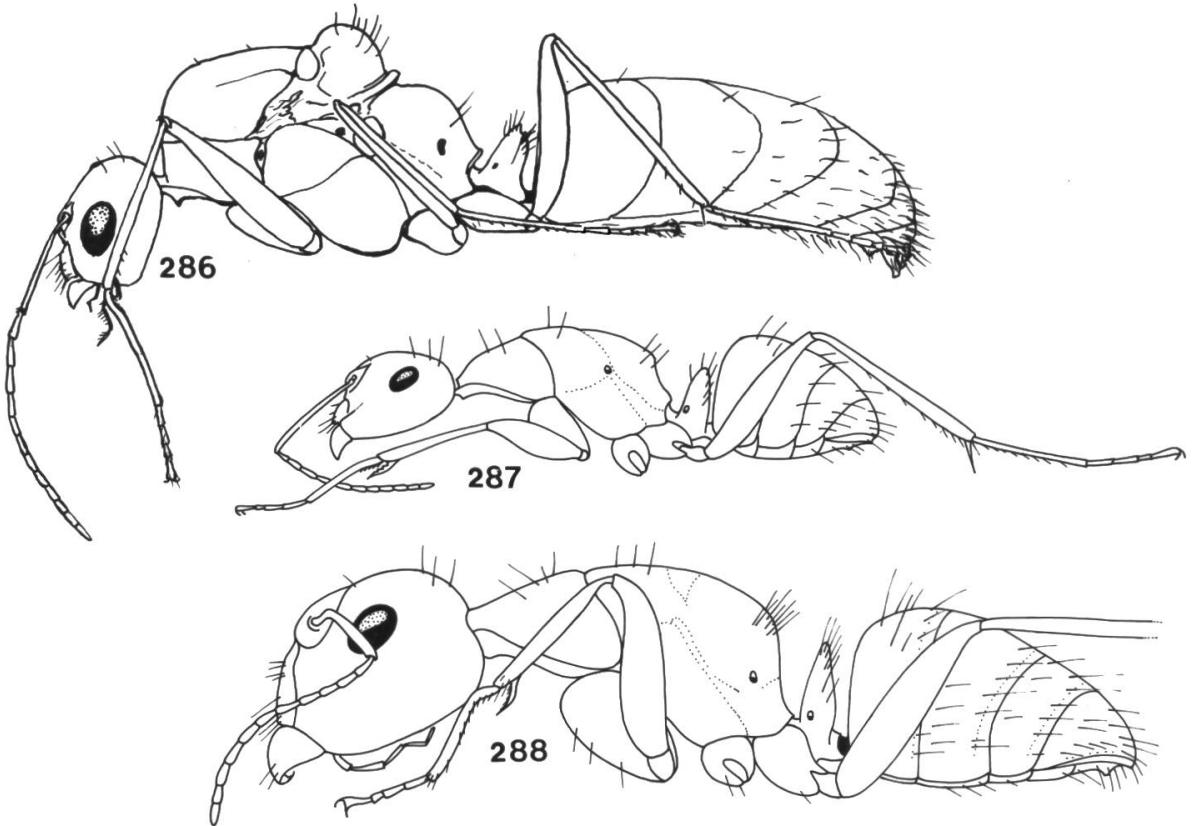


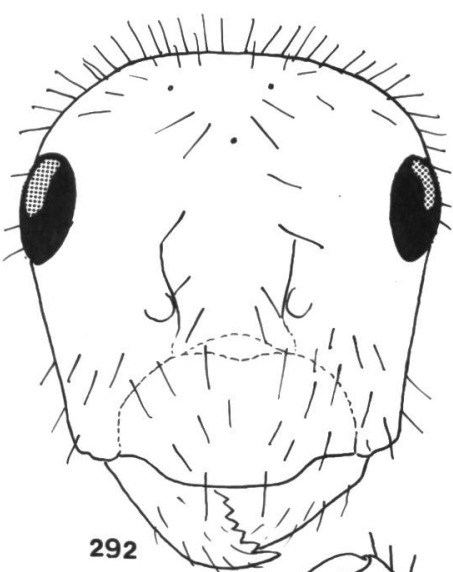


1 mm

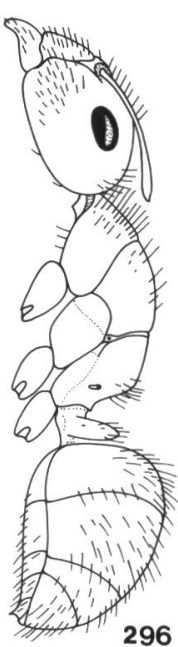


285

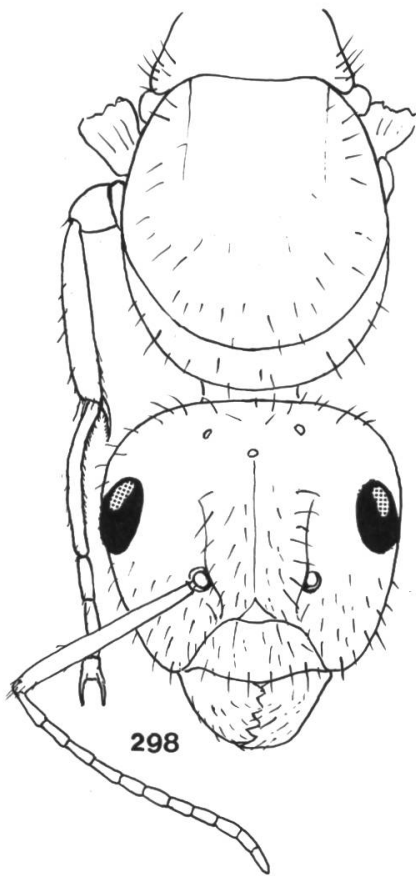




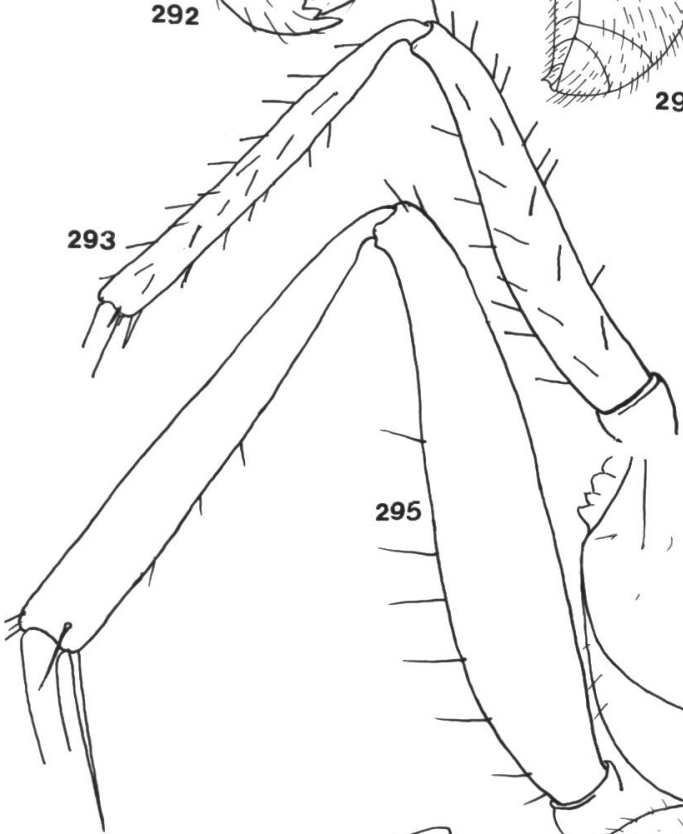
292



296

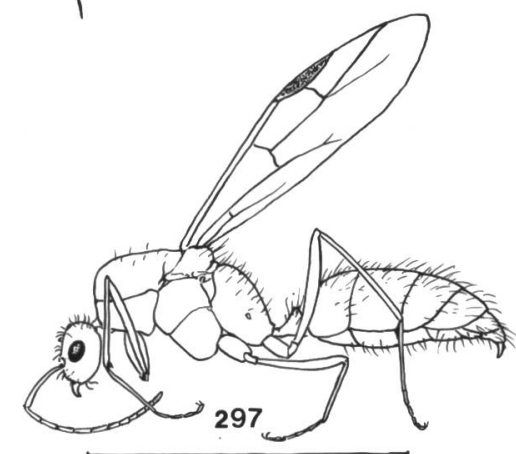


298



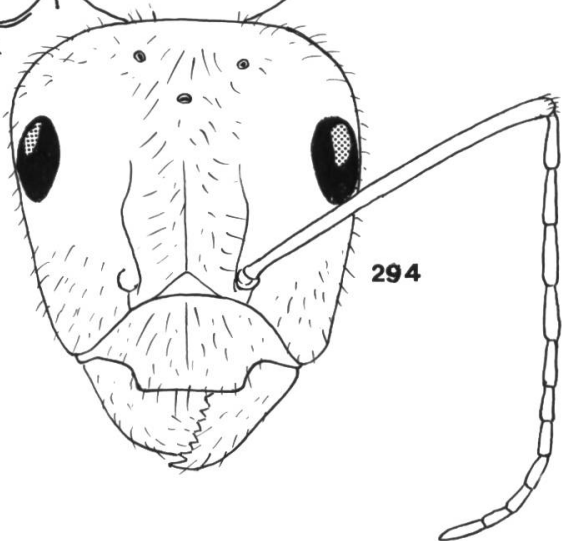
293

295

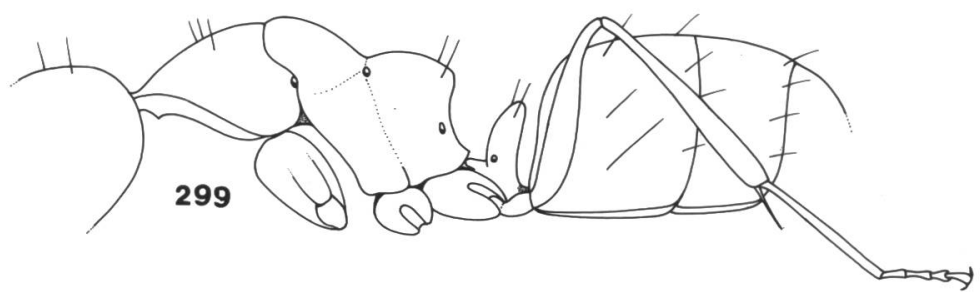


297

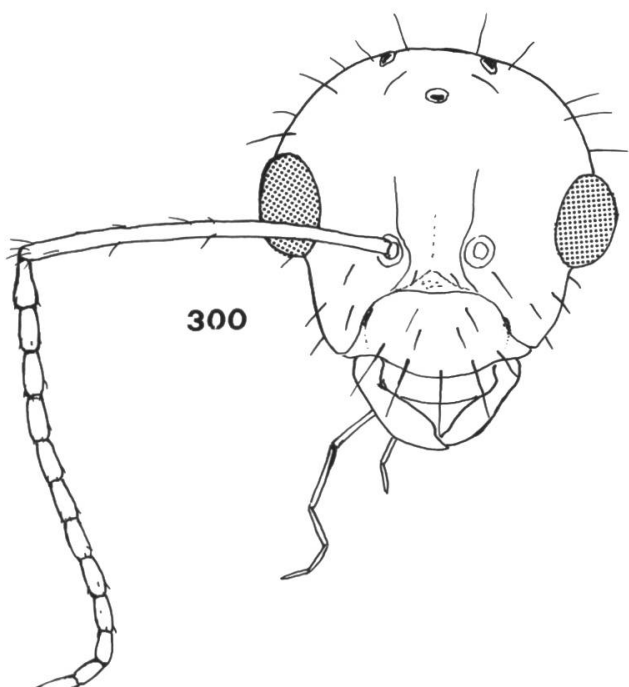
5mm



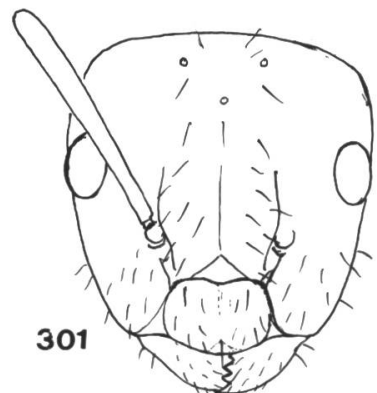
294



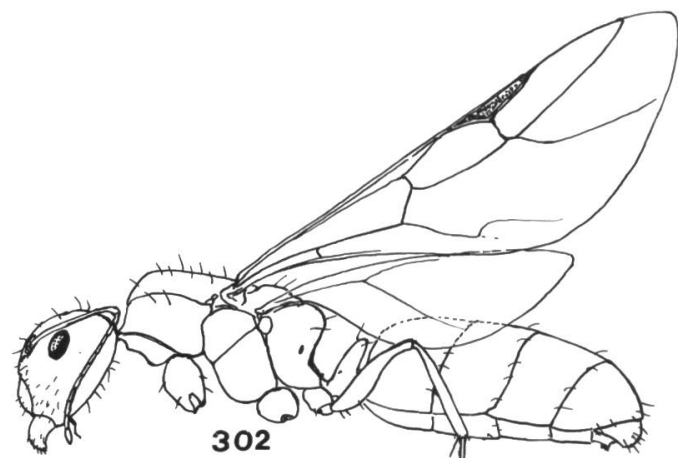
299



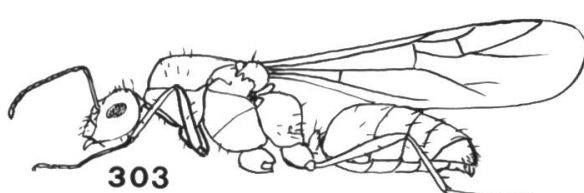
300



301



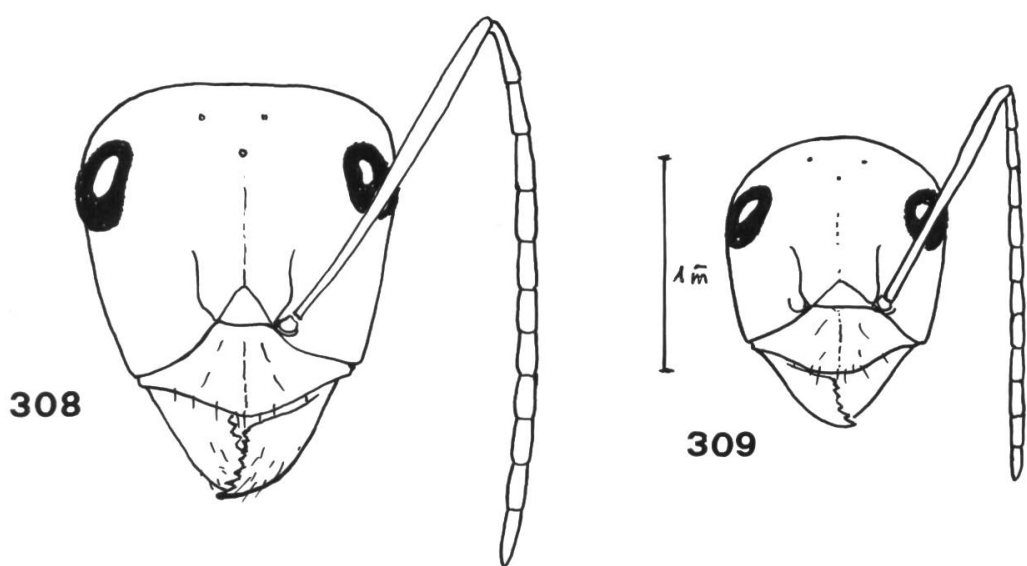
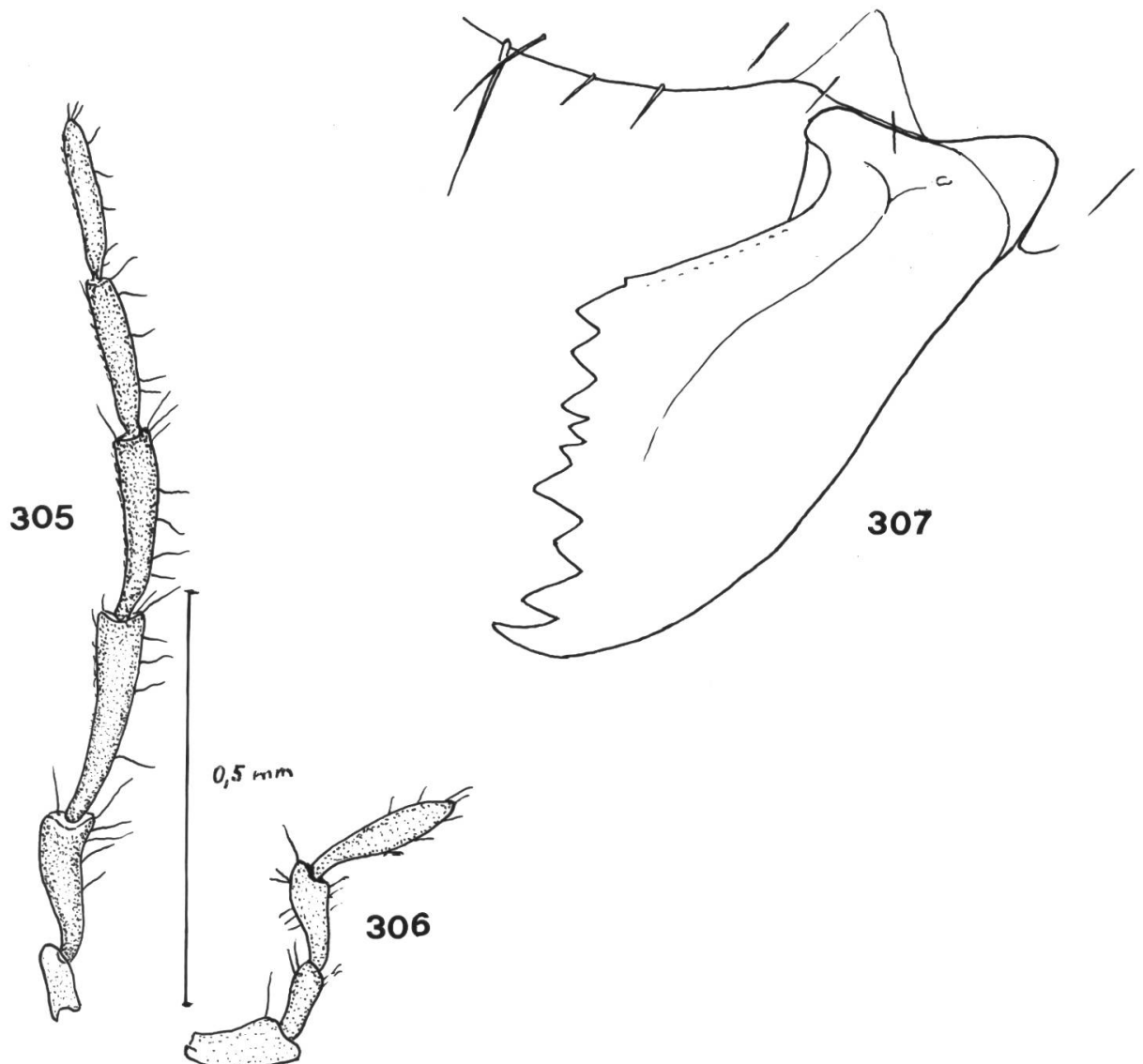
302

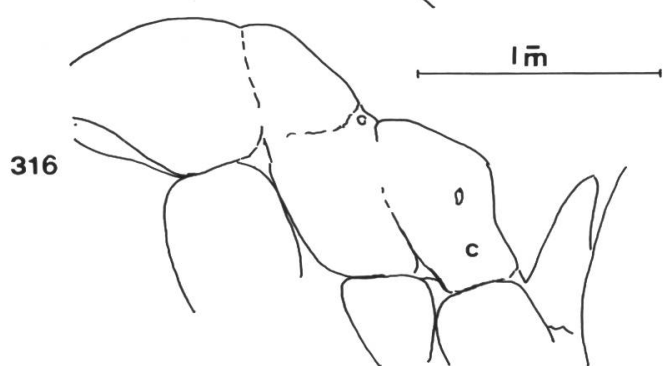
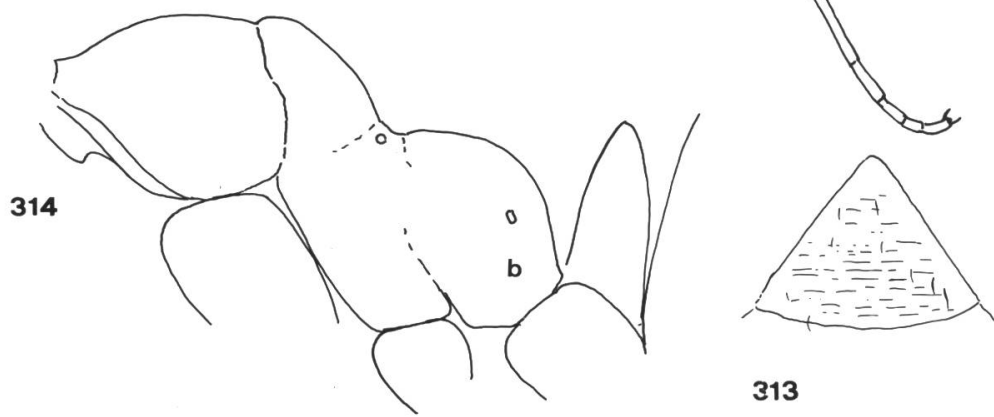
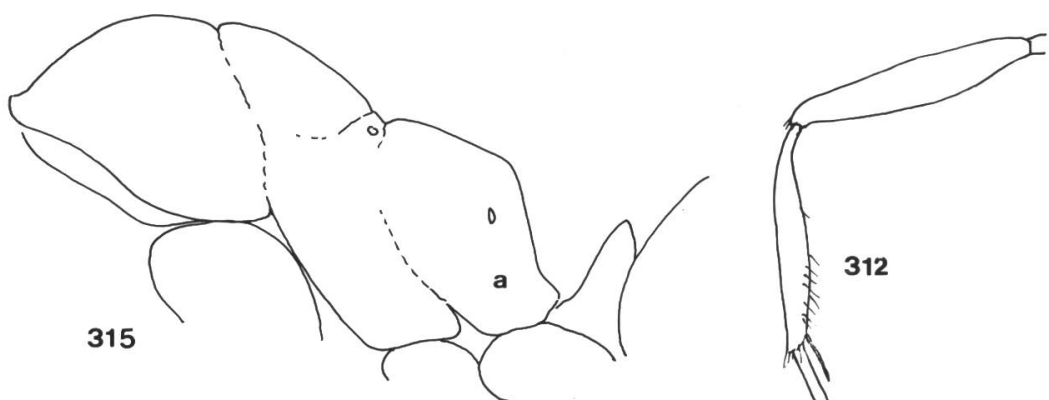
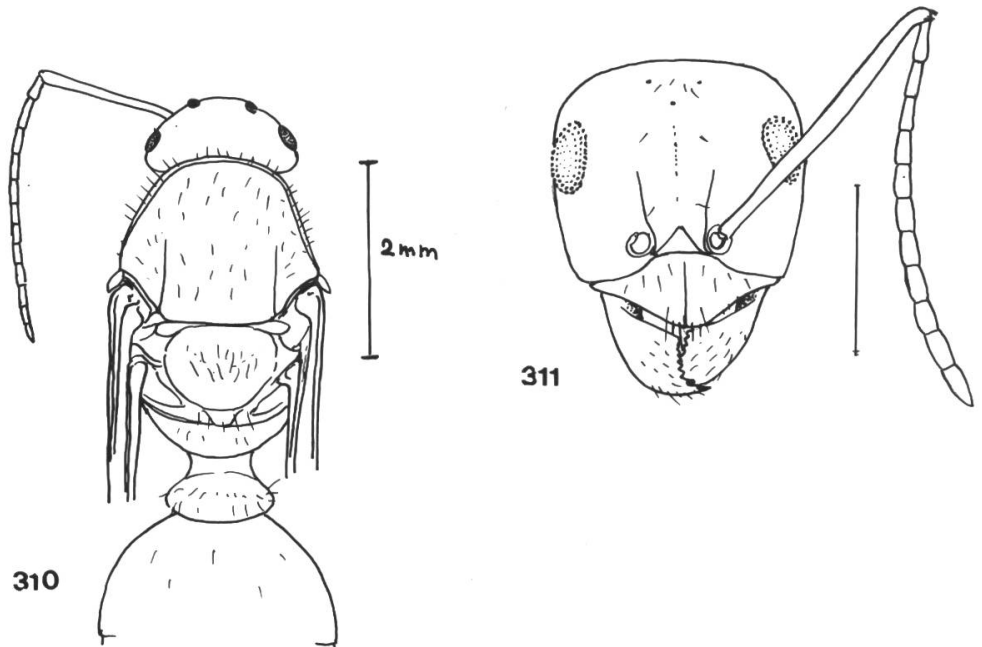


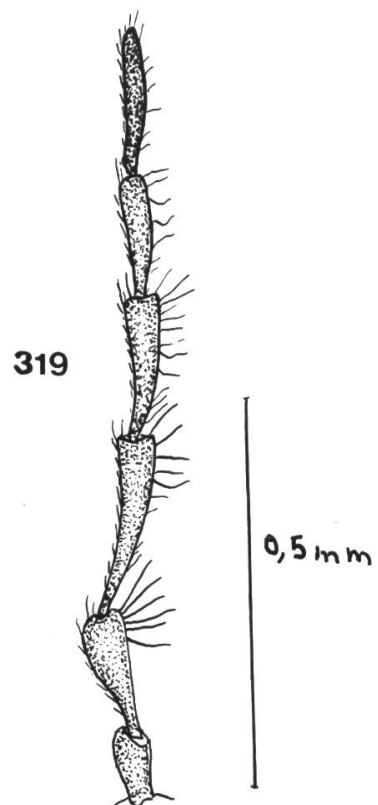
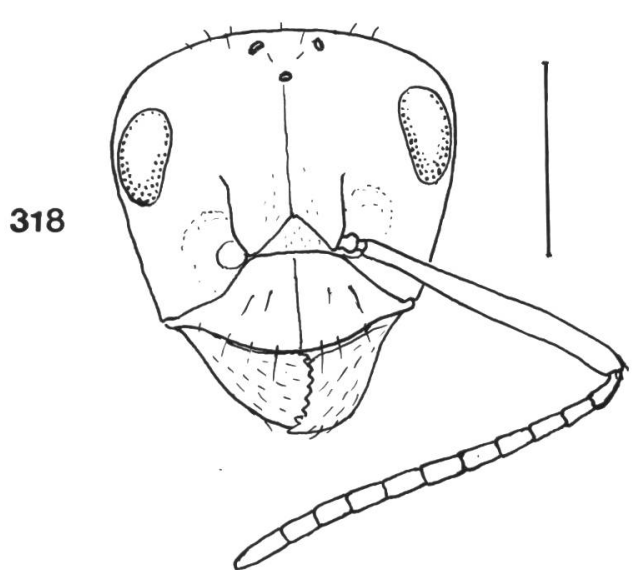
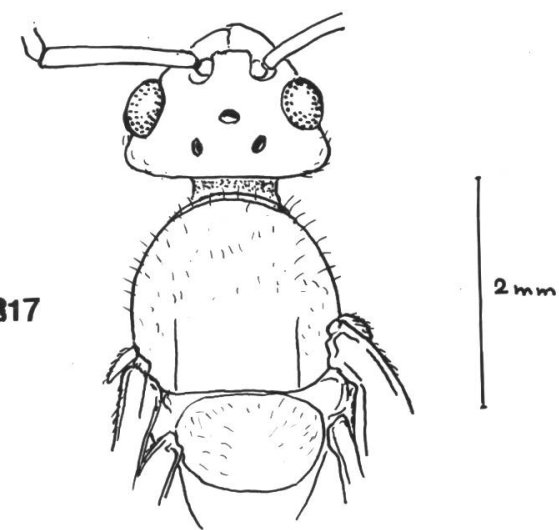
303

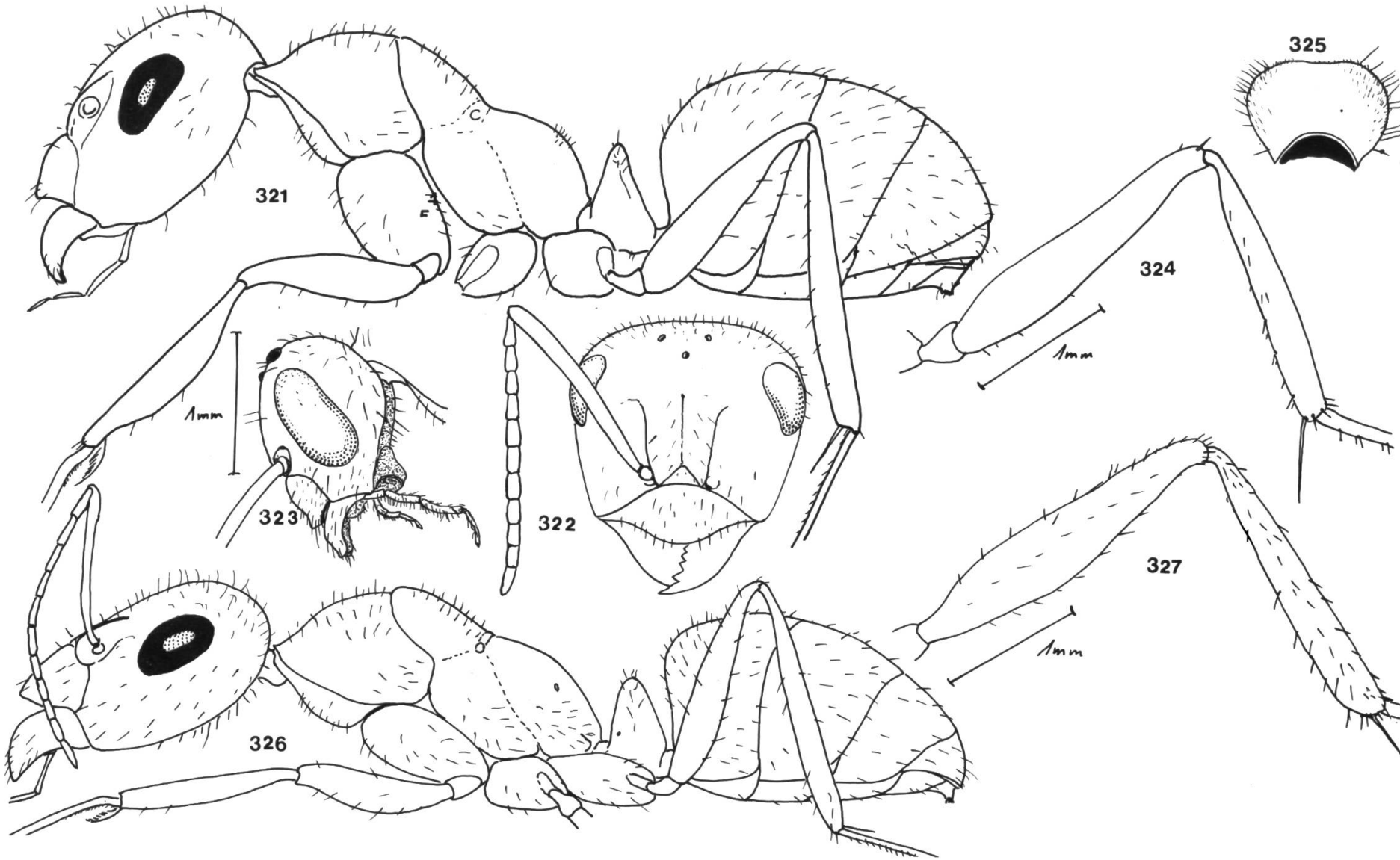


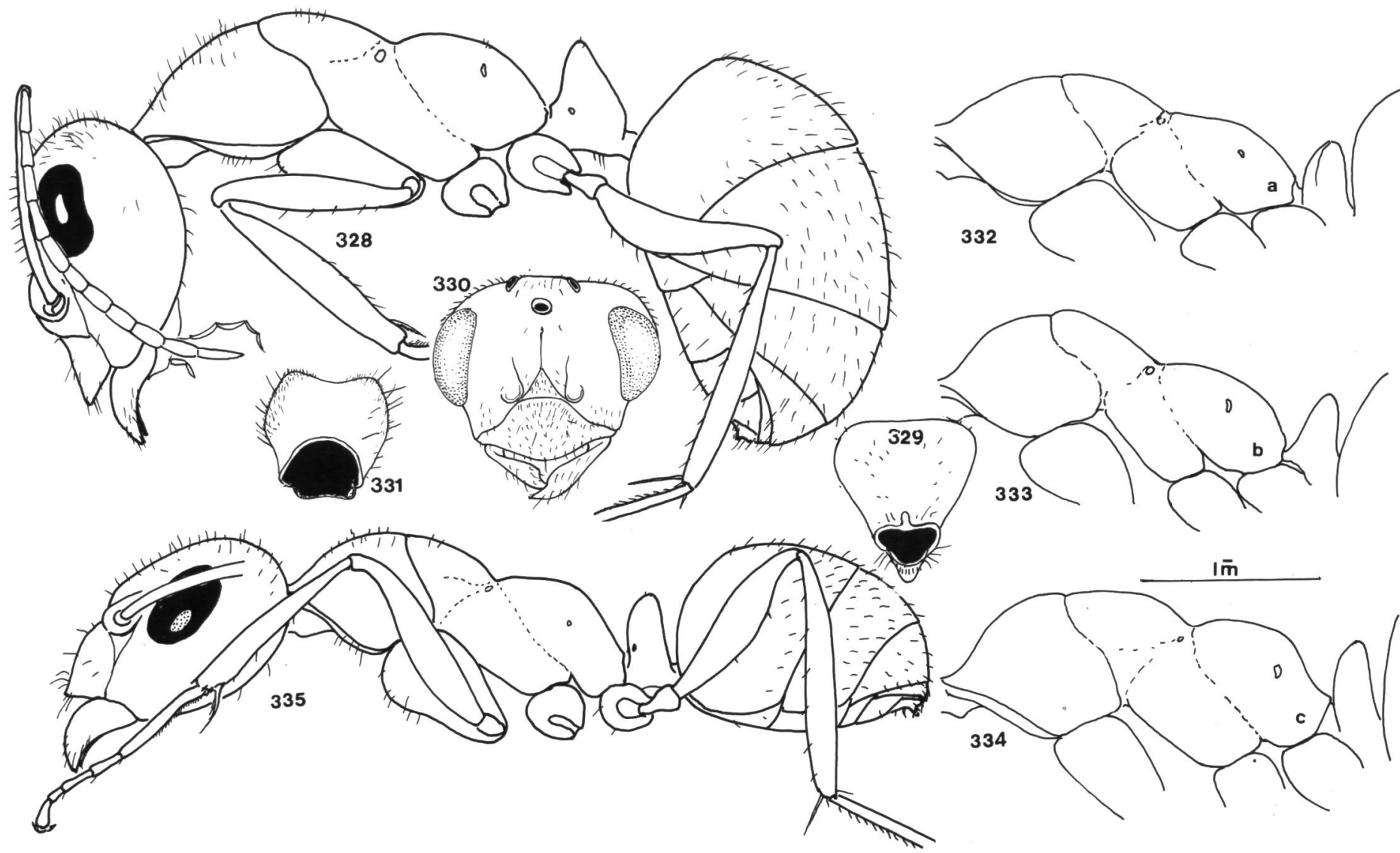
304

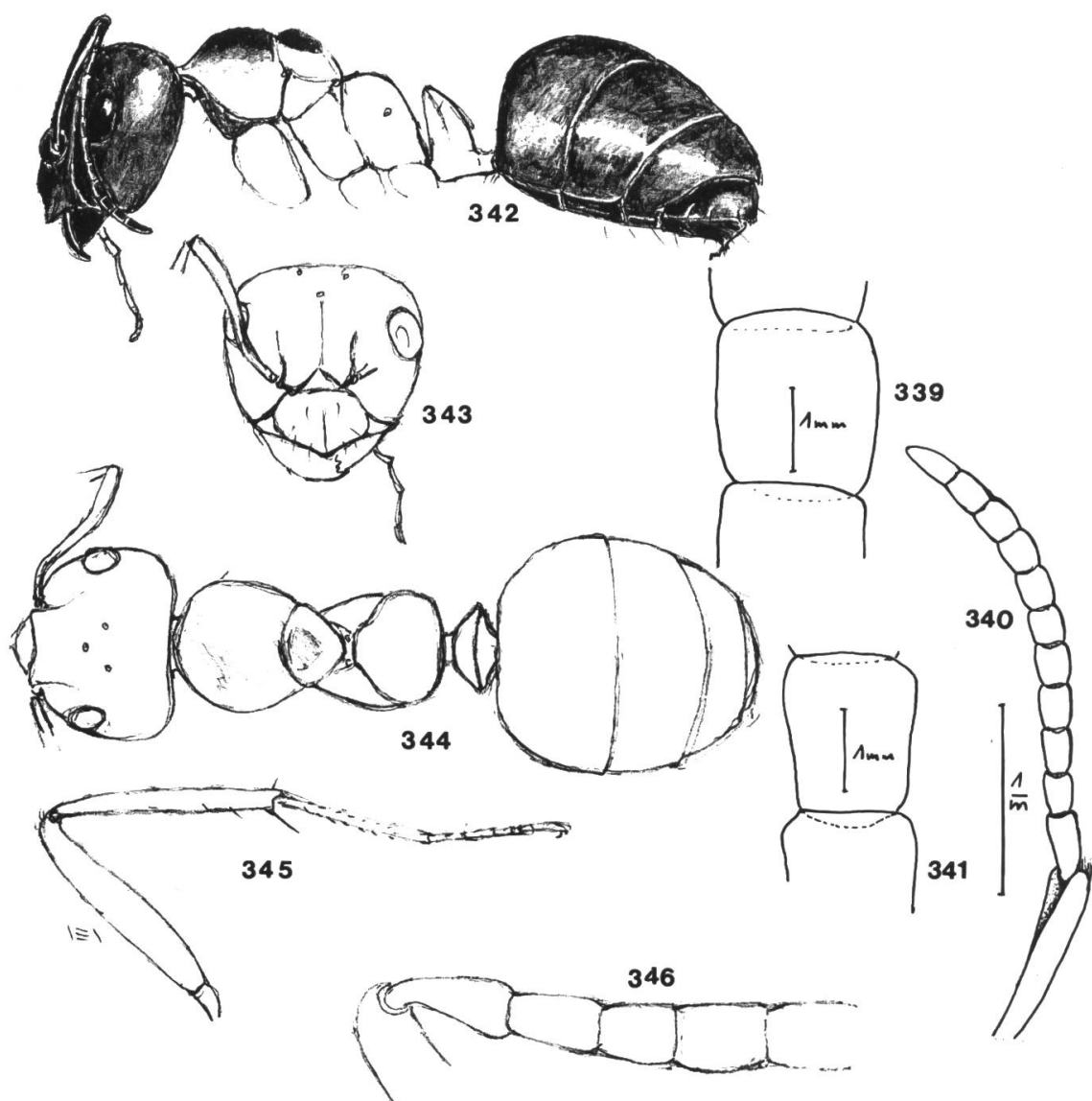
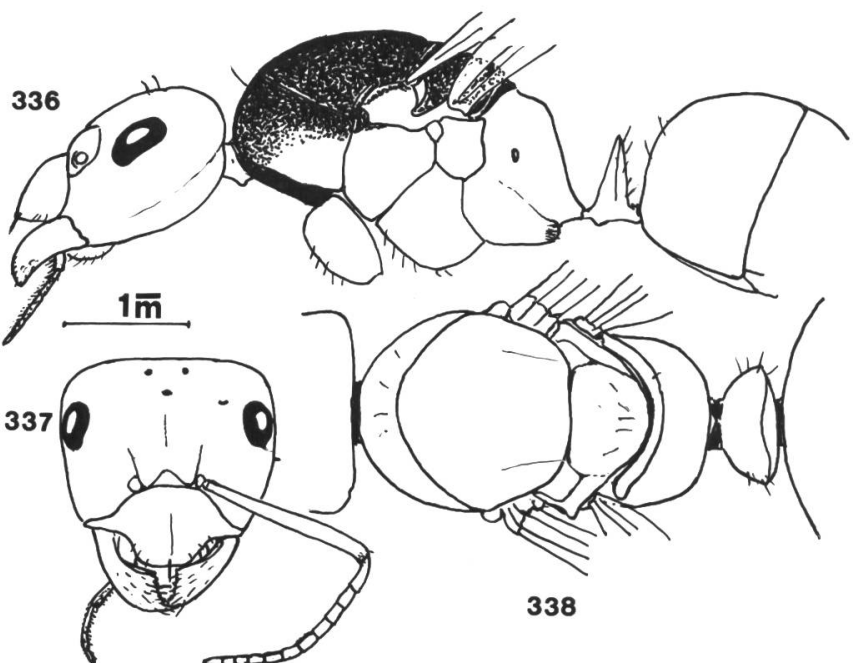


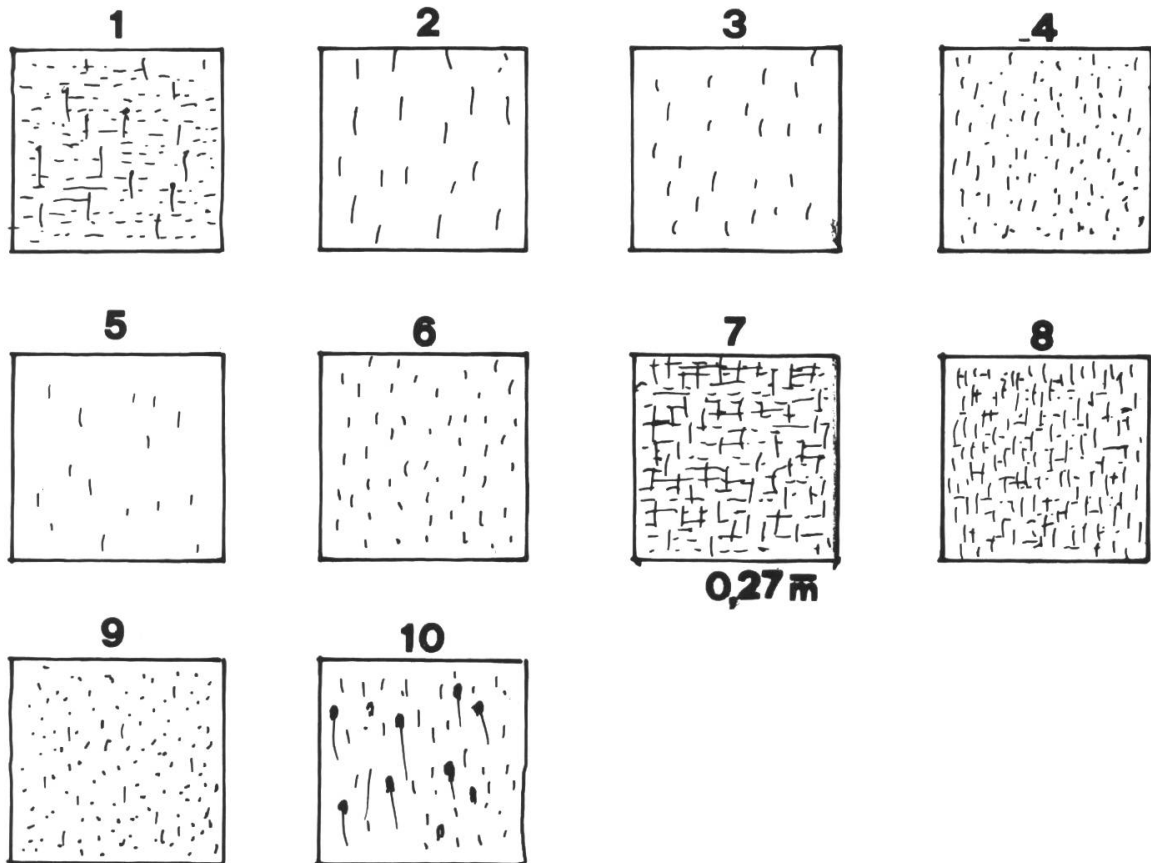






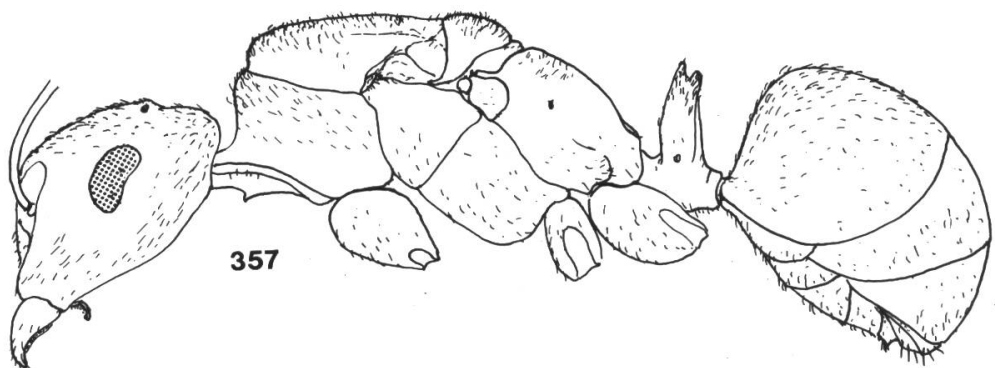




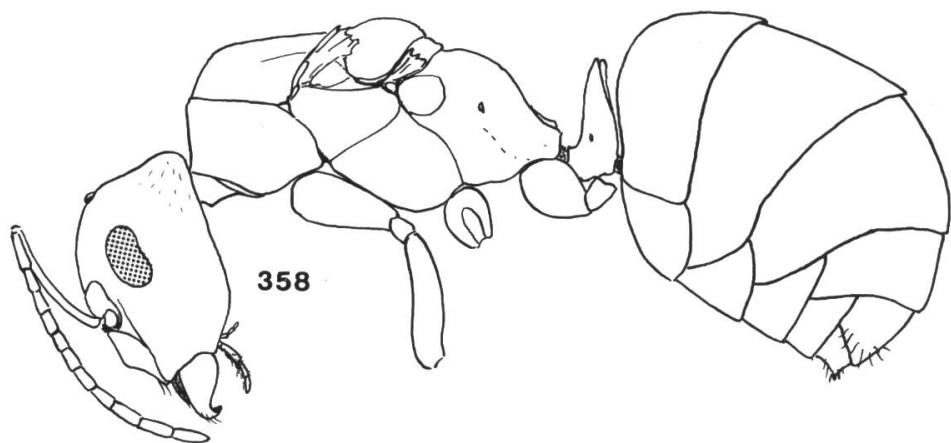


Behaarung und Skulptur auf 2. Tergit von Formica-Weibchen

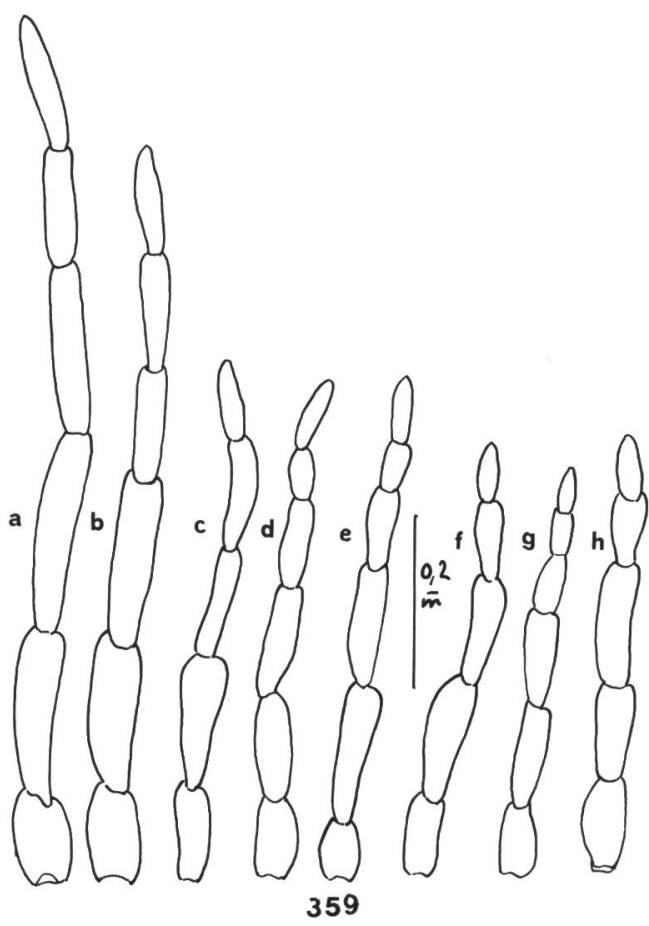
- | | |
|--|---|
| 1 <i>F. uralensis</i> RUSKY | halbmatt mit feiner Querchagrinierung |
| 2 <i>F. rufa</i> L. | glänzend und mit ganz feiner Chagrinierung |
| 3 <i>F. polyctena</i> FOERST. | glänzend und glatt. Pubeszenzhaare kurz |
| 4 <i>F. aquilonia</i> YARROW | Pubeszenzhaare kurz und dicht beieinander. Fein punktiert |
| 5 <i>F. lugubris</i> ZETT. | I glatt und glänzend ± kurze Pubeszenzhärchen |
| 6 <i>F. lugubris</i> ZETT. | II Pubeszenzhärchen dichter. Gaster glatt und glänzend |
| 7 <i>F. pratensis</i> RETZ. | matt. Lange Pubeszenzhaare. Chagriniert |
| 8 <i>F. nigricans</i> EM. (= <i>cordieri</i> BOND.) | matt. Lange und dicht stehende Pubeszenzhaare deutliche Querchagrinierung |
| 9 <i>F. pratensisoides</i> GOESSW. | matt. Dicht punktiert, wenig pubeszent |
| 10 <i>F. truncorum</i> F. | Zweierlei Haare: sehr lange, feine und abstehende Haare und kurze, anliegende Pubeszenzhärchen. Halbmatt. Querchagrinierung sehr fein, eingeritzte grosse Punkte. |



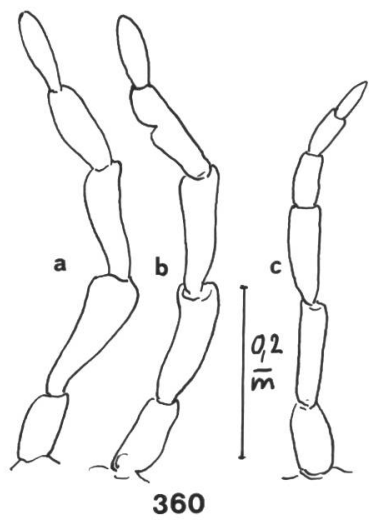
357



358



359



360

